



(12)发明专利申请

(10)申请公布号 CN 106687117 A

(43)申请公布日 2017.05.17

(21)申请号 201580036829.X

(74)专利代理机构 北京天昊联合知识产权代理有限公司 11112

(22)申请日 2015.05.01

代理人 王静 丁业平

(30)优先权数据

61/987,813 2014.05.02 US

61/990,459 2014.05.08 US

61/990,469 2014.05.08 US

(51)Int.Cl.

A61K 31/5517(2006.01)

(85)PCT国际申请进入国家阶段日

2017.01.03

(86)PCT国际申请的申请数据

PCT/US2015/028798 2015.05.01

(87)PCT国际申请的公布数据

W02015/168555 EN 2015.11.05

(71)申请人 翁科埃斯克斯有限公司

地址 瑞士卢塞恩

(72)发明人 凯·诺埃尔

权利要求书3页 说明书55页 附图17页

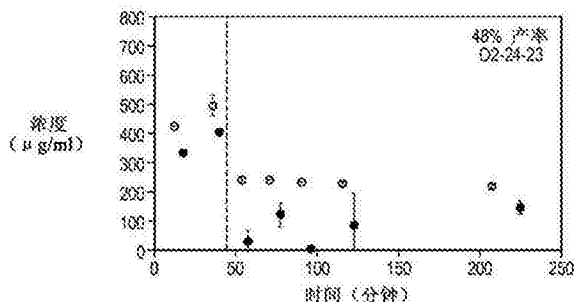
(54)发明名称

利用噻吩并三唑并二氮杂萘化合物治疗耐受性非霍奇金淋巴瘤、髓母细胞瘤和/或ALK+非小细胞肺癌的方法

(57)摘要

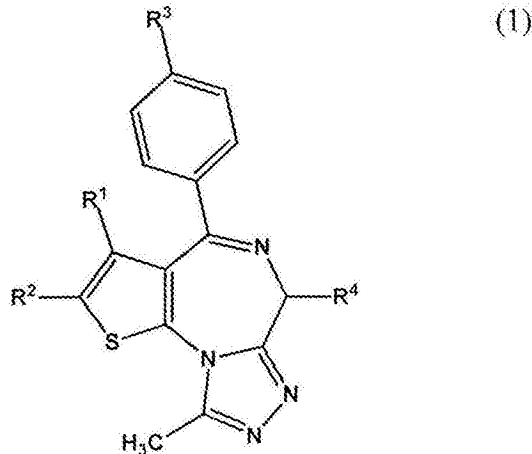
本发明提供了一种通过施用固体分散体治疗哺乳动物中的耐受性非霍奇金淋巴瘤、髓母细胞瘤和/或ALK+非小细胞肺癌的方法,所述固体分散体包含无定形的式(1)的噻吩并三唑并二氮杂萘化合物,其中R¹为具有1至4个碳的烷基;R²为氢原子,卤素原子,或任选地被卤素原子或羟基取代的具有1至4个碳的烷基;R³为卤素原子,任选地被卤素原子、具有1至4个碳的烷基、具有1至4个碳的烷氧基、或氰基取代的苯基,-NR⁵-(CH₂)_m-R⁶,其中R⁵为氢原子、或具有1至4个碳的烷基,m为0至4的整数,并且R⁶为任选地被卤素原子取代的苯基或吡啶基。

25% 式(1-1) EUBRAGIT L100-85 固体分散体



1. 一种治疗哺乳动物中的耐受性非霍奇金淋巴瘤、髓母细胞瘤、和/或ALK+非小细胞肺癌的方法,包括以下步骤:

向患者施用药学可接受的量的化合物,该化合物为下式(1)所示的噻吩并三唑并二氮杂萘化合物,或其药学可接受的盐、或其水合物或溶剂化物:



其中 R^1 为具有1至4个碳的烷基; R^2 为氢原子、卤素原子、或任选地被卤素原子或羟基取代的具有1至4个碳的烷基; R^3 为:卤素原子,任选地被卤素原子、具有1至4个碳的烷基、具有1至4个碳的烷氧基、或氰基取代的苯基, $-NR^5-(CH_2)_m-R^6$,其中 R^5 为氢原子、或具有1至4个碳的烷基, m 为0至4的整数,并且 R^6 为任选地被卤素原子取代的苯基或吡啶基,或 $-NR^7-CO-(CH_2)_n-R^8$,其中 R^7 为氢原子或具有1至4个碳的烷基, n 为0至2的整数,并且 R^8 为任选地被卤素原子取代的苯基或吡啶基;并且 R^4 为: $-(CH_2)_a-CO-NH-R^9$,其中 a 为1至4的整数,并且 R^9 为具有1至4个碳的烷基,具有1至4个碳的羟烷基,具有1至4个碳的烷氧基,或任选地被具有1至4个碳的烷基、具有1至4个碳的烷氧基、氨基或羟基取代的苯基或吡啶基,或 $-(CH_2)_b-COOR^{10}$,其中 b 为1至4的整数,并且 R^{10} 为具有1至4个碳的烷基。

2. 根据权利要求1所述的方法,其中所述由式(1)表示的噻吩并三唑并二氮杂萘化合物选自以下化合物构成的组:

(i) (S)-2-[4-(4-氯代苯基)-2,3,9-三甲基-6H-噻吩并[3,2-f][1,2,4]三唑并[4,3-a][1,4]二氮杂萘-6-基]-N-(4-羟苯基)乙酰胺或其二水合物;(ii) (S)-{4-(3'-氰基联苯-4-基)-2,3,9-三甲基-6H-噻吩并[3,2-f][1,2,4]三唑并[4,3-a][1,4]二氮杂萘-6-基}乙酸甲酯;(iii) (S)-{2,3,9-三甲基-4-(4-苯基氨基苯基)-6H-噻吩并[3,2-f][1,2,4]三唑并[4,3-a][1,4]二氮杂萘-6-基}乙酸甲酯;以及(iv) (S)-{2,3,9-三甲基-4-[4-(3-苯基丙酰基氨基)苯基]-6H-噻吩并[3,2-f][1,2,4]三唑并[4,3-a][1,4]二氮杂萘-6-基}乙酸甲酯。

3. 根据权利要求2所述的方法,其中所述由式(1)表示的噻吩并三唑并二氮杂萘化合物为(S)-2-(4-(4-氯代苯基)-2,3,9-三甲基-6H-噻吩并[3,2-f][1,2,4]三唑并[4,3-a][1,4]二氮杂萘-6-基)-N-(4-羟苯基)乙酰胺二水合物。

4. 根据权利要求2所述的方法,其中所述由式(1)表示的噻吩并三唑并二氮杂萘化合物为(S)-2-(4-(4-氯代苯基)-2,3,9-三甲基-6H-噻吩并[3,2-f][1,2,4]三唑并[4,3-a][1,

4] 二氮杂萘-6-基)-N-(4-羟苯基)乙酰胺。

5. 根据权利要求1至4中任一项所述的方法,其中所述噻吩并三唑并二氮杂萘化合物形成固体分散体。

6. 根据权利要求5所述的方法,其中所述固体分散体表现出约130°C至约140°C的单一的玻璃化转变温度(Tg)拐点。

7. 根据权利要求5所述的方法,其中所述固体分散体表现出约175°C至约185°C的单一的玻璃化转变温度(Tg)拐点。

8. 根据权利要求5所述的方法,其中所述固体分散体包含无定形的噻吩并三唑并二氮杂萘化合物,该噻吩并三唑并二氮杂萘化合物为(S)-2-(4-(4-氯代苯基)-2,3,9-三甲基-6H-噻吩并[3,2-f][1,2,4]三唑并[4,3-a][1,4]二氮杂萘-6-基)-N-(4-羟苯基)乙酰胺二水合物及其药学可接受的盐或其水合物;以及药学可接受的聚合物。

9. 根据权利要求8所述的方法,其中所述固体分散体展示出基本不存在与结晶的噻吩并三唑并二氮杂萘化合物有关的衍射线的X射线粉末衍射图案,所述噻吩并三唑并二氮杂萘化合物为(S)-2-[4-(4-氯代苯基)-2,3,9-三甲基-6H-噻吩并[3,2-f][1,2,4]三唑并[4,3-a][1,4]二氮杂萘-6-基)-N-(4-羟苯基)乙酰胺二水合物。

10. 根据权利要求9所述的方法,其中所述固体分散体展示出基本不存在与结晶的式(1)表示的噻吩并三唑并二氮杂萘化合物有关的衍射线的X射线粉末衍射图案。

11. 根据权利要求10所述的方法,其中所述固体分散体是通过喷雾干燥获得的。

12. 根据权利要求11所述的方法,其中所述固体分散体包含无定形的式(1)的噻吩并三唑并二氮杂萘化合物及其药学可接受的盐或其水合物;以及药学可接受的聚合物。

13. 根据权利要求12所述的固体分散体,其中所述药学可接受的聚合物是PVP。

14. 根据权利要求13所述的固体分散体,其中所述固体分散体中的噻吩并三唑并二氮杂萘化合物与PVP的重量比为1:3至1:1。

15. 根据权利要求12所述的方法,其中所述药学可接受的聚合物是醋酸羟丙基甲基纤维素琥珀酸酯(HPMCAS)。

16. 根据权利要求15所述的方法,其中所述固体分散体中的噻吩并三唑并二氮杂萘化合物与HPMCAS的重量比为1:3至1:1。

17. 根据权利要求1-16中任一项所述的方法,其中所述髓母细胞瘤是典型的髓母细胞瘤、促结缔组织增生性结节性髓母细胞瘤、大细胞髓母细胞瘤、具有成神经细胞分化或神经元分化的髓母细胞瘤、具有神经胶质分化的髓母细胞瘤、髓肌母细胞瘤或黑素样髓母细胞瘤。

18. 根据权利要求1-16中任一项所述的方法,其中所述髓母细胞瘤是Wnt髓母细胞瘤、Shh髓母细胞瘤、3型髓母细胞瘤或4型髓母细胞瘤。

19. 根据权利要求18所述的方法,其中所述Wnt髓母细胞瘤是Wnt α 髓母细胞瘤或Wnt β 髓母细胞瘤。

20. 根据权利要求18所述的方法,其中所述Shh髓母细胞瘤是Shh α 髓母细胞瘤、Shh β 髓母细胞瘤或Shh γ 髓母细胞瘤。

21. 根据权利要求1-16中任一项所述的方法,其中所述ALK+非小细胞肺癌的特征在于肿瘤细胞具有大于约10%的ALK基因活性。

22. 根据权利要求1-16中任一项所述的方法,其中所述ALK+非小细胞肺癌的特征在于肿瘤细胞具有大于约15%的ALK基因活性。

23. 根据权利要求21和22中任一项所述的方法,其中所述ALK+非小细胞肺癌包括具有与ALK基因融合的EML4基因的肿瘤细胞。

24. 根据权利要求21和22中任一项所述的方法,其中ALK+非小细胞肺癌包括具有与ALK基因融合的KIF5B基因、TFG基因或KLC1基因的肿瘤细胞。

25. 根据权利要求1-16中任一项所述的方法,其中所述耐受性非霍奇金淋巴瘤是B细胞非霍奇金淋巴瘤或T细胞非霍奇金淋巴瘤。

26. 根据权利要求25所述的方法,其中所述耐受性非霍奇金淋巴瘤选自由伯基特淋巴瘤、慢性淋巴细胞白血病/小淋巴细胞淋巴瘤、弥漫性大B细胞淋巴瘤、滤泡性淋巴瘤、免疫母细胞性大细胞淋巴瘤、前体B淋巴细胞淋巴瘤和套细胞淋巴瘤构成的组。

27. 根据权利要求25所述的方法,其中所述耐受性非霍奇金淋巴瘤选自由蕈样霉菌病、间变性大细胞淋巴瘤和前体T-淋巴细胞淋巴瘤构成的列组。

28. 根据权利要求25所述的方法,其中所述耐受性非霍奇金淋巴瘤是弥漫性大B细胞淋巴瘤或套细胞淋巴瘤。

29. 根据权利要求25-28中任一项所述的方法,还包括施用第二药剂,其中所述第二药剂选自由mTOR抑制剂、BTK抑制剂、HDAC抑制剂、抗CD20单克隆抗体、DNA甲基转移酶抑制剂、免疫调节剂或其组合所构成的组中。

利用噻吩并三唑并二氮杂萘化合物治疗耐受性非霍奇金淋巴瘤、髓母细胞瘤和/或ALK+非小细胞肺癌的方法

技术领域

[0001] 本公开描述了利用噻吩并三唑并二氮杂萘化合物治疗耐受性非霍奇金淋巴瘤、髓母细胞瘤和/或ALK+非小细胞肺癌的方法,所述化合物具有改善的溶解度和生物利用度,并且可以固体分散体的形式提供。

背景技术

[0002] 下文所述的式(1)的化合物已经显示出可抑制乙酰化的组蛋白H4与包含串联的溴结构域(BRD)的转录调节子家族(称为BET(溴结构域和额外末端)蛋白,包括BRD2、BRD3和BRD4)的结合。参见美国专利申请公开No.2010/0286127 A1,其全文以引用的方式并入本文。Denis,G.V.在文献“Bromodomain coactivators in cancer,obesity,type 2diabetes,and inflammation,”*Discov Med* 2010;10:489-499(该文献的全部内容以引用方式并入本文)中报道了如下内容:BET蛋白作为增殖和分化的主要的表观遗传调节子而出现,并且还与倾向于血脂异常或脂肪生成不当调节、心血管病和2型糖尿病的升高的炎症性质和风险、以及自体免疫疾病(例如类风湿性关节炎和系统性红斑狼疮)的易感性增加有关。因此,式(II)所示的化合物可以用于治疗多种癌症、心血管疾病、2型糖尿病和自体免疫失调(例如类风湿性关节炎和系统性红斑狼疮)。

发明内容

[0003] 在一些实施方案中,本公开提供了利用本文所述的组合物治疗耐受性非霍奇金淋巴瘤、髓母细胞瘤和/或ALK+非小细胞肺癌的方法。

[0004] 在一些实施方案中,本公开提供了治疗哺乳动物中的耐受性非霍奇金淋巴瘤、髓母细胞瘤和/或ALK+非小细胞肺癌的方法,该方法包括:向需要的患者施用药学可接受的量的组合物,该组合物包含根据本文第III、IV、V和VI部分所描述的任意组合物的固体分散体。

[0005] 在一些实施方案中,本公开提供了治疗哺乳动物中的耐受性非霍奇金淋巴瘤的方法,其中所述耐受性非霍奇金淋巴瘤可以是B细胞非霍奇金淋巴瘤或T细胞非霍奇金淋巴瘤。在一些实施方案中,所述B细胞非霍奇金淋巴瘤可以是伯基特淋巴瘤、慢性淋巴细胞白血病/小淋巴细胞淋巴瘤、弥漫性大B细胞淋巴瘤、滤泡性淋巴瘤、免疫母细胞性大细胞淋巴瘤、前体B淋巴细胞淋巴瘤和套细胞淋巴瘤。在一些实施方案中,所述T细胞耐受性非霍奇金淋巴瘤可选自由蕈样霉菌病、间变性大细胞淋巴瘤和前体T-淋巴细胞淋巴瘤所构成的列组中。在一些实施方案中,耐受性非霍奇金淋巴瘤可以是弥漫性大B细胞淋巴瘤或套细胞淋巴瘤。

[0006] 在一些实施方案中,髓母细胞瘤可以是典型的髓母细胞瘤、促结缔组织增生性结节性髓母细胞瘤、大细胞髓母细胞瘤、具有成神经细胞分化或神经元分化的髓母细胞瘤、具有神经胶质分化的髓母细胞瘤、髓肌母细胞瘤或黑素样髓母细胞瘤。在一些实施方案中,髓

母细胞瘤可以是Wnt髓母细胞瘤、Shh髓母细胞瘤、3型髓母细胞瘤或4型髓母细胞瘤。在一些实施方案中,Wnt髓母细胞瘤是Wnt α 髓母细胞瘤或Wnt β 髓母细胞瘤。在一些实施方案中,Shh髓母细胞瘤可以是Shh α 髓母细胞瘤、Shh β 髓母细胞瘤或Shh γ 髓母细胞瘤。

[0007] 在一些实施方案中,ALK+非小细胞肺癌的特征在于肿瘤细胞具有大于约15%的ALK阳性。在一些实施方案中,ALK+非小细胞肺癌的特征在于肿瘤细胞具有大于约10%ALK阳性。在一些实施方案中,ALK+非小细胞肺癌包括具有与ALK基因融合的EML4基因的肿瘤细胞。在其他实施方案中,ALK+非小细胞肺癌包括具有与ALK基因融合的KIF5B基因、TFG基因或KLCI基因的肿瘤细胞。

[0008] 在一些实施方案中,本公开提供了治疗哺乳动物中的耐受性非霍奇金淋巴瘤的方法,其包括向患者施用药学上可接受量的组合物的步骤,其中所述组合物包含:(1)如本文第III、IV或V部分所描述的任意噻吩并三唑并二氮杂 䓖 组合物;和(2)mTOR抑制剂、BTK抑制剂、HDAC抑制剂、抗CD20单克隆抗体、DNA甲基转移酶抑制剂和免疫调节剂,或它们的组合。噻吩并三唑并二氮杂 䓖 组合物和mTOR抑制剂(或BTK抑制剂、HDAC抑制剂、抗CD20单克隆抗体、DNA甲基转移酶抑制剂或免疫调节剂)可以同时施用或按顺序施用。在一些实施方案中,所述组合可产生协同效应。

[0009] 在一些实施方案中,本公开提供了治疗哺乳动物中的耐受性非霍奇金淋巴瘤的方法,其中BTK抑制剂可以选自由依鲁替尼(ibrutinib)、GDC-0834、CGI-560、CGI-1746、HM-71224、CC-292、ONO-4059、CNX-774、LFM-A13、土曲霉酸、QL47及它们的酯、衍生物、前药、盐和复合物所构成的组中。

[0010] 在一些实施方案中,本公开提供了治疗哺乳动物中的耐受性非霍奇金淋巴瘤的方法,其中mTOR抑制剂可以选自由BEZ235、依维莫司、纳巴霉素、AZD8055、PI-103、替西罗莫司(temisirolimus)、Ku-0063794、GDC-0349、托林2(torin 2)、INK 128、AZD2014、NVP-BGT226、PF-04691502、CH5132799、GDC-0980、托林1(torin 1)、WAY-600、WYE-125132、WYE-687、GSK2126458、PF-05212384、PP-121、OSI-027、帕罗米德529(palomid 529)、PP242、XL765、GSK 1059615、WYE-354、雷帕霉素及它们的酯、衍生物、前药、盐和复合物所构成的组中。

[0011] 在一些实施方案中,本公开提供了治疗哺乳动物中的耐受性非霍奇金淋巴瘤的方法,其中HDAC抑制剂可以选自由伏立诺他(vorinostat)、恩替司他(entinostat)、帕比司他(pabinoestat)、曲古抑菌素A、莫西司他(mocetinostat)、贝利司他、MC1568、LAQ824、ITF2357、盐酸图巴他汀A(tubastatin A)、CUDC-101、帕两诺他(pracinostat)、卓新诺他(droxinostat)、奎斯诺他(quisinostat)、PCI-24781、20罗米地新、AR-42、丙戊酸钠盐、PCI-34051、泰克地那林(tacedinaline)、M344、PI3K/HDAC抑制剂I、沙美特、图巴他汀A、苯基丁酸钠、瑞米诺他(resminostat)及它们的酯、衍生物、前药、盐和复合物所构成的组中。

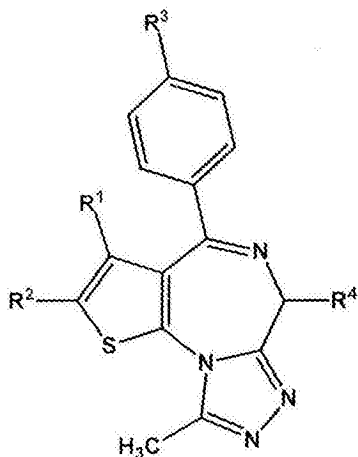
[0012] 在一些实施方案中,本公开提供了治疗哺乳动物中的耐受性非霍奇金淋巴瘤的方法,其中DNA甲基转移酶抑制剂是地西他滨(decitabine)。在一些实施方案中,本公开提供了治疗哺乳动物中的耐受性非霍奇金淋巴瘤的方法,其中免疫调节剂是来那度胺(lenalidomide)。

[0013] 在一些实施方案中,本公开提供了治疗哺乳动物中的耐受性非霍奇金淋巴瘤的方法,其中组合组合物形成为固体分散体。

[0014] 在治疗哺乳动物的非霍奇金淋巴瘤的方法的一些实施方案中,非霍奇金淋巴瘤是耐受性非霍奇金淋巴瘤。

[0015] 在一些实施方案中,本公开提供了利用式(1)的噻吩并三唑并二氮杂萘化合物(包括其任意的盐、异构体、对映异构体、消旋物、水合物、溶剂化物、代谢物和多晶型)治疗耐受性非霍奇金淋巴瘤、髓母细胞瘤和/或ALK+非小细胞肺癌的方法,

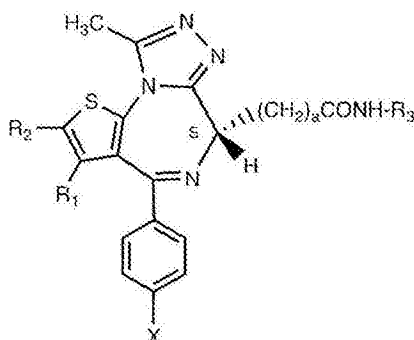
[0016]



[0017] 其中 R^1 为具有1至4个碳的烷基; R^2 为氢原子、卤素原子、或任选地被卤素原子或羟基取代的具有1至4个碳的烷基; R^3 为:卤素原子,任选地被卤素原子、具有1至4个碳的烷基、具有1至4个碳的烷氧基、或氰基取代的苯基, $-NR^5-(CH_2)_m-R^6$,其中 R^5 为氢原子、或具有1至4个碳的烷基, m 为0至4的整数,并且 R^6 为任选地被卤素原子取代的苯基或吡啶基,或 $-NR^7-CO-(CH_2)_n-R^8$,其中 R^7 为氢原子或具有1至4个碳的烷基, n 为0至2的整数,并且 R^8 为任选地被卤素原子取代的苯基或吡啶基;并且 R^4 为: $-(CH_2)_a-CO-NH-R^9$,其中 a 为1至4的整数,并且 R^9 为具有1至4个碳的烷基,具有1至4个碳的羟烷基,具有1至4个碳的烷氧基,或任选地被具有1至4个碳的烷基、具有1至4个碳的烷氧基、氨基或羟基取代的苯基或吡啶基,或 $-(CH_2)_b-COOR^{10}$,其中 b 为1至4的整数,并且 R^{10} 为具有1至4个碳的烷基。

[0018] 在一些实施方案中,式(I)选自式(IA)、其药学可接受的盐或其溶剂化物以及药学可接受的聚合物:

[0019]



[0020] 其中, X 为卤素, R^1 为 C_1 - C_4 烷基, R^2 为 C_1 - C_4 烷基, a 为1至4的整数, R^3 为 C_1 - C_4 烷基、 C_1 - C_4 羟烷基、 C_1 - C_4 烷氧基、任选地具有取代基的苯基、或任选地具有取代基的杂芳基。在一个这样的实施方案中,将噻吩并三唑并二氮杂萘化合物配制成含有无定形噻吩并三唑并二氮杂萘化合物的固体分散体。

[0021] 在一个实施方案中,式(IA)选自由以下化合物构成的组:(i) (S)-2-[4-(4-氯代苯

基)-2,3,9-三甲基-6H-噻吩并[3,2-f][1,2,4]三唑并-[4,3-a][1,4]二氮杂萘-6-基)-N-(4-羟苯基)乙酰胺或其二水合物; (ii) (S)-{4-(3'-氰基联苯-4-基)-2,3,9-三甲基-6H-噻吩并[3,2-f][1,2,4]三唑并[4,3-a][1,4]二氮杂萘-6-基}乙酸甲酯; (iii) (S)-{2,3,9-三甲基-4-(4-苯基氨基苯基)-6H-噻吩并[3,2-f][1,2,4]三唑并[4,3-a][1,4]二氮杂萘-6-基}乙酸甲酯; 以及 (iv) (S)-{2,3,9-三甲基-4-[4-(3-苯基丙酰基氨基)苯基]-6H-噻吩并[3,2-f][1,2,4]三唑并[4,3-a][1,4]二氮杂萘-6-基}乙酸甲酯。在一个这样的实施方案中,式(1A)为(S)-2-[4-(4-氯代苯基)-2,3,9-三甲基-6H-噻吩并[3,2-f][1,2,4]三唑并[4,3-a][1,4]二氮杂萘-6-基]-N-(4-羟苯基)乙酰胺。

[0022] 在一些实施方案中,所述药学可接受的聚合物为醋酸羟丙基甲基纤维素琥珀酸酯。在一些这样的实施方案中,固体分散体中噻吩并三唑并二氮杂萘化合物与醋酸羟丙基甲基纤维素琥珀酸酯(HPMCAS)的重量比为1:3至1:1。在一些这样的实施方案中,所述固体分散体表现出约130°C至约140°C的单一的玻璃化转变温度(T_g)拐点。在一些这样的实施方案中,在40°C下暴露于75%的相对湿度至少一个月之后,噻吩并三唑并二氮杂萘化合物的浓度为暴露前无定形噻吩并三唑并二氮杂萘化合物浓度的至少90%。

[0023] 在其他实施方案中,药学可接受的聚合物为PVP。在一些这样的实施方案中,固体分散体中噻吩并三唑并二氮杂萘化合物与PVP的重量比为1:3至1:1。在一些这样的实施方案中,所述固体分散体表现出约175°C至约185°C的单一的玻璃化转变温度(T_g)拐点。在一些这样的实施方案中,在40°C下暴露于75%的相对湿度至少一个月之后,噻吩并三唑并二氮杂萘化合物的浓度为暴露前无定形噻吩并三唑并二氮杂萘化合物浓度的至少90%。

[0024] 在另一个实施方案中,所述固体分散体是由喷雾干燥法得到的。

[0025] 在另一个实施方案中,在固体分散体的X射线粉末衍射图案中,基本上不存在与结晶的式(1A)的噻吩并三唑并二氮杂萘化合物有关的衍射线。

[0026] 在又一个实施方案中,当通过静脉施用,由所述固体分散体获得的曲线下面积(AUC)值为由对照组合物获得的相应AUC值的至少0.5倍,其中所述对照组合物包含等价的结晶的式(1A)的噻吩并三唑并二氮杂萘化合物。

[0027] 在另一个实施方案中,与不包含聚合物时结晶的式(1A)的噻吩并三唑并二氮杂萘化合物在pH值为5.0至7.0之间的对照体外测试介质中的浓度相比,所述固体分散体在pH值为5.0至7.0之间的水性体外测试介质中具有无定形的噻吩并三唑并二氮杂萘化合物的浓度高至少5倍。

[0028] 在又一个实施方案中,与不包含聚合物时结晶的式(1A)所示的噻吩并三唑并二氮杂萘化合物在pH值为5.0至7.0之间的体外测试介质中的浓度相比,所述固体分散体在pH值为1.0至2.0之间的水性体外测试介质中具有无定形的噻吩并三唑并二氮杂萘化合物的浓度高至少50%。

[0029] 在一个实施方案中,无定形的噻吩并三唑并二氮杂萘化合物的浓度比从下列固体分散体中得到的式(1A)的噻吩并三唑并二氮杂萘化合物的浓度高至少50%,其中所述固体

分散体由式(1A)的噻吩并三唑并二氮杂萘化合物和以下药学可接受的聚合物形成,该药学可接受的聚合物选自由邻苯二甲酸羟丙甲纤维素和丙烯酸乙酯-甲基丙烯酸甲酯-甲基丙烯酸三甲基铵乙基甲基丙烯酸酯氯化物共聚物所构成的组中,其中各固体分散体置于pH为1.0至2.0的水性体外测试介质中。

[0030] 在一个实施方案中,无定形的式(1A)的噻吩并三唑并二氮杂萘化合物的浓度比从下列固体分散体中得到的式(1A)的噻吩并三唑并二氮杂萘化合物的浓度高至少50%,其中所述固体分散体由式(1A)的噻吩并三唑并二氮杂萘化合物和以下药学可接受的聚合物形成,该药学可接受的聚合物选自由邻苯二甲酸羟丙甲纤维素和丙烯酸乙酯-甲基丙烯酸甲酯-甲基丙烯酸三甲基铵乙基甲基丙烯酸酯氯化物共聚物所构成的组中,其中各固体分散体置于pH为1.0至2.0的水性体外测试介质中。

[0031] 本公开进一步提供了用于治疗耐受性非霍奇金淋巴瘤、髓母细胞瘤和/或ALK+非小细胞肺癌的药物制剂,其包含如本文所述的喷雾干燥的固体分散体和一种或多种药学可接受的赋形剂,该药学可接受的赋形剂选自由以下物质所构成的组:乳糖一水合物;微晶纤维素;交联羧甲基纤维素钠;胶态二氧化硅;硬脂酸镁;及其组合。在一些实施方案中,药物制剂具有0.55g/cc至0.60g/cc的堆积密度。在一些实施方案中,药物制剂可以是药物胶囊。在一些实施方案中,药物制剂可以是药物片剂。

[0032] 本公开还提供了用于治疗耐受性非霍奇金淋巴瘤、髓母细胞瘤和/或ALK+非小细胞肺癌的药物制剂,其包含10-15重量%的本文所述的喷雾干燥的固体分散体和醋酸羟丙基甲基纤维素琥珀酸酯(HPMCAS),其中噻吩并三唑并二氮杂萘化合物在分散体中是无定形的并且噻吩并三唑并二氮杂萘化合物与醋酸羟丙基甲基纤维素琥珀酸酯(HPMCAS)的重量比为1:3至1:1;45-50重量%的乳糖一水合物;35-40重量%的微晶纤维素;4-6重量%的交联羧甲基纤维素钠;0.8-1.5重量%的胶态二氧化硅;和0.8-1.5重量%的硬脂酸镁。

[0033] 本公开还提供了治疗耐受性非霍奇金淋巴瘤、髓母细胞瘤和/或ALK+非小细胞肺癌的方法,包括:施用根据式(1)的化合物和烷化剂。在一些实施方案中,依次施用根据式I化合物和烷化剂,而在其他实施方案中,同时施用根据式(1)化合物和烷化剂。在一些实施方案中,烷化剂包含替莫唑胺。

附图说明

[0034] 参照示例性实施方案的附图来阅读时,将会更好的理解前面的发明概述以及下面的对本发明的包含噻吩并三唑并二氮杂萘制剂的药物组合物和方案的实施方案的详述。但是,应该理解的是本发明不限于所示的精确设置和手段。

[0035] 在附图中:

[0036] 图1A示出了包含固体分散体的比较制剂的溶解情况,其中所述的固体分散体包含25%的化合物(1-1)和Eudragit L100-55;

[0037] 图1B示出了包含固体分散体的比较制剂的溶解情况,其中所述的固体分散体包含50%的化合物(1-1)和EudragitL100-55;

[0038] 图1C示出了包含固体分散体的示例性制剂的溶解情况,其中所述的固体分散体包含25%的化合物(1-1)和聚乙烯吡咯烷酮(PVP);

[0039] 图1D示出了包含固体分散体的示例性制剂的溶解情况,其中所述的固体分散体包含50%的化合物(1-1)和PVP;

[0040] 图1E示出了包含固体分散体的示例性制剂的溶解情况,其中所述的固体分散体包含25%的化合物(1-1)和PVP-乙酸乙烯酯(PVP-VA);

[0041] 图1F示出了包含固体分散体的示例性制剂的溶解情况,其中所述的固体分散体包含50%的化合物(1-1)和和PVP-VA;

[0042] 图1G示出了包含固体分散体的示例性制剂的溶解情况,其中所述的固体分散体包含25%的化合物(1-1)和醋酸羟丙基甲基纤维素琥珀酸酯(HPMCAS-M);

[0043] 图1H示出了包含固体分散体的示例性制剂的溶解情况,其中所述的固体分散体包含50%的化合物(1-1)和HPMCAS-M;

[0044] 图1I示出了包含固体分散体的示例性制剂的溶解情况,其中所述的固体分散体包含25%的化合物(1-1)和羟丙基甲基纤维素邻苯二甲酸酯(HPMCP-HP55);

[0045] 图1J示出了包含固体分散体的示例性制剂的溶解情况,其中所述的固体分散体包含50%的化合物(1-1)和HMCP-HP55;

[0046] 图2A示出了示例性制剂的体内筛选结果,该示例性制剂包含25%化合物(1-1)和PVP的固体分散体;

[0047] 图2B示出了示例性制剂的体内筛选结果,该示例性制剂包含25%化合物(1-1)和HPMCAS-M的固体分散体;

[0048] 图2C示出了示例性制剂的体内筛选结果,该示例性制剂包含50%化合物(1-1)和HPMCAS-M的固体分散体;

[0049] 图3示出了化合物(1-1)的固体分散体的X射线粉末衍射图谱。

[0050] 图4A示出了在环境条件下平衡的25%化合物(1-1)和PVP的固体分散体的修正的差示扫描量热轨迹;

[0051] 图4B示出了在环境条件下平衡的25%化合物(1-1)和HPMCAS-M的固体分散体的修正的差示扫描量热轨迹;

[0052] 图4C示出了在环境条件下平衡的50%化合物(1-1)和HPMCAS-M的固体分散体的修正的差示扫描量热轨迹;

[0053] 图5示出了25%化合物(1-1)和PVP或HPMCAS-M的固体分散体、以及50%化合物(1-1)和HPMCAS-MG的固体分散体的玻璃化转变温度(T_g)对相对湿度(RH)的图;

[0054] 图6示出了在75%相对湿度下平衡的25%化合物(1-1)和PVP的固体分散体的修正的差示扫描量热轨迹;

[0055] 图7示出了1mg/kg静脉定量给药后的化合物(1-1)(实心矩形)、3mg/kg口服定量给药的25%化合物(1-1):PVP(空心圆圈)、3mg/kg口服定量给药的25%化合物(1-1):HPMCAS-MG(空心三角形)和3mg/kg口服定量给药的50%化合物(1-1):HPMCAS-MG(空心倒三角)的血浆浓度对时间的曲线。插图描绘了在半对数标度上绘制的相同的数据;

[0056] 图8示出了化合物(1-1)作为25%化合物(1-1):PVP(空心圆圈)、25%化合物(1-1):HPMCAS-MG(空心三角形)和50%化合物(1-1):HPMCAS-MG(空心倒三角)在3mg/kg口服定量给药后的血浆浓度对时间的曲线。插图描绘了在半对数标度上绘制的相同的数据;

[0057] 图9示出了在稳定性测试时间为0时,化合物(1-1)在HPMCAS-MG中的固体分散体的

X射线粉末衍射图谱；

[0058] 图10示出了在40℃和75%相对湿度的环境下暴露1个月后，化合物(1-1)在HPMCAS-MG中的固体分散体的X射线粉末衍射图谱；

[0059] 图11示出了在40℃和75%相对湿度的环境下暴露2个月后，化合物(1-1)在HPMCAS-MG中的固体分散体的X射线粉末衍射图谱；以及

[0060] 图12示出于在40℃和75%相对湿度的环境下暴露3个月后，化合物(1-1)在HPMCAS-MG中的固体分散体的X射线粉末衍射图谱。

[0061] 发明详述

[0062] 现在，下文将参照附图和实施例来更全面地描述本发明的主题，所述附图和实施例示出了代表性的实施方案。但是，本发明的主题可以以不同的形式体现，并且不应该解释成局限于本发明列出的实施方案。提供这些实施方案旨在描述并使本领域的技术人员能够实施。除非另有说明，否则本发明所用的所有技术和科学术语都具有所述主题所属技术领域的普通技术人员通常所理解的相同的含义。本发明中所提及的所有公开、专利申请、专利和其他参考文献均以引用的方式全文并入本文中。

[0063] I. 定义

[0064] 本文所用的术语“烷基”是指饱和的直链或支链烃。

[0065] 术语“取代的烷基”是指具有一个或多个取代基的烷基部分，其中所述的取代基替代了烃主链上的氢或者一个或多个碳。

[0066] 无论术语“烯基”是单独使用还是作为取代基的一部分(例如“C₁₋₄烯基(芳基)”)使用，都是指具有至少一个碳-碳双键部分的部分不饱和支链或直链一价烃基团，其中所述的双键是通过由母体烷基分子的两个相邻碳原子的每个碳原子上除去一个氢原子而得到的，并且所述基团是通过由一个碳原子上除去一个氢原子而得到的。原子可以在双键周围以顺式(Z)或反式(E)构象来排布。典型的烯基基团包括但不限于乙烯基、丙烯基、烯丙基(2-丙烯基)、丁烯基等。例子包括C₂₋₈烯基或C₂₋₄烯基。


[0067] 术语“C_(i-k)”(其中j和k为整数，表示碳原子的指定数量)是指烷基以包含j至k个碳原子(包含端值)的前置代号的脚注来显示的烷基、烯基、炔基、烷氧基或环烷基基团，或者指基团中的烷基部分。例如C₍₁₋₄₎表示包含1、2、3或4个碳原子的基团。

[0068] 如本文所用，术语“卤代”或“卤素”是指F、Cl、Br或I。

[0069] 术语“药学可接受的盐”是本领域公认的，并且是指化合物的相对无毒性的无机酸和有机酸加成盐，或者有机碱或无机碱加成盐，包括(例如)在本发明的组合物中所包含的那些。

[0070] 如本文所用，术语“固体分散体”是指一组固体产物，其由至少两种不同的组分组成，通常为亲水性载体和疏水性药品(活性成分)。

[0071] 术语“手性的”是本领域公认的，并且是指具有镜像对应部分的非重叠性性质的分子，而术语“非手性”是指可重叠在它们镜像对应部分上的分子。“前手性分子”是指在特定的过程中具有转化成手性分子的潜力的分子。

[0072] 符号“”用于表示键，其可以是单键、双键或三键。

[0073] 术语“对映异构体”和用于描述对映异构体的结构式意指包含“纯的”对映异构体，其不包含光学异构体以及对映异构体及其光学异构体的混合物，其中对映异构体以对映异

构体过量而存在,例如至少10%、25%、50%、75%、90%、95%、98%或99%对映异构体过量。

[0074] 当在本文中使用时,术语“立体异构体”时,由所有的几何异构体、对映异构体或非对映异构体组成。本发明涵盖了这些化合物和它们的混合物的多种立体异构体。此外,所公开的化合物的构象异构体和旋转异构体也被包括在内。

[0075] 如本文所用,术语“立体选择合成”是指这样的化学或酶反应,其中单一的反应物在建立新的立构中心的过程中或者在转化现有的立构中心的过程中形成了立体异构体的不均匀的混合物,并且这些反应是本领域公知的。立体选择合成涵盖了对映选择性和非对映选择性的转化。例如参见Carreira,E.M.和Kvaerno,L.,Classics in Stereoselective Synthesis,Wiley-VCH:Weinheim,2009。

[0076] 术语“喷雾干燥”是指其中涉及将供料悬液或溶液雾化成小滴并在处理室(其中具有用于蒸发的强驱动力,例如热干气、部分真空或它们的组合)中快速除去混合物中的溶剂的工艺。

[0077] 如本文所用,术语“治疗有效量”是指这样的任何量,与未接受此量的噻吩并三唑并二氮杂萘或者任何其他药物活性剂的相应患者相比,该量的本发明的噻吩并三唑并二氮杂萘或者任何其他药物活性剂改善性地治疗、治愈、预防或减轻疾病、病症或副作用,或者降低疾病或病症的进展的速度。

[0078] 术语“约”是指 $\pm 10\%$ 。

[0079] 在本申请及随附的权利要求书的全文中,除非上下文中必须另外说明,否则词语“包括”或其变体(例如“包含”或“包含有”)都应该解释为包括所述的整数或步骤、或者一组整数或步骤,并且但不排除任何其他的整数或步骤、或一组整数或步骤。

[0080] 目前已经发现,下文所述的式(1)的噻吩并三唑并二氮杂萘化合物可以与药学可接受的聚合物一同配制为固体分散体,从而提供可以使药物组分由胃肠道高度地吸收至血液循环中的口服制剂。在一个实施方案中,药学可接受的聚合物为醋酸羟丙甲纤维素琥珀酸酯(也称为醋酸羟丙基甲基纤维素琥珀酸酯或HPMCAS)。在一个实施方案中,药学可接受的聚合物为聚乙烯吡咯烷酮(PVP)。

[0081] 在一些实施方案中,醋酸羟丙基甲基纤维素琥珀酸酯(HPMCAS)可包括:具有9%乙酰基/11%琥珀酰基的M级(例如,平均粒径为 $5\mu\text{m}$ 的HPMCAS(即,HPMCAS-MF,细粉级)或平均粒径为1mm的HPMCAS(即,HPMCAS-MG,颗粒级));具有12%乙酰基/6%琥珀酰基的H级(例如,平均粒径为 $5\mu\text{m}$ 的HPMCAS(即,HPMCAS-HF,细粉级)或平均粒径为1mm的HPMCAS(即,HPMCAS-HG,颗粒级));以及具有8%乙酰基/15%琥珀酰基的L级(例如,平均粒径为 $5\mu\text{m}$ 的HPMCAS(即,HPMCAS-LF,细粉级)或平均粒径为1mm的HPMCAS(即,HPMCAS-LG,颗粒级))。

[0082] 在一些实施方案中,聚乙烯吡咯烷酮的分子量可为约2,500(Kollidon®12 PF,重均分子量在2,000至3,000之间)、约9,000(Kollidon®17 PF,重均分子量在7,000至11,000之间)、约25,000(Kollidon®25,重均分子量在28,000至34,000之间)、约50,000(Kollidon®30,重均分子量在44,000至54,000之间)和约1,250,000(Kollidon®90或Kollidon®90F,重均分子量在1,000,000至1,500,000之间)。

[0083] II. 治疗方法

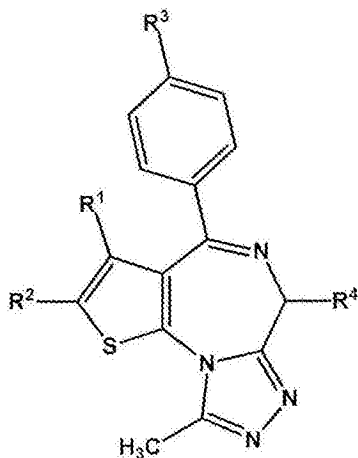
[0084] 在一些实施方案中,本公开提供了利用本文所述的组合物治疗耐受性非霍奇金淋巴瘤、髓母细胞瘤和/或ALK+非小细胞肺癌的方法。

[0085] 在一些实施方案中,本公开提供了治疗哺乳动物中的耐受性非霍奇金淋巴瘤、髓母细胞瘤和/或ALK+非小细胞肺癌的方法,该方法包括:向需要的患者施用药学可接受的量的组合物,该组合物包含根据本文第III、IV、V和VI部分所描述的任意组合物的固体分散体。

[0086] 在一些实施方案中,本公开提供了治疗哺乳动物中的耐受性非霍奇金淋巴瘤、髓母细胞瘤和/或ALK+非小细胞肺癌的方法,该方法包括:向需要的患者施用药学可接受的量的组合物,该组合物包含根据本文第III、IV、V和VI部分所描述的任意组合物的药物制剂。

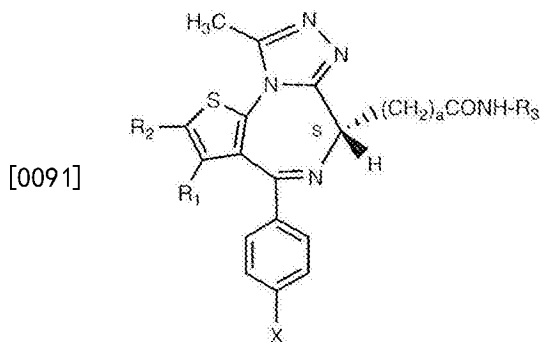
[0087] 在一些实施方案中,利用式(1)的噻吩并三唑并二氮杂萘化合物治疗耐受性非霍奇金淋巴瘤、髓母细胞瘤和/或ALK+非小细胞肺癌的方法,

[0088]



[0089] 其中 R^1 为具有1至4个碳的烷基; R^2 为氢原子、卤素原子、或任选地被卤素原子或羟基取代的具有1至4个碳的烷基; R^3 为:卤素原子,任选地被卤素原子、具有1至4个碳的烷基、具有1至4个碳的烷氧基、或氰基取代的苯基, $-NR^5-(CH_2)_m-R^6$,其中 R^5 为氢原子、或具有1至4个碳的烷基, m 为0至4的整数,并且 R^6 为任选地被卤素原子取代的苯基或吡啶基,或 $-NR^7-CO-(CH_2)_n-R^8$,其中 R^7 为氢原子或具有1至4个碳的烷基, n 为0至2的整数,并且 R^8 为任选地被卤素原子取代的苯基或吡啶基;并且 R^4 为: $-(CH_2)_a-CO-NH-R^9$,其中 a 为1至4的整数,并且 R^9 为具有1至4个碳的烷基,具有1至4个碳的羟烷基,具有1至4个碳的烷氧基,或任选地被具有1至4个碳的烷基、具有1至4个碳的烷氧基、氨基或羟基取代的苯基或吡啶基,或 $-(CH_2)_b-COOR^{10}$,其中 b 为1至4的整数,并且 R^{10} 为具有1至4个碳的烷基。

[0090] 在一些实施方案中,式(1)选自式(1A),其药学可接受的盐或水合物;以及药学可接受的聚合物:



[0092] 其中, X为卤素, R¹为C₁-C₄烷基, R²为C₁-C₄烷基, a为1至4的整数, R³为C₁-C₄烷基、C₁-C₄羟烷基、C₁-C₄烷氧基、任选地具有取代基的苯基、或任选地具有取代基的杂芳基。在一个这样的实施方案中,将噻吩并三唑并二氮杂萘化合物配制成含有无定形噻吩并三唑并二氮杂萘化合物的固体分散体。

[0093] 在一些实施方案中,本公开提供了治疗哺乳动物中的髓母细胞瘤的方法,该方法包括:向需要的患者施用药学可接受的量的组合物,该组合物包含根据本文第III、IV、V和VI部分所描述的任意组合物的药物制剂。

[0094] 髓母细胞瘤(也称为原发性神经外胚层肿瘤(PNET))可以是起源于脑的小脑(或后颅窝)的任何肿瘤。

[0095] 髓母细胞瘤包括但不限于典型的髓母细胞瘤、促结缔组织增生性结节性髓母细胞瘤、大细胞髓母细胞瘤,具有成神经细胞分化或神经元分化的髓母细胞瘤、具有神经胶质分化的髓母细胞瘤、髓肌母细胞瘤和黑素样髓母细胞瘤。典型的髓母细胞瘤组织的特征在于密集填充,具有大的黑核的小圆形细胞。促结缔组织增生性结节性髓母细胞瘤的特征在于密集堆积的肿瘤细胞的岛与松散的较少的细胞区混合。大细胞髓母细胞瘤(也称为间变性髓母细胞瘤)可以通大的圆形肿瘤细胞来表征。

[0096] 髓母细胞瘤包括但不限于Wnt、Shh、3型和4型髓母细胞瘤。Wnt是指一种髓母细胞瘤的亚型,不受特定操作理论的限制,其可以在发病机制中涉及Wnt信号传导途径。Wnt包括但不限于Wnt α 和Wnt β 髓母细胞瘤。Shh(也称为Sonic Hedgehog)是指一种髓母细胞瘤的亚型,不受特定操作理论的限制,其可以在发病机理中涉及Shh信号传导途径。Shh包括但不限于Shh α 、Shh β 和Shh γ 髓母细胞瘤。

[0097] 在一些实施方案中,本公开提供了治疗哺乳动物中的ALK+非小细胞肺癌的方法,该方法包括:向需要的患者施用药学可接受的量的组合物,该组合物包含根据本文第III、IV、V和VI部分所描述的任意组合物的药物制剂。

[0098] ALK+非小细胞肺癌是指其中ALK基因有活性的任何非小细胞肺癌。如果ALK+非小细胞肺癌的特征在于当使用例如荧光原位杂交(FISH)测定时,肿瘤细胞具有大于约15% ALK阳性,则认为ALK基因是有活性的。然而,在一些实施方案中,具有大于约10% ALK阳性的肿瘤细胞可以被理解为ALK+。

[0099] 不受特定理论的限制,当ALK基因与另一邻近基因融合时,其可被激活以诱发癌症。在一些实施方案中,ALK+非小细胞肺癌包括EML4-ALK重排,不受特定理论的限制,这起源于EML4基因的5'端与位于染色体2p33的ALK基因的3'端之间的融合。在其他实施方案中,ALK+非小细胞肺癌的特征在于ALK基因与KIF5B、TFG或KLC1基因的融合。

[0100] 在一些实施方案中,本公开提供了治疗哺乳动物中的耐受性非霍奇金淋巴瘤的方法,该方法包括:向需要的患者施用药学可接受的量的组合物,该组合物包含根据本文第III、IV、V和VI部分所描述的任意组合物的药物制剂。

[0101] 在所述方法的一些实施方案中,非霍奇金淋巴瘤对除由式(1)表示的噻吩并三唑并二氮杂 ䷀ 化合物之外的一种或多种抗癌药物的治疗耐受。这种非霍奇金淋巴瘤在本文中也称为“耐受性非霍奇金淋巴瘤”。

[0102] 在治疗哺乳动物中的耐受性非霍奇金淋巴瘤的方法的一些实施方案中,哺乳动物中的耐受性非霍奇金淋巴瘤是B细胞非霍奇金淋巴瘤。B细胞非霍奇金淋巴瘤包括但不限于伯基特淋巴瘤、慢性淋巴细胞白血病/小淋巴细胞淋巴瘤(CLL/SLL)、弥漫性大B细胞淋巴瘤(DLBCL)、滤泡性淋巴瘤、免疫母细胞性大细胞淋巴瘤、前体B淋巴细胞淋巴瘤和套细胞淋巴瘤。在其他实施方案中,所述耐受性非霍奇金淋巴瘤是T细胞非霍奇金淋巴瘤。T细胞非霍奇金淋巴瘤包括但不限于蕈样真菌病、间变性大细胞淋巴瘤和前体T-淋巴细胞淋巴瘤。在优选的实施方案中,非霍奇金淋巴瘤是DLBCL或套细胞淋巴瘤。

[0103] 在一些实施方案中,治疗哺乳动物中的耐受性非霍奇金淋巴瘤的方法包括向患者施用药学上可接受量的组合物,其中所述组合物包含:(1)如本文第III、IV或V部分所描述的任意噻吩并三唑并二氮杂 ䷀ 组合物;和(2)mTOR抑制剂、BTK抑制剂、HDAC抑制剂、抗CD20单克隆抗体、DNA甲基转移酶抑制剂和免疫调节剂,或它们的组合。

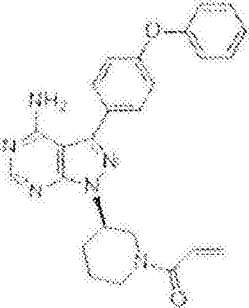
[0104] 在一些实施方案中,治疗耐受性非霍奇金淋巴瘤的方法利用式(1)的噻吩并三唑并二氮杂 ䷀ 化合物联合mTOR抑制剂、BTK抑制剂、HDAC抑制剂、抗CD20单克隆抗体、DNA甲基转移酶抑制剂和免疫调节剂,或它们的组合。在一些实施方案中,治疗耐受性非霍奇金淋巴瘤的方法利用式(1A)的噻吩并三唑并二氮杂 ䷀ 化合物联合mTOR抑制剂、BTK抑制剂、HDAC抑制剂、抗CD20单克隆抗体、DNA甲基转移酶抑制剂和免疫调节剂,或它们的组合。

[0105] 噻吩并三唑并二氮杂 ䷀ 组合物和mTOR抑制剂(或BTK抑制剂、HDAC抑制剂、抗CD20单克隆抗体、DNA甲基转移酶抑制剂和免疫调节剂)可以同时施用或按顺序施用。在一些实施方案中,所述组合可产生协同效应。

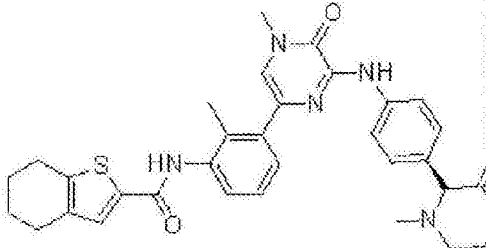
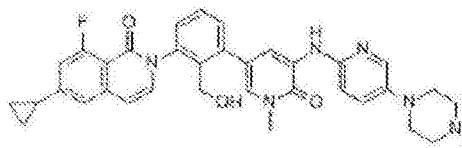
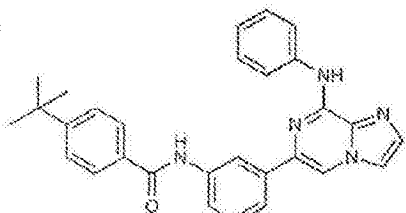
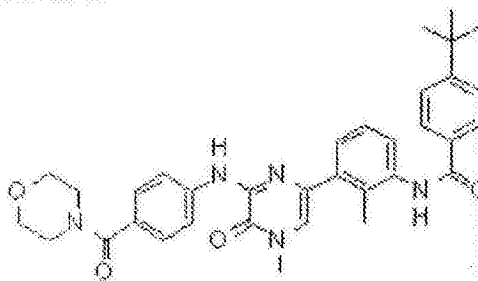
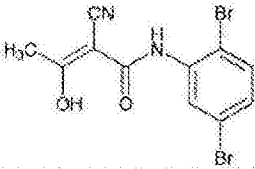
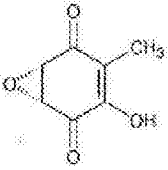
[0106] 在本发明的耐受性非霍奇金淋巴瘤的治疗方法中,与式(1)的噻吩并三唑并二氮杂 ䷀ 联合使用的合适的BTK抑制剂的例子包括但不限于下表A中所列出的BTK抑制剂。

[0107] 表A

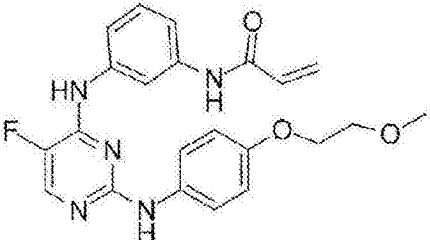
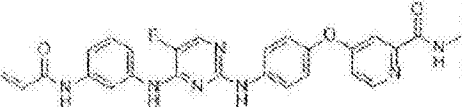
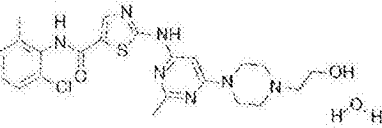
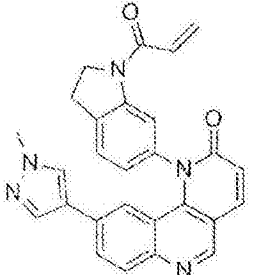
[0108]

抑制剂名称	抑制剂信息	引用文献
<p data-bbox="225 271 512 300">PCI-32765 (依鲁替尼)</p> 	<p data-bbox="730 271 1104 371">PCI-32765 (依鲁替尼) 是有效的高选择性 Btk 抑制剂, IC50 为 0.5 nM。</p>	<p data-bbox="1129 271 1359 495">Cancer Cell, 2012, 22(5):656-67. Blood, 2012, 120(19), 3978-3985; Cell Signal, 2013, 25(1):106-12.</p>

[0109]

抑制剂名称	抑制剂信息	引用文献
GDC-0834 	GDC-0834 是新型有效的高选择性 Btk 抑制剂, IC ₅₀ 为 5.9 nM。	J. Hematol. Oncol. 2013 Aug 19; 6:59;
RN-486 		J. Hematol. Oncol. 2013 Aug 19; 6:59;
CGI-560 		J. Hematol. Oncol. 2013 Aug 19; 6:59;
CGI-1746 		J. Hematol. Oncol. 2013 Aug 19; 6:59;
LFM-A13 	布鲁顿氏酪氨酸激酶 (BTK) 抑制剂, IC ₅₀ = 2.5 μM。 对于 JAK-1、JAK-2、JAK-3、SYK、HCK、EGFR 激酶、IR 激酶的 IC ₅₀ 均>300 μM	J. Hematol. Oncol. 2013 Aug 19; 6:59;
土曲霉酸  (1R,6S)-3-羟基-4-甲基-7-氧杂双环[4.1.0]庚-3-烯-2,5-二酮	布鲁顿氏酪氨酸激酶 (BTK) 的选择性抑制剂。 在完整细胞内以及无细胞体系内抑制 BTK 的催化活性, 以及 BTK 与 PKCβII 之间的相互作用, 而不影响 PKC 活性。土曲霉酸对 Lyn、Syk、PKA、酪蛋白激酶 I、ERK1、ERK2 和 p38 激酶的活性影响极小	

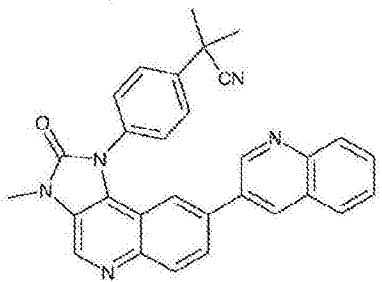
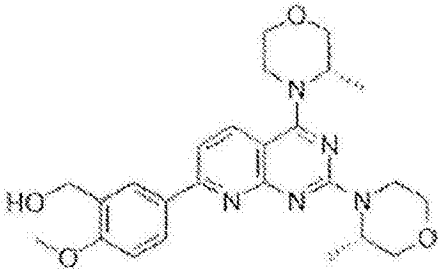
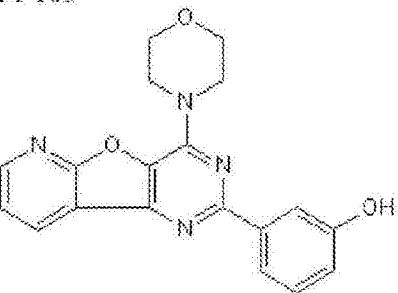
[0110]

抑制剂名称	抑制剂信息	引用文献
	或没有影响。研究 BTK 在细胞信号转导途径中的作用的有用工具。	
CC-292 		J. Pharmacol. Exp. Ther. 2013 Aug; 346(2): 219-228; Leukemia 2014 Mar 7 (epub); J. Hematol. Oncol. 2013 Aug 19; 6:59;
CNX-774 		J. Hematol. Oncol. 2013 Aug 19; 6:59;
达沙替尼 		N Eng J Med; 2006 Jun 15; 354(24): 2531-41
QL47 		ACS Chem Biol; 2013 Mar 17

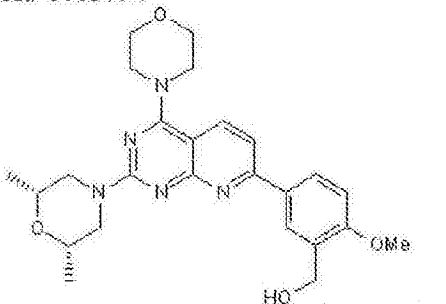
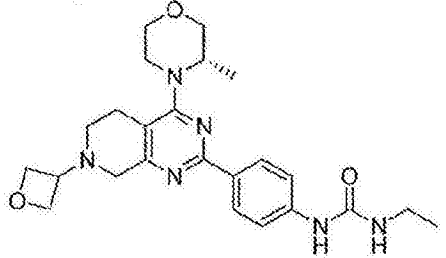
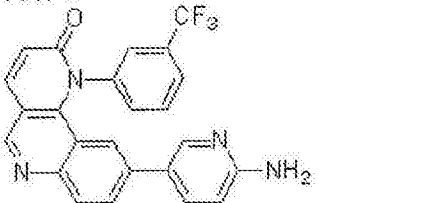
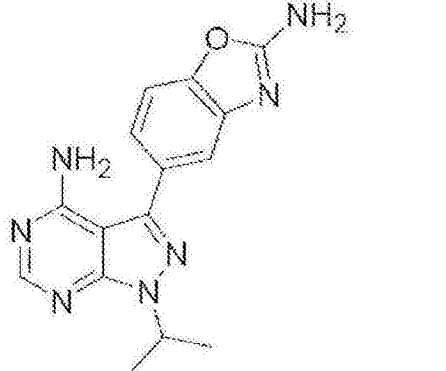
[0111] 在本发明的治疗耐受性非霍奇金淋巴瘤的方法中与式(1)的噻吩并三唑并二氮杂萘联合使用的纳巴霉素(mTOR)抑制剂的合适的哺乳动物靶标的实例包括但不限于列于下表B中的mTOR抑制剂。

[0112] 表B

[0113]

No.	抑制剂名称	描述	引用文献
1	BEZ235 (NVP-BEZ235) 	BEZ235 (NVP-BEZ235)是双重ATP-竞争性PI3K和p110 α 、p110 γ 、p110 δ 和p110 β 的mTOR抑制剂,其IC ₅₀ 分别为4 nM、5 nM、7 nM和75 nM;并且也抑制ATR, IC ₅₀ 为21 nM。	Nature, 2012, 487(7408):505-9;Blood, 2011, 118(14), 3911-3921;Cancer Res, 2011, 71(15), 5067-5074.
2	依维莫司 (RAD001)	依维莫司(RAD001)是FKBP12的mTOR抑制剂, IC ₅₀ 为1.6-2.4 nM。	Cell, 2012, 149(3):656-70;;Cancer Cell, 2012, 21(2), 155-167; Clin Cancer Res, 2013, 19(3):598-609.
3	纳巴霉素(Sirolimus, AY22989, NSC226080)	纳巴霉素(Sirolimus, AY-22989, WY-090217)是特异性mTOR抑制剂, IC ₅₀ 为~0.1 nM。	Cancer Cell, 2011, 19(6), 792-804; Cancer Res, 2013;Cell Res, 2012, 22(6):1003-21.
4	AZD8055 	AZD8055是新型ATP-竞争性mTOR抑制剂, IC ₅₀ 为0.8 nM。	Autophagy, 2012, Am J Transplant, 2013, ;Biochem Pharmacol, 2012, 83(9), 1183-1194
5	PI-103  3-[4-(4-吗啉基吡啶并[3',2':4,5]咪唑并[3,2-d]噻啉-2-基)苯酚	PI-103是有效的DNA-PK、p110 α 、mTORC1、PI3KC2 β 、p110 δ 、mTORC2、p110 β 和p110 γ 的ATP-竞争性PI3K抑制剂, IC ₅₀ 分别为2 nM、8 nM、20 nM、26 nM、48 nM、83 nM、88 nM和150 nM。	Leukemia, 2013, 27(3):650-60; Leukemia, 2012, 26(5):927-33; Biochem Pharmacol, 2012, 83(9), 1183-1194.
6	坦西莫司 (CCI-779, NSC-683864)	坦西莫司(CCI-779, Torisel)是特异性mTOR抑制剂, IC ₅₀ 为1.76 μ M。	Autophagy, 2011, 7(2), 176-187; Tuberc Respir Dis (Seoul), 2012, 72(4), 343-351; PLoS One,

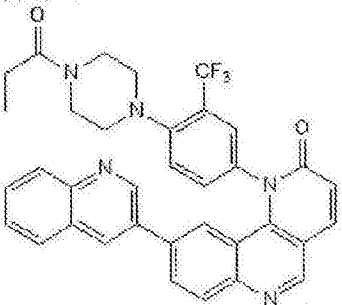
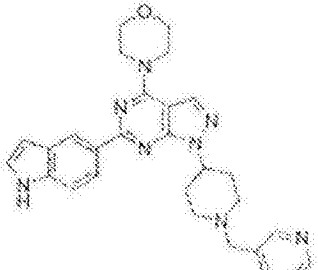
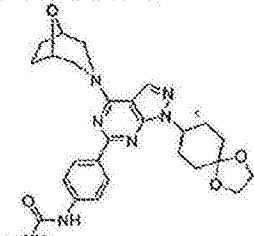
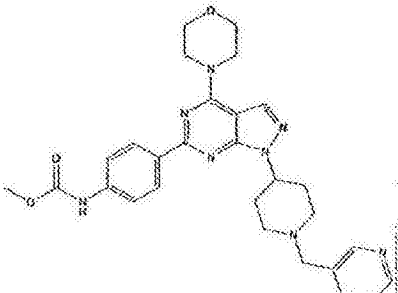
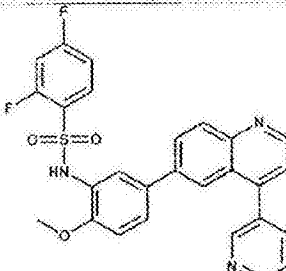
[0114]

7	<p>KU-0063794</p>  <p>rel-5-[2-[(2R,6S)-2,6-二甲基-4-吗啉基]-4-(4-吗啉基)吡啶并[2,3-d]嘧啶-7-基]-2-甲氧基苯甲醇</p>	<p>KU-0063794 是 mTORC1 和 mTORC2 的有效的高度特异性 mTOR 抑制剂, IC₅₀ ~10 nM。</p>	<p>2013, 8(5):e62104. Cell Stem Cell, 2012, 10(2):210-7;Circ Res, 2010, 107(10), 1265-1274;J Immunol, 2013, 190(7), 3246-55.</p>
8	<p>GDC-0349</p> 	<p>GDC-0349 是有效的选择性 ATP-竞争性 mTOR 抑制剂, K_i 为 3.8 nM。</p>	
9	<p>托林 2</p>  <p>9-(6-氨基-3-吡啶基)-1-[3-(三氟甲基)苯基]-苯并[h]-1,6-萘啶-2(1H)-酮</p>	<p>托林 2 是高度有效的选择性 mTOR 抑制剂, IC₅₀ 为 0.25 nM, 并且也对 ATM/ATR/DNA-PK 示出了有效的细胞内活性, EC₅₀ 分别为 28 nM, 35 nM 和 118 nM。</p>	
10	<p>INK 128 (MLN-0128)</p> 	<p>INK 128 是有效的选择性 mTOR 抑制剂, IC₅₀ 为 1 nM。</p>	
11	<p>AZD2014</p>	<p>AZD2014 是新型双重 mTORC1 和 mTORC2 抑制剂, 具有潜在的抗肿瘤活性。</p>	

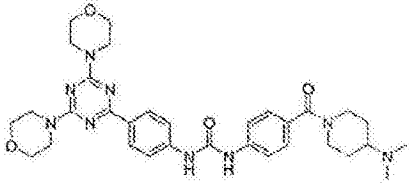
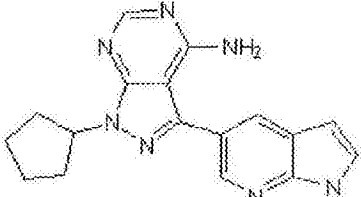
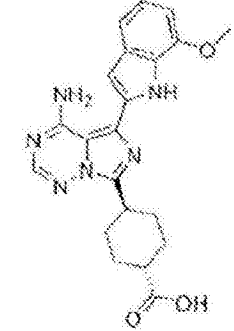
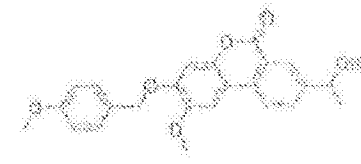
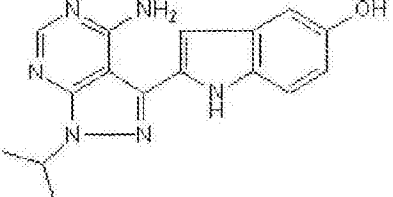
[0115]

12	NVP-BGT226(BGT2226) 	NVP-BGT226 是新型双重 PI3K/mTOR 抑制剂, IC ₅₀ 为 1 nM。	
13	PF-04691502 	PF-04691502 是 ATP-竞争性和选择性的 PI3K($\alpha/\beta/\delta/\gamma$)/mTOR 抑制剂, K _i 为 1.8 nM/2.1 nM/1.6 nM/1.9 nM 和 16 nM; 也在 T308/S473 上示出抑制 Akt 磷酸化的作用, IC ₅₀ 为 7.5 nM/3.8 nM。	
14	CH5132799 	CH5132799 示出了强抑制活性, 特别是针对 PI3K α , IC ₅₀ 为 14 nM; 并且也示出了抑制 mTOR, IC ₅₀ 为 1.6 μ M。	
15	GDC-0980 (RG7422) 	GDC-0980 (RG7422) 是有效的选择性 PI3K α 、PI3K β 、PI3K δ 和 PI3K γ 抑制剂, IC ₅₀ 分别为 5 nM、27 nM、7 nM 和 14 nM; 并且也是 mTOR 抑制剂, K _i 为 17 nM。	

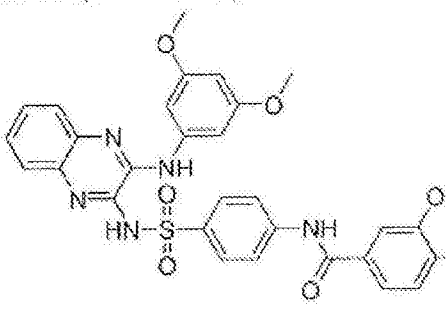
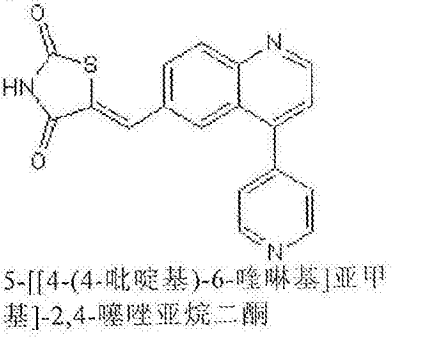
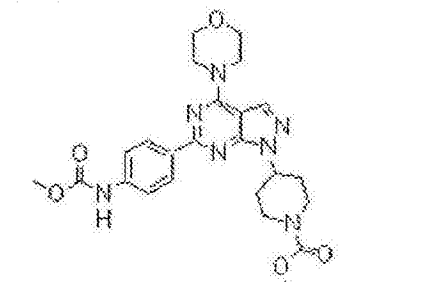
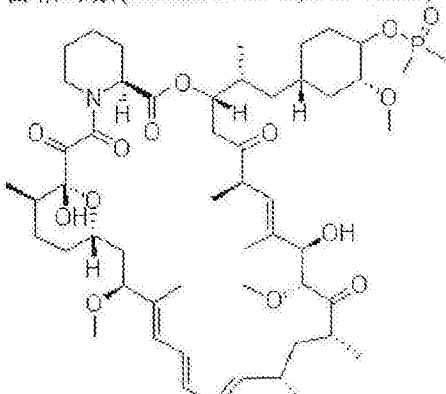
[0116]

16	<p>托林 1</p>  <p>1-[4-[4-(1-丙酰基)-1-哌嗪基]-3-(三氟甲基)苯基]-9-(3-咪唑基)-苯并[h]-1,6-萘啶-2(1H)-酮</p>	托林 1 是有效的 mTOR 抑制剂, IC ₅₀ 为 2-10 nM。	
17	<p>WAY-600</p> 	WAY-600 是有效的 ATP-竞争性和选择性 mTOR 抑制剂, IC ₅₀ 为 9 nM。	
18	<p>WYE-125132(WYE-132)</p> 	WYE-125132 是高度有效的 ATP-竞争性和特异性 mTOR 抑制剂, IC ₅₀ 为 0.19 nM。	
19	<p>WYE-687</p> 	WYE-687 是 ATP-竞争性和选择性 mTOR 抑制剂, IC ₅₀ 为 7 nM。	
20	<p>GSK2126458(GSK458)</p> 	GSK2126458 是高度选择性和有效的 p110 α 、p110 β 、p110 γ 、p110 δ 、mTORC1 和 mTORC2 抑制剂, K _i 分别为 0.019 nM、0.13 nM、0.024 nM、0.06 nM、0.18 nM 和 0.3 nM。	

[0117]

21	<p>PF-05212384 (PKI-587)</p> 	<p>PKI-587 是高度有效的 PI3Kα、PI3Kγ 和 mTOR 双重抑制剂, IC₅₀ 分别为 0.4 nM、5.4 nM 和 1.6 nM。</p>	
22	<p>PP-121</p>  <p>1-环戊基-3-(1H-吡咯并[2,3-b]吡啶-5-基)-1H-吡啶并[3,4-d]噻啶-4-胺</p>	<p>PP-121 是 PDGFR、Hck、mTOR、VEGFR2、Src 和 Abl 的多靶抑制剂, IC₅₀ 分别为 2 nM、8 nM、10 nM、12 nM、14 nM 和 18 nM; 并且也抑制 DNA-PK, IC₅₀ 为 60 nM。</p>	
23	<p>OSI-027(ASP4786)</p> 	<p>OSI-027 是选择性和有效的 mTORC1 和 mTORC2 双重抑制剂, IC₅₀ 分别为 22 nM 和 65 nM。</p>	<p>Exp Eye Res, 2013, 113C, 9-18</p>
24	<p>Palomid 529(P529)</p> 	<p>Palomid 529 抑制 mTORC1 和 mTORC2 复合物, 降低 pAktS473、pGSK3βS9 和 pS6 的磷酸化, 但是不影响 pMAPK 或 pAktT308。I 期。</p>	
25	<p>PP242</p>  <p>2-[4-氨基-1-(1-甲基乙基)-1H-吡啶并[3,4-d]噻啶-3-基]-1H-咪唑-5-酚</p>	<p>PP242 是选择性 mTOR 抑制剂, IC₅₀ 为 8nM。</p>	<p>Autophagy, 2012, 8(6), 903-914</p>

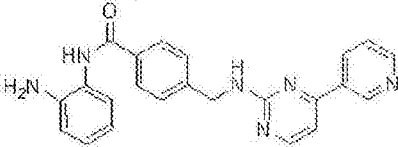
[0118]

26	<p>XL765(SAR245409)</p> 	<p>XL765 是 mTOR、p110α、p110β、p110γ 和 p110δ 的双重 mTOR/PI3k 抑制剂, IC50 分别为 157 nM、39 nM、113 nM、9 nM 和 43 nM。</p>	<p>Endocrinology, 2013, 154(3):1247-59</p>
27	<p>GSK1059615</p>  <p>5-[[4-(4-吡啶基)-6-喹啉基]亚甲基]-2,4-噁唑亚烷二酮</p>	<p>GSK1059615 是 PI3Kα、PI3Kβ、PI3Kδ、PI3Kγ 和 mTOR 的新型双重抑制剂, IC50 分别为 0.4 nM、0.6 nM、2 nM、5 nM 和 12 nM。</p>	<p>Nature, 2012, 486(7404), 532-536</p>
28	<p>WYE-354</p> 	<p>WYE-354 是有效特异性和 ATP-竞争性 mTOR 抑制剂, IC50 为 5 nM。</p>	<p>Mol Cancer Res, 2012, 10(6), 821-833.</p>
29	<p>雷帕霉素(Ridaforolimus, MK-8669)</p> 	<p>雷帕霉素 (Ridaforolimus; AP23573; MK-8669; 42-(二甲基次膦酸盐) 雷帕霉素; Ridaforolimus) 是选择性 mTOR 抑制剂, IC50 为 0.2 nM。</p>	<p>Mol Genet Meta, 2010, 100(4), 309-315.</p>

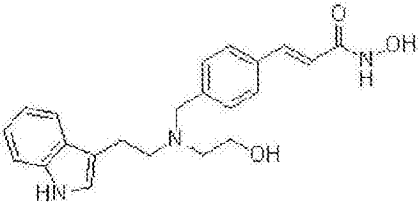
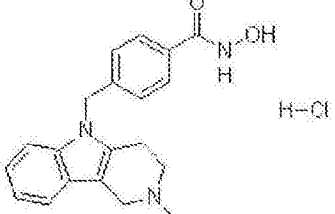
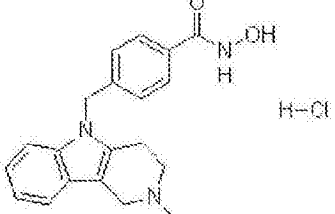
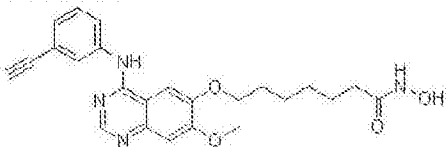
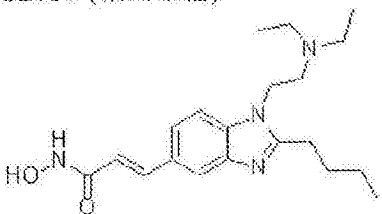
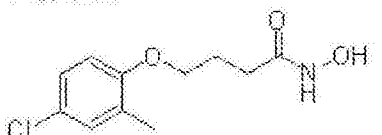
[0119] 在本发明的耐受性非霍奇金淋巴瘤的治疗方法中,与式(1)的噁吩并三唑并二氮杂萘联合使用的合适的组蛋白脱乙酰酶(HDAC)抑制剂的实例包括但不限于下表C中所列出的HDAC抑制剂。

[0120] 表C

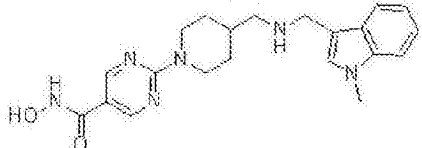
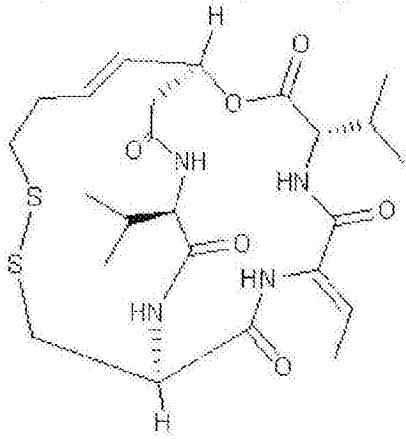
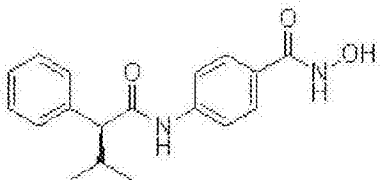
[0121]

抑制剂名称	抑制剂信息	引用文献
伏立诺他 (SAHA, MK0683)	伏立诺他(辛二酰苯胺异羟肟酸, SAHA, Zolinza) 是 HDAC 抑制剂, IC50 为~10 nM。	Nature, 2011, 471(7337):235-9; Nat Biotechnol, 2011, 29(3), 255-265; J Exp Med, 2012, 209(1):35-50.
恩替诺特(MS-275,SNDX-275)	MS-275 是 HDAC1 和 HDAC3 的 HDAC 抑制剂, IC50 分别为 0.51 μ M 和 1.7 μ M。	Nat Biotechnol, 2011, 29(3), 255-265; Proc Natl Acad Sci U S A, 2011, 108(49):19629-34; Circ Res, 2012, 110(5):739-48.
帕比司他(LBH589, NVP-LBH589)	LBH589 (帕比司他)是新型广谱 HDAC 抑制剂, 在 MOLT-4 和 Reh 细胞中 IC50 分别是 5 nM 和 20 nM。	Nat Biotechnol, 2011, 29(3), 255-265; Blood, 2012, 119(6):1450-8; Acta Neuropathol, 2011, 122(5):637-50
曲古抑菌素 A (TSA)	曲古抑菌素 A(TSA)是 HDAC 抑制剂, IC50 为 ~1.8 nM。	Plant J, 2013, 74(5), 815-828; Epigenetics, 2012, 7(10), 1161-1172.
莫西司他 (MGCD0103, MG0103)	 MGCD0103 (莫西司他) 是用于 HDAC1、HDAC2 和 HDAC3 的有效的 HDAC 抑制剂, IC50 分别为 0.15 μ M、0.29 μ M 和 1.66 μ M。	Nat Struct Mol Biol, 2013, 20(3):317-25; Circ Res, 2012, 110(5):739-48; Oncogene, 2011, 30(27), 3062-3072.
贝利司他(PXD101)	贝利司他(PXD101)是新型 HDAC 抑制剂, 在 HeLa 细胞提取物中的 IC50 为 27 nM。	Nat Biotechnol, 2011, 29(3), 255-265; Breast Cancer Res Treat, 2011, 131(3), 777-789; PLoS One, 2011, 6(2), e17138.
MC1568	MC1568 是选择性 HDAC 抑制剂, IC50 为 220 nM。	Proc Natl Acad Sci U S A, 2012, 109(34):E2284-93; Oncogene, 2013, ; J Biol Chem, 2011.

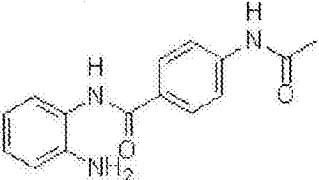
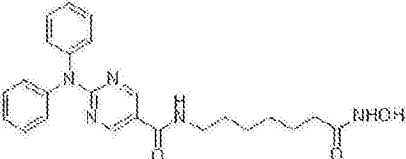
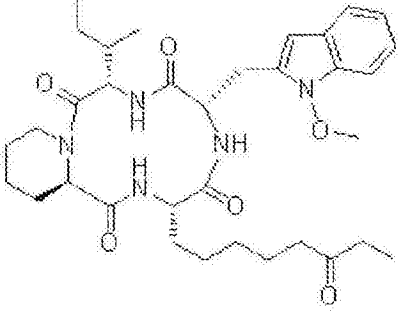
[0122]

抑制剂名称	抑制剂信息	引用文献
		286(27), 23842-23851.
LAQ824 (NVP-LAQ824, Dacinostat) 	LAQ824 (NVP-LAQ824) 是新型 HDAC 抑制剂, IC50 为 32 nM。	Nat Biotechnol, 2011, 29(3), 255-265; Diabetologia, 2012, 55(9):2421-31; Mol Pain, 2010, 6, 51.
ITF2357 (Givinostat) 	ITF2357 (Givinostat) 是有效的 HDAC 抑制剂, IC50 为 7.5-16 nM。	J Neurosci, 2013, 33(17), 7535-7547.
盐酸图巴司他 A 	盐酸图巴司他 A 是有效的 HDAC6 抑制剂, IC50 为 15 nM。	
CUDC-101 	CUDC-101 是针对 HDAC、EGFR 和 HER2 的有效多靶抑制剂, IC50 分别为 4.4 nM、2.4 nM 和 15.7 nM。	
SB939 (帕西诺他) 	SB939 是有效的 HDAC 抑制剂, IC50 为 40-140 nM。	Antimicrob Agents Chemother, 2012, 56(7), 3849-3856
卓新诺他 	卓新诺他 (CMH, 5809354) 是 HDAC3、HDAC6 和 HDAC8 的选择性抑制剂, IC50 分别为 16.9 μM、2.47 μM 和 1.46 μM。	Nat Struct Mol Biol, 2013, 20(3):317-25

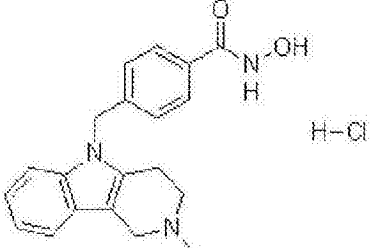

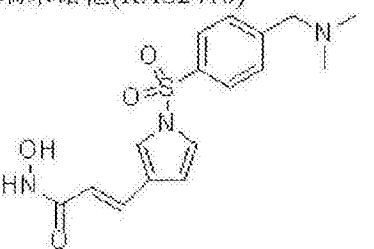
[0123]

抑制剂名称	抑制剂信息	引用文献
<p>JNJ-26481585 (奎斯诺他)</p>  <p>N-羟基-2-(4-(((1-甲基-1H-咪唑-3-基)甲基)氨基)甲基)哌啶-1-基)嘧啶-5-甲酰胺</p>	<p>JNJ-26481585 (奎斯诺他)是 HDAC1、HDAC2、HDAC4、HDAC10 和 HDAC11 的 HDAC 抑制剂, IC₅₀ 分别为 0.11 nM、0.33 nM、0.64 nM、0.46 nM 和 0.37 nM。</p>	
<p>PCI-24781(CRA-024781)</p>	<p>PCI-24781(CRA-024781)是针对 HDAC1、HDAC2、HDAC3、HDAC6、HDAC8 和 HDAC10 的新型广谱 HDAC 抑制剂, K_i 分别为 7 nM、19 nM、8.2 nM、17 nM、280 nM、24 nM。</p>	<p>PLoS One, 2013, 8(5), e65369; Nat Biotechnol, 2011, 29(3), 255-265.</p>
<p>罗咪酯肽(FK228, 缩酚酸肽)</p> 	<p>罗咪酯肽(FK228, FR901228, 缩酚酸肽, NSC 630176)是有效的 HDAC1 和 HDAC2 抑制剂, IC₅₀ 分别为 36 nM 和 47 nM。</p> <p>(1S,4S,7Z,10S,16E,21R)-7-亚乙基-4,21-双(1-甲基乙基)-2-氧杂-12,13-二硫杂-5,8,20,23-四氮杂双环[8.7.6]二十三-16 烯-3,6,9,19,22-戊酮</p>	<p>J Neurosci, 2013, 33(17):7535-7547; Br J Haematol, 2013.</p>
<p>AR-42 (OSU-HDAC42)</p>  <p>(S)-N-羟基-4-(3-甲基-2-苯基丁酰胺)苯甲酰胺</p>	<p>AR-42 (HDAC-42, OSU-HDAC42)是 pan-HDAC 抑制剂, IC₅₀ 为 30 nM。</p>	
<p>丙戊酸钠盐(丙戊酸钠)</p>	<p>丙戊酸钠盐 (丙戊酸钠)是 HDAC 抑制剂, IC₅₀ 为 0.4 mM; 并且也抑制 GABA-转氨酶或琥珀酸半醛脱氢酶。</p>	<p>J Neurosci, 2013, 33(17), 7535-7547.</p>
<p>PCI-34051</p>	<p>PCI-34051 是新型特异性 HDAC8 抑制剂, IC₅₀ 为</p>	

[0124]

抑制剂名称	抑制剂信息	引用文献
	10 nM。	
CI994 (Tacedinaline) 	CI994 (Tacedinaline)是抑制 HDAC1 的抗癌药物, IC50 为 0.57 μM。	
M344	M344 是有效的 HDAC 抑制剂, IC50 为 100 nM。	
PI3K/HDAC 抑制剂 I	PI3K/HDAC 抑制剂 I 是 PI3Kα、HDAC1、HDAC2、HDAC3 和 HDAC10 的双重 PI3K 和 HDAC 抑制剂, IC50 分别为 19 nM、1.7 nM、5 nM、1.8 nM 和 2.8 nM。	
Rocilinostat (ACY-1215) 	Rocilinostat (ACY-1215) 是选择性 HDAC6 抑制剂, IC50 为 5 nM。	
Apicidin (OSI-2040) 	Apicidin 是有效的 HDAC 抑制剂, IC50 为 0.7 nM。 (3S,6S,9S,15aR)-9-((R)-仲-丁基)-6-((1-甲氧基-1H-吡啶-2-基)甲基)-3-(6-氧代辛基)十氢-1H-吡啶并 [1,2-a][1,4,7,10]四氮杂环十二烯-1,4,7,10(12H)-四酮	
Scriptaid	Scriptaid 是 HDAC 抑制剂。	

[0125]

抑制剂名称	抑制剂信息	引用文献
图巴司他A  N-羟基-4-((2-甲基-3,4-二氢-1H-吡啶并[4,3-b]咪唑-5(2H)-基)甲基)苯甲酰胺盐酸盐	图巴司他A 是有效的且选择性 HDAC6 抑制剂, IC50 为 15 nM。	J Biol Chem, 2013, 288(20), 14400-7.
苯丁酸钠 	苯丁酸钠是转录调节子, 其通过调节 HDAC 的活性来改变染色质结构起作用。	
瑞米诺他(RAS2410) 	(E)-3-(1-((4-((二甲基氨基)甲基)苯基)磺酰基)-1H-吡啶-3-基)-N-羟基丙酰胺	

[0126] 在本发明的耐受性非霍奇金淋巴瘤的治疗方法中,与式(1)的噁吩并三唑并二氮杂萘联合使用的合适的抗CD20单克隆抗体的实例包括但不限于下表D中所列出的抗CD20单克隆抗体。

[0127] 表D

[0128]

No.	抑制剂名称	形式	制造商
1	Rituximab	嵌合 IgG1	Genentech/Biogen
2	Y^{90} -Ibritumomab tiuxetan	鼠 (90Y)	iogen/IDEC
3	I^{131} tositumomab	鼠(131I)	GSK
4	Ofatumumab	人 IgG1	Genmab AC/GSK
5	Ocrelizumab	人源化 IgG1	Genentech/Roche/Biogen
6	TRU-015	由人 IgG1 Fc 和与抗-CD20 scFv 直接连接的铰链区 (铰链、CH ₂ 和 CH ₃) 构成的小分	Trubion Pharma/Wyeth

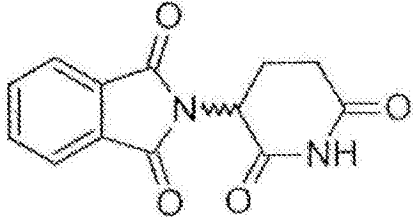
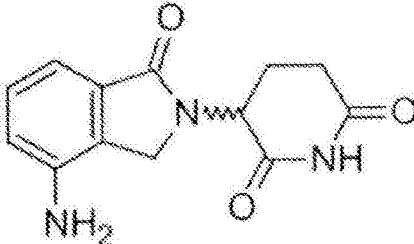
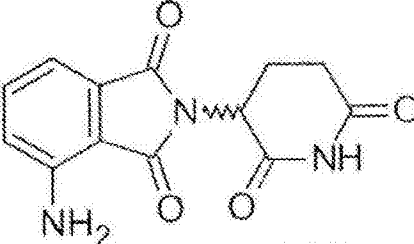
[0129]

No.	抑制剂名称	形式	制造商
		子免疫药物 (SMIP TM)	
7	Veltuzumab	人源化的	Immunomedics
8	AME-133v	人源化 IgG1	Applied Molecular Evolution/Eli Lilly
9	PRO131921 人源化 (版本 114)	IgG1	Genentech
10	GA101	人源化 IgG1	Glycart/Roche

[0130] 在一些实施方案中,免疫调节剂可以选自由沙利度胺、来那度胺、泊马度胺及它们酯、衍生物、前药、盐和复合物所构成的组中。

[0131] 在本发明的方法中与式 (1) 的噻吩并三唑并二氮杂萘化合物组合使用的合适的免疫调节剂包括下表E中列出的免疫调节剂。

[0132] 表E

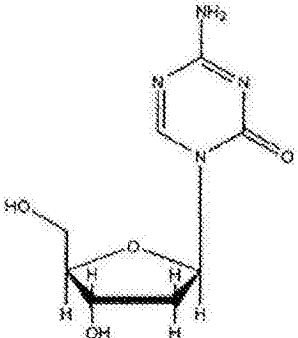
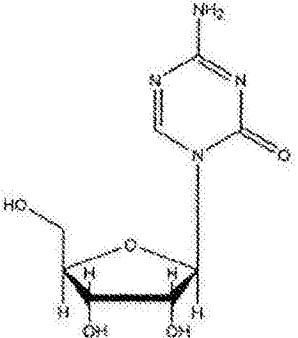
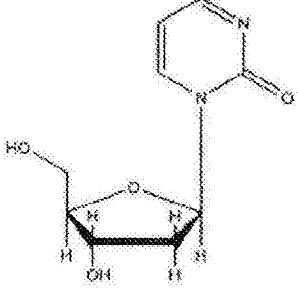
No.	免疫调节剂名称	结构
1	沙利度胺(Immunoprin, Talidex, Talizer, Thalomid)	
2	来那度胺(CC-5013, Revlimid)	
3	泊马度胺(CC-4047, Pomalyst)	

[0134] 在本发明的方法中,与式 (1) 的噻吩并三唑并二氮杂萘联合使用的合适的DNA甲基化转移酶抑制剂包括但不限于下表F中所列出的DNA甲基化转移酶抑制剂。

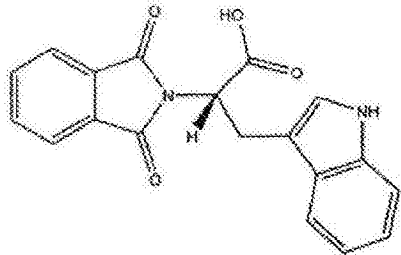
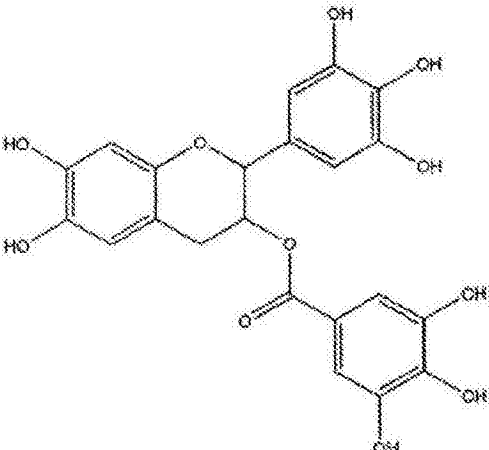
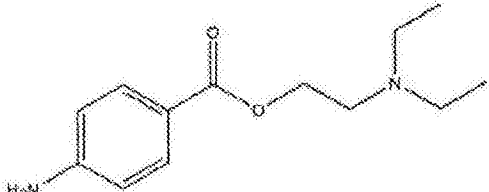
[0135] 在本发明的治疗耐受性非霍奇金淋巴瘤的方法中,与式 (1) 的噻吩并三唑并二氮杂萘联合使用的合适的DNA甲基化转移酶抑制剂的实例包括地两他宾。

[0136] 表F

[0137]

抑制剂名称	抑制剂信息	引用文献
地西他滨 (5-氮杂-2'-脱氧胞嘧啶核苷) 		J Natl Cancer Inst 2005;97:1498-1506
5-氮杂胞苷 		Experientia 1964; 20:202-3; Cell 1980; 20:85-93; J Natl Cancer Inst 2005;97:1498-1506
Zebularin 		J Natl Cancer Inst 2005;97:1498-1506

[0138]

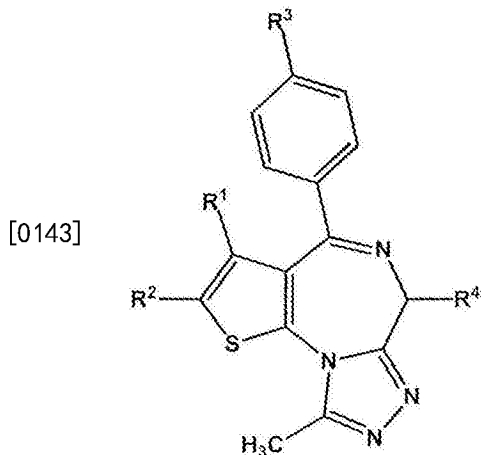
抑制剂名称	抑制剂信息	引用文献
RG108 		J Natl Cancer Inst 2005;97:1498-1506
表没食子儿茶素-3-没食子酸酯 (EGCG) 		J Natl Cancer Inst 2005;97:1498-1506
普鲁卡因 		J Natl Cancer Inst 2005;97:1498-1506

[0139] 本文所用的哺乳动物受试者可以是任何哺乳动物。在一个实施方案中，哺乳动物受试者包括但不限于人；非人灵长类动物；啮齿动物如小鼠、大鼠或豚鼠；家养宠物如猫或狗；马、牛、猪、绵羊、山羊或兔。在一个实施方案中，哺乳动物受试者包括但不限于鸟，例如鸭、鹅、鸡或火鸡。在一个实施方案中，哺乳动物受试者是人。在一个实施方案中，哺乳动物受试者可以是任何性别，并且可以是任何年龄。

[0140] 在本发明中，“治疗”是指这样一种行为或动作，其将本发明的活性成分施用给由医生诊断为具有耐受性非霍奇金淋巴瘤、髓母细胞瘤和/或ALK+非小细胞肺癌的患者、或者存在罹患耐受性非霍奇金淋巴瘤、髓母细胞瘤和/或ALK+非小细胞肺癌风险的患者，其目的是(例如)减轻耐受性非霍奇金淋巴瘤、髓母细胞瘤和/或ALK+非小细胞肺癌(或其相同的症状)，预防耐受性非霍奇金淋巴瘤、髓母细胞瘤和/或ALK+非小细胞肺癌(或其相同的症状)，或恢复耐受性非霍奇金淋巴瘤、髓母细胞瘤和/或ALK+非小细胞肺癌发病前的状态。

[0141] III. 噻吩并三唑并二氮杂萘化合物：

[0142] 在一个实施方案中,在本发明的制剂中使用的噻吩并三唑并二氮杂萘化合物由式(1)表示(包括其任意的盐、异构体、对映异构体、消旋物、水合物、溶剂化物、代谢物和多晶型):



[0144] 其中 R^1 为具有1至4个碳的烷基; R^2 为氢原子、卤素原子、或任选地被卤素原子或羟基取代的具有1至4个碳的烷基; R^3 为:卤素原子,任选地被卤素原子、具有1至4个碳的烷基、具有1至4个碳的烷氧基、或氰基取代的苯基, $-NR^5-(CH_2)_m-R^6$,其中 R^5 为氢原子、或具有1至4个碳的烷基, m 为0至4的整数,并且 R^6 为任选地被卤素原子取代的苯基或吡啶基,或 $-NR^7-CO-(CH_2)_n-R^8$,其中 R^7 为氢原子或具有1至4个碳的烷基, n 为0至2的整数,并且 R^8 为任选地被卤素原子取代的苯基或吡啶基;并且 R^4 为: $-(CH_2)_a-CO-NH-R^9$,其中 a 为1至4的整数,并且 R^9 为具有1至4个碳的烷基,具有1至4个碳的羟烷基,具有1至4个碳的烷氧基,或任选地被具有1至4个碳的烷基、具有1至4个碳的烷氧基、氨基或羟基取代的苯基或吡啶基,或 $-(CH_2)_b-COOR^{10}$,其中 b 为1至4的整数,并且 R^{10} 为具有1至4个碳的烷基。

[0145] 在一个实施方案中,合适的烷基包括含有1个碳原子至4个碳原子的直链或支链烷基基团。在一个实施方案中,合适的烷基包括含有1个碳原子至3个碳原子的直链或支链烷基基团。在一个实施方案中,合适的烷基包括含有1个碳原子至2个碳原子的直链或支链烷基基团。在一个实施方案中,示例性的烷基基团包括但不限于甲基、乙基、丙基、异丙基、正丁基、异丁基、仲丁基、叔丁基。在一个实施方案中,示例性的烷基基团包括但不限于甲基、乙基、丙基、异丙基、2-甲基-1-丙基和2-甲基-2-丙基。

[0146] 在一些实施方案中,本发明提供了本发明所述的噻吩并三唑并二氮杂萘化合物的药学可接受的盐、溶剂化物(包括水合物)和同位素标记的形式。在一个实施方案中,噻吩并三唑并二氮杂萘化合物的药学可接受的盐包括与无机酸形成的酸加成盐。在一个实施方案中,噻吩并三唑并三氮杂萘的药学可接受的无机酸加成盐包括盐酸、氢溴酸、氢碘酸、磷酸、偏磷酸、硝酸和硫酸的盐。在一个实施方案中,噻吩并三唑并二氮杂萘化合物的药学可接受的盐包括与有机酸形成的酸加成盐。在一个实施方案中,噻吩并三唑并二氮杂萘化合物的药学可接受的有机酸加成盐包括以下酸的盐:酒石酸、乙酸、三氟乙酸、柠檬酸、苹果酸、乳酸、富马酸、苯甲酸、甲酸、丙酸、乙醇酸、葡萄糖酸、马来酸、琥珀酸、樟脑硫酸、异硫羧酸(isoithionic acid)、粘酸、龙胆酸、异烟酸、糖二酸、葡萄糖醛酸、糠酸、谷氨酸、抗坏血酸、邻氨基苯甲酸、水杨酸、苯乙酸、扁桃酸、扑酸(帕莫酸)、甲烷磺酸、乙烷磺酸、泛酸、硬脂酸、

磺胺酸、褐藻酸、半乳糖醛酸和芳基磺酸(例如苯磺酸和4-甲基苯磺酸)。

[0147] 本发明提供了本发明所述的噻吩并三唑并二氮杂萘化合物的药学可接受的同位素标记形式,其中一个或多个原子被原子数相同、但是原子量或质量数与天然常见的原子量或质量数不同的原子所替代。适于包含在噻吩并三唑并二氮杂萘化合物中的同位素的实例包括以下元素的同位素:氢,例如²H和³H;碳,例如¹¹C、¹³C和¹⁴C;氯,例如³⁶Cl;氟,例如¹⁸F;碘,例如¹²³I和¹²⁵I;氮,例如¹³N和¹⁵N;氧,例如¹⁵O、¹⁷O和¹⁸O;以及硫,例如³⁵S。通常可以通过本领域那些技术人员已知的常规技术来制备噻吩并三唑并二氮杂萘化合物的同位素标记形式。

[0148] 式(1)所示化合物的某些同位素标记形式(例如引入了放射性同位素的那些)可用于药品和/或底物的组织分布研究中。由于放射性同位素氚(³H)和碳-14(¹⁴C)易于引入和即时的检测手段,所以它们特别适用于上述目的。使用较重的同位素(例如氘(²H))进行取代可以提供由于更广的代谢稳定性而产生的某些治疗益处,例如体内半衰期增长或者剂量需求降低,因此,在一些情况下可以是优选的。使用发射正电子的同位素(例如¹¹C、¹⁸F、¹⁵O和¹³N)进行取代可以用于正电子发射断层成像术研究(PET)中,以用于检测底物受体的占用。

[0149] 在一些实施方案中,本发明公开的噻吩并三唑并二氮杂萘化合物可以与药学可接受的溶剂形成溶剂化以及非溶剂化的形式存在。本领域技术人员应该理解的是,溶剂化物为溶质(在这种情况下为本发明所述的噻吩并三唑并二氮杂萘化合物)和溶剂形成的化学计量可变的复合物。优选的是此类溶剂不会干扰溶质(噻吩并三唑并二氮杂萘化合物)的生物活性。用于形成溶剂化物的合适的溶剂的实例包括但不限于水、甲醇、二甲基亚砜、乙醇和乙酸。所用的合适的溶剂为药学可接受的溶剂。合适的是,所用的溶剂为水。在一个实施方案中,本发明所述的噻吩并三唑并二氮杂萘化合物的药学可接受的溶剂化物包括乙醇溶剂化物、异丙醇溶剂化物、二氧戊烷溶剂化物、四氢呋喃溶剂化物、二甲基亚砜溶剂化物、叔丁醇溶剂化物、2-丁醇溶剂化物、二氧戊烷溶剂化物、1,3-二甲基-3,4,5,6-四氢-2(1H)-嘧啶酮(“DMPU”)溶剂化物、1,3-二甲基咪唑啉酮(“DMI”)溶剂化物和1,3-二甲基咪唑啉酮(“DMP”)溶剂化物、或它们的混合物。

[0150] 在一些实施方案中,本发明所述的噻吩并三唑并二氮杂萘化合物可以包含一个或多个手性中心和/或双键,因此可以以几何异构体、对映异构体或非对映异构体的形式存在。可以根据Cahn-Ingold-Prelog规则来命名噻吩并三唑并二氮杂萘化合物的对映异构体和非对映异构体,所述的规则将“R”或“S”描述符指定给每个立构中心(通常也称为手性中心),并将E或Z描述符指定给每个碳-碳双键(以命名几何异构体),这样可以通过在系统名中包含描述符而独特地描述整个分子的构造。

[0151] 在一些实施方案中,本发明所述的噻吩并三唑并二氮杂萘化合物可以以外消旋混合物或外消旋物的形式存在,其可以包含手性分子的等量的左旋和右旋对映异构体。可以通过前缀(±)-或d1-来表示此类外消旋混合物,表明右旋和左旋异构体的相等(1:1)的混合物。此外,前缀rac-(或racem-)或符号RS和SR也可以用于命名外消旋混合物。

[0152] 此外,由取代基围绕碳-碳双键的排列或者取代基围绕环烷基或杂环的排列而产生的几何异构体也可以存在于本发明的化合物中。在一些实施方案中,符号~~~~~可用于表

示可以为单键、双键或三键的键。围绕碳-碳双键的取代基可以命名为呈“Z”或“E”构型，其中根据IUPAC标准使用术语“Z”和“E”。除非另有说明，否则描述双键的结构涵盖了“Z”和“E”异构体。围绕碳-碳双键的取代基也可以称为“顺式”或“反式”，其中“顺式”表示取代基在双键的同侧上，而“反式”表示取代基在双键的对侧上。取代基围绕碳环的排列也可以命名为“顺式”或“反式”。术语“顺式”表示取代基在环的平面的同侧上，而术语“反式”表示取代基在环的平面的对侧上。其中取代基置于环的平面的同侧和对侧上的化合物所形成的混合物命名为“顺式/反式”或“Z/E”。

[0153] 在一些实施方案中，本发明所公开的噻吩并三唑并二氮杂萘化合物可以以单晶或多晶形式或多型物存在。在一个实施方案中，本发明所公开的噻吩并三唑并二氮杂萘化合物包含其无定形形式。在一个实施方案中，本发明所公开的噻吩并三唑并二氮杂萘化合物包含其单一多晶型物。在另一个实施方案中，本发明所公开的噻吩并三唑并二氮杂萘化合物包含其多晶型物的混合物。在另一个实施方案中，所述化合物为结晶形式。

[0154] 在一些实施方案中，本发明所公开的噻吩并三唑并二氮杂萘化合物可以以单一对映异构体或者对映异构体富集形式存在。在一个实施方案中，本发明所公开的噻吩并三唑并二氮杂萘化合物以对映异构体过量百分比 (enantiomeric excess) 超过80%的形式存在。在一个实施方案中，本发明所公开的噻吩并三唑并二氮杂萘化合物以对映异构体过量百分比超过90%的形式存在。在一个实施方案中，本发明所公开的噻吩并三唑并二氮杂萘化合物以对映异构体过量百分比超过98%的形式存在。在一个实施方案中，本发明所公开的噻吩并三唑并二氮杂萘化合物以对映异构体过量百分比超过99%的形式存在。在一个实施方案中，本发明所公开的噻吩并三唑并二氮杂萘化合物以选自至少10%、至少25%、至少50%、至少75%、至少90%、至少95%、至少98%和至少99%所构成的组中的对映异构体过量百分比的形式存在。

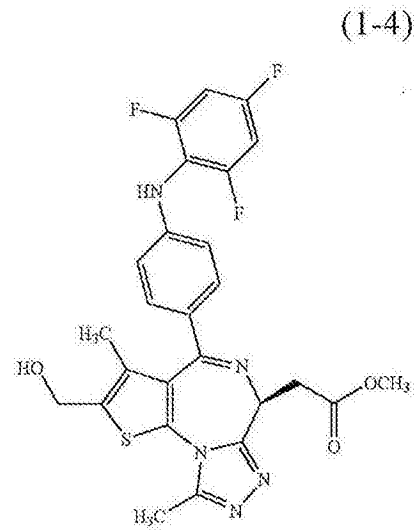
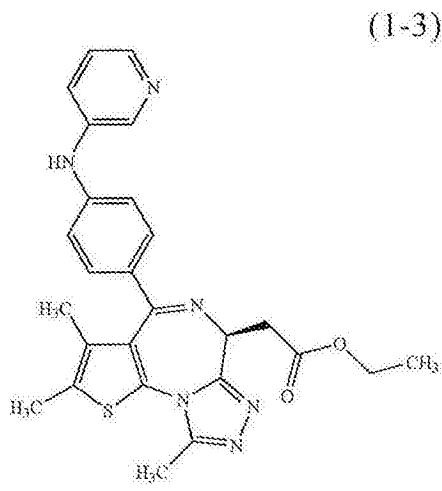
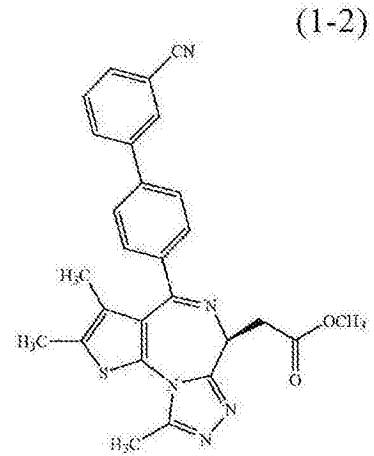
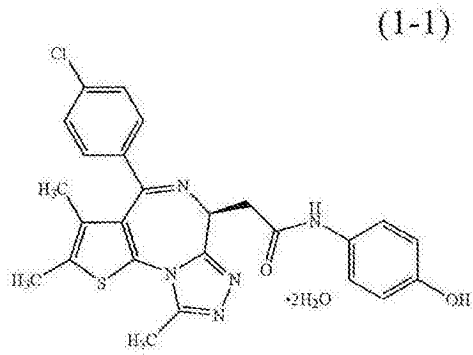
[0155] 对于一对映异构体对而言，可以使用以下等式(等式(1))来计算对映异构体E1相对于对映异构体E2的对映异构体过量百分比：

$$[0156] \quad \text{对映异构体E1的过量百分比} \% = \frac{(E1-E2) \times 100\%}{(E1+E2)} \quad \text{等式(1)}$$

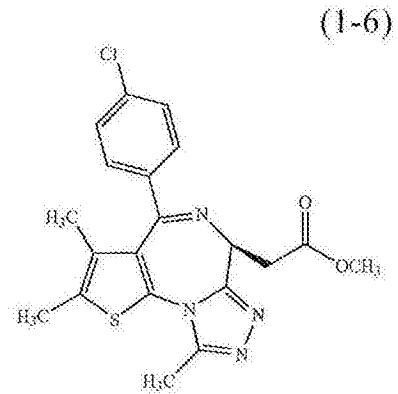
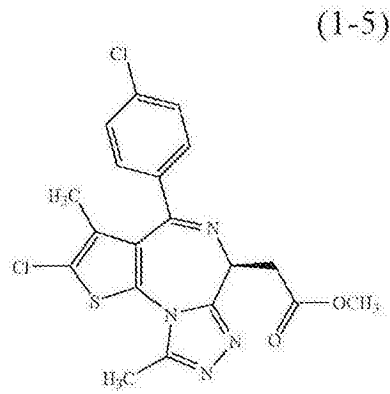
[0157] 可以通过手性高效液相色谱 (HPLC)、核磁共振 (NMR) 或任何其他合适的方法来测定E1和E2的相对量。在一些实施方案中，对映异构体化合物的纯度可以指对映异构体E1和E2相对于其他材料的量，这些其他物质特别包括副产物和/或未反应的反应物或试剂。

[0158] 在一些实施方案中，式(1)的噻吩并三唑并二氮杂萘化合物包括但不限于噻吩并三唑并二氮杂萘化合物(1-1)至(1-18)，其列于下表A中。

[0159] 表A: 本发明的示例性化合物：

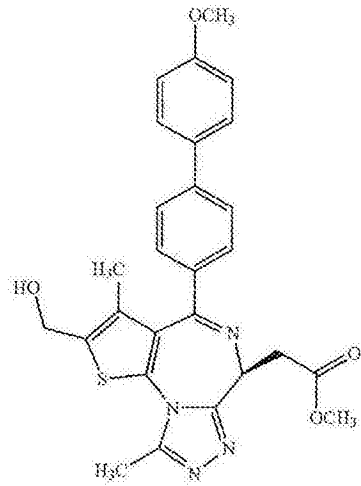


[0160]

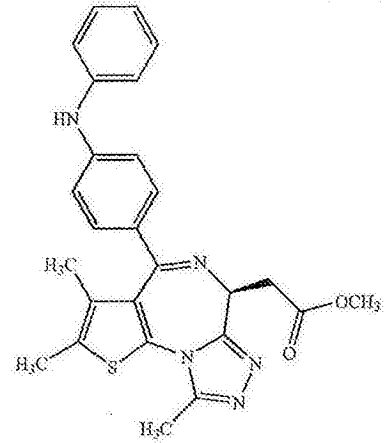


[0161] 表A(续)

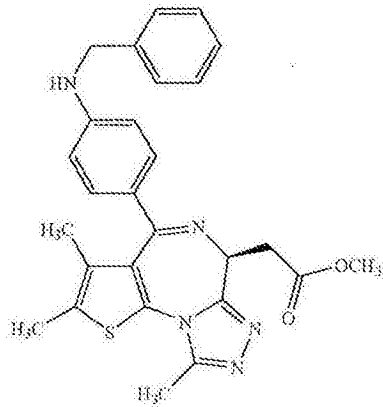
(1-7)



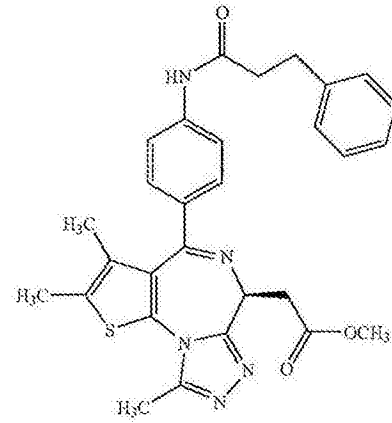
(1-8)



(1-9)

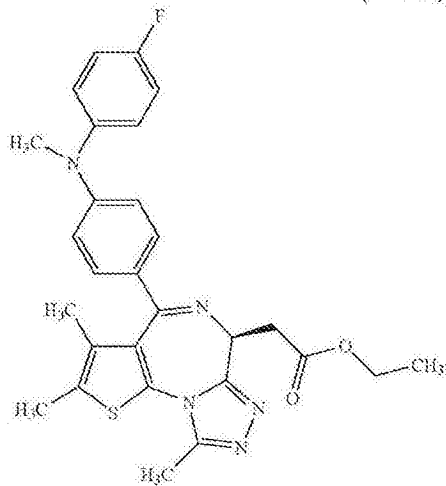


(1-10)

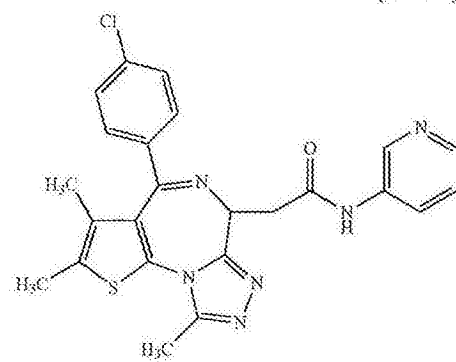


[0162]

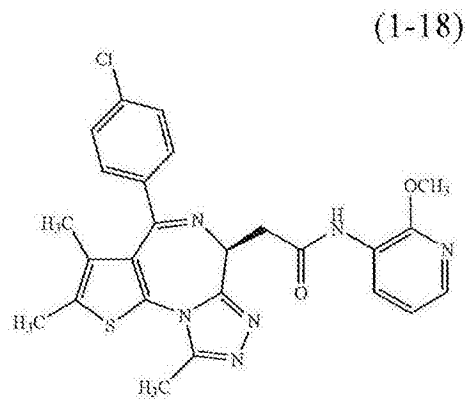
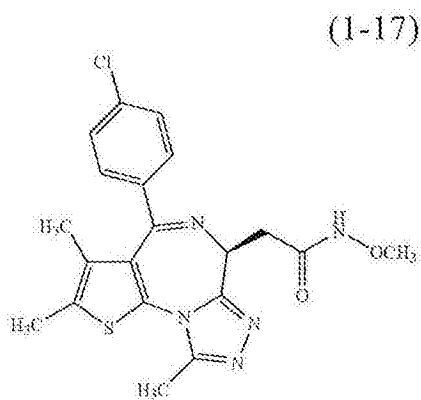
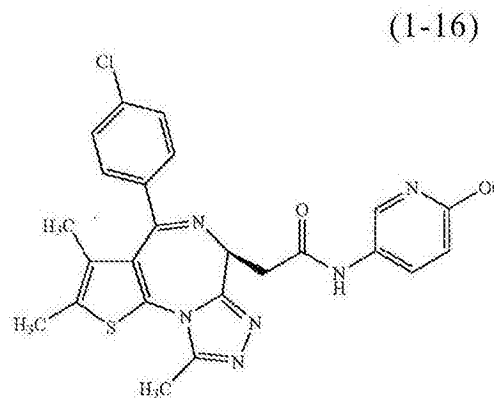
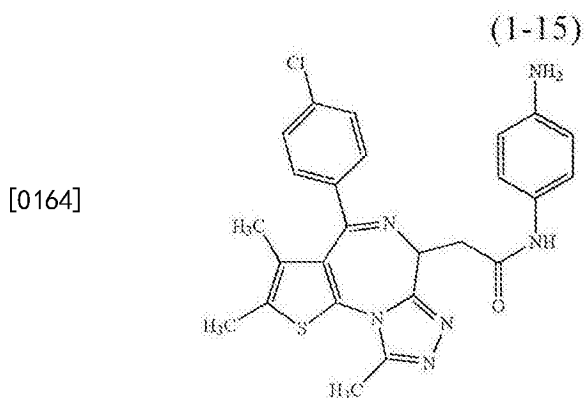
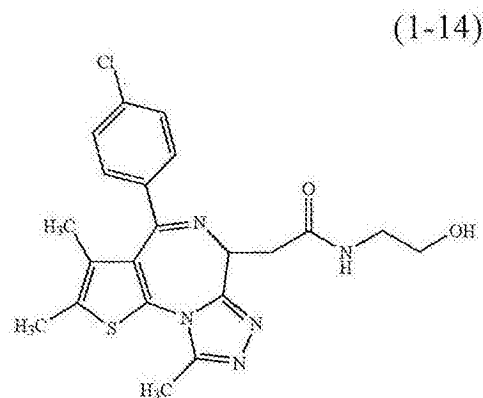
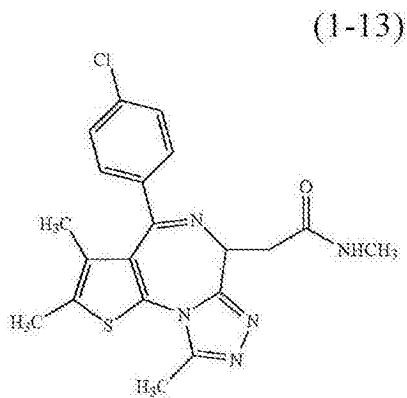
(1-11)



(1-12)



[0163] 表A(续)



[0165] 在一些实施方案中,式(1)所示的噻吩并三唑并二氮杂萘化合物包括:(i) (S)-2-[4-(4-氯代苯基)-2,3,9-三甲基-6H-噻吩并[3,2-f][1,2,4]三唑并-[4,3-a][1,4]二氮杂萘-6-基]-N-(4-羟苯基)乙酰胺或其二水合物;(ii) (S)-[4-(3'-氰基联苯-4-基)-2,3,9-三甲基-6H-噻吩并[3,2-f][1,2,4]三唑并[4,3-a][1,4]二氮杂萘-6-基]乙酸甲酯;(iii) (S)-[2,3,9-三甲基-4-(4-苯基氨基苯基)-6H-噻吩并[3,2-f][1,2,4]三唑并[4,3-a][1,4]二氮杂萘-6-基]乙酸甲酯;以及(iv) (S)-[2,3,9-三甲基-4-[4-(3-苯基丙酰基氨基)苯基]-6H-噻吩并[3,2-f][1,2,4]三唑并[4,3-a][1,4]二氮杂萘-6-基]乙酸甲酯。

[0166] 在一些实施方案中,式(1)所示的噻吩并三唑并二氮杂萘化合物包括(S)-2-[4-(4-氯代苯基)-2,3,9-三甲基-6H-噻吩并[3,2-f][1,2,-4]三唑并[4,3-a][1,4]二氮杂萘-

6-基]-N-(4-羟苯基)乙酰胺。

[0167] IV. 制剂:

[0168] 式(1)所示的化合物在盖伦组合物的常规给药和制备方面表现出非常特有的困难,特别包括药物生物利用度以及患者间和患者内的剂量应答的可变性的特定问题,由此需要针对几乎水不溶性的所述化合物开发非常规的剂型。

[0169] 之前,已经发现可以利用载体丙烯酸乙酯-甲基丙烯酸甲酯-三甲基铵乙基甲基丙烯酸酯氯化物共聚物(Eudragit RS,由Rohm公司制造)将式(1)所示的化合物配置成固体分散体,从而提供在下肠道中优先释放药物组分以用于治疗炎性肠病(例如溃疡性结肠炎和克罗恩病)的口服制剂(2009年1月8日公开的美国专利申请20090012064 A1)。通过多个实验(包括动物试验),发现就炎性肠病而言,药物在病变部位的释放及其对炎性病变的直接作用比其由胃肠道吸收至循环中更为重要。

[0170] 现在,意外地发现根据式(1)所示的噻吩并三唑并二氮杂 䊗 化合物、其药学可接受的盐、溶剂化物(包含水合物)、消旋物、对映异构体以及同位素标记的形式可以使用药学可接受的聚合物而配制成固体分散体,从而提供口服制剂,该口服制剂能够使药物组分由胃肠道高度吸收至循环中,从而治疗炎性肠病以及其他疾病。在狗和人类中的研究证明,与之前研发的用于治疗炎性肠病的Eudragit固体分散体制剂相比,所述这些固体分散体具有高的口服生物利用度。

[0171] 固体分散体为改善水溶性差的药物的口服生物利用度的一种手段。

[0172] 如本文所用,术语“固体分散体”是指一组固体产物,其包含至少2种不同的成分,通常为亲水性载体和疏水性药物(根据式(1)的噻吩并三唑并二氮杂 䊗 化合物)。基于药物在分散体内的分子排布,可以区分为6种不同类型的固体分散体。通常,固体分散体分为:简单低共熔混合物、固溶体、玻璃溶液和悬浮液、以及结晶载体中的无定形沉淀。此外,可存在一些组合,例如在同一样品中,一些分子可以成簇存在,而一些分子以分子形式分散。

[0173] 在一个实施方案中,根据式(1)的噻吩并三唑并二氮杂 䊗 化合物可以以分子形式分散于无定形颗粒(簇)中。在另一个实施方案中,根据式(1)的噻吩并三唑并二氮杂 䊗 化合物可以以结晶颗粒形式分散。在一个实施方案中,载体可以是结晶的。在另一个实施方案中,载体可以是无定形的。

[0174] 在一个实施方案中,本发明提供了包含固体分散体的药物组合物,其中所述固体分散体由以下形成:根据式(1)的噻吩并三唑并二氮杂 䊗 化合物或其药学可接受的盐、溶剂化物(包括水合物)、消旋物、对映异构体、异构体或其同位素标记形式;以及药学可接受的聚合物。在一个实施方案中,药学可接受的聚合物为醋酸羟丙甲纤维素琥珀酸酯(也称为醋酸羟丙基甲基纤维素琥珀酸酯或HPMCAS)。在一个实施方案中,分散体中噻吩并三唑并二氮杂 䊗 化合物与醋酸羟丙基甲基纤维素琥珀酸酯(HPMCAS)的重量比为1:3至1:1。在一个实施方案中,至少一部分噻吩并三唑并二氮杂 䊗 化合物均匀地分散于整个固体分散体中。在另一个实施方案中,噻吩并三唑并二氮杂 䊗 化合物均匀地分散于整个固体分散体中。在一些实施方案中,固体分散体表现出单一拐点的玻璃化转变温度(T_g)。在一些实施方案中,单一的T_g在130°C至140°C之间出现。在其他这样的实施方案中,单一的T_g在约135°C出现。在一

些这样的实施方案中,固体分散体在40℃、相对湿度为75%的环境下暴露至少1个月。在一些实施方案中,在固体分散体的X射线粉末衍射图案中,基本上不存在与结晶的式(1)所示的噻吩并三唑并二氮杂萘化合物有关的衍射线。就本申请的目的而言,“基本上不存在”是指在约21°20下,在无定形晕(amorphous halo)上不存在与结晶的式(1)所示的噻吩并三唑并二氮杂萘化合物有关的衍射线。

[0175] 在一个实施方案中,本发明提供了一种药物组合物,其包含式(1)所示的噻吩并三唑并二氮杂萘化合物或其药学可接受的盐、溶剂化物(包括水合物)、消旋物、对映异构体、异构体或同位素标记形式在药学可接受的聚合物中的固体分散体。在一个实施方案中,药学可接受的聚合物为聚乙烯吡咯烷酮(也称为聚维酮或PVP)。在一个实施方案中,分散体中噻吩并三唑并二氮杂萘化合物与PVP的重量比为1:3至1:1。在一个实施方案中,至少一部分噻吩并三唑并二氮杂萘化合物均匀地分散于整个固体分散体中。在另一个实施方案中,噻吩并三唑并二氮杂萘化合物均匀地分散于整个固体分散体中。在一些实施方案中,固体分散体表现出单一拐点的玻璃化转变温度(Tg)。在一些实施方案中,单一的Tg在175℃至约185℃之间出现。在其他这样的实施方案中,单一的Tg在约179℃出现。在一些这样的实施方案中,固体分散体在40℃、相对湿度为75%的环境下暴露至少1个月。在一些实施方案中,在固体分散体的X射线粉末衍射图案中,基本上不存在与结晶的式(1)所示的噻吩并三唑并二氮杂萘化合物有关的衍射线。就本申请的目的而言,“基本上不存在”是指在约21°20下,在无定形晕(amorphous halo)上不存在与结晶的式(1)所示的噻吩并三唑并二氮杂萘化合物有关的衍射线。

[0176] 在一个实施方案中,本发明的药物组合物包含无定形形式的式(1)所示的噻吩并三唑并二氮杂萘化合物或其药学可接受的盐、溶剂化物(包括水合物)、消旋物、对映异构体、异构体或同位素标记形式与药学可接受的聚合物的固体分散体。在一个实施方案中,药学可接受的聚合物为醋酸羟丙甲纤维素琥珀酸酯。在一个实施方案中,式(1)所示的噻吩并三唑并二氮杂萘化合物与醋酸羟丙甲纤维素琥珀酸酯的重量比为1:3至1:1。在一个实施方案中,至少一部分噻吩并三唑并二氮杂萘化合物均匀地分散于整个固体分散体中。在另一个实施方案中,噻吩并三唑并二氮杂萘化合物均匀地分散于整个固体分散体中。在一些实施方案中,固体分散体表现出单一拐点的玻璃化转变温度(Tg)。在一些实施方案中,单一的Tg在130℃至140℃之间出现。在其他这样的实施方案中,单一的Tg在约135℃出现。在一些这样的实施方案中,固体分散体在40℃、相对湿度为75%的环境下暴露至少1个月。在一些实施方案中,在固体分散体的X射线粉末衍射图案中,基本上不存在与结晶的式(1)所示的噻吩并三唑并二氮杂萘化合物有关的衍射线。就本申请的目的而言,“基本上不存在”是指在约21°20下,在无定形晕上不存在与结晶的式(1)所示的噻吩并三唑并二氮杂萘化合物有关的衍射线。

[0177] 在一个实施方案中,本发明的药物组合物包含无定形形式的式(1)所示的噻吩并三唑并二氮杂萘化合物或其药学可接受的盐、溶剂化物(包括水合物)、消旋物、对映异构体、异构体或同位素标记形式与药学可接受的聚合物的固体分散体。在一个实施方案中,药

学可接受的聚合物为聚乙烯吡咯烷酮。在一个实施方案中,式(1)所示的噻吩并三唑并二氮杂萘化合物与聚乙烯吡咯烷酮的重量比为1:3至1:1。在一个实施方案中,至少一部分噻吩并三唑并二氮杂萘化合物均匀地分散于整个固体分散体中。在另一个实施方案中,噻吩并三唑并二氮杂萘化合物均匀地分散于整个固体分散体中。在一些实施方案中,固体分散体表现出单一拐点的玻璃化转变温度(T_g)。在一些实施方案中,单一的T_g在175°C至约185°C之间出现。在其他这样的实施方案中,单一的T_g在约179°C下出现。在一些这样的实施方案中,固体分散体在40°C、相对湿度为75%的环境下暴露至少1个月。在一些实施方案中,在固体分散体的X射线粉末衍射图案中,基本上不存在与结晶的式(1)所示的噻吩并三唑并二氮杂萘化合物有关的衍射线。就本申请的目的而言,“基本上不存在”是指在约21°2θ下,在无定形晕上不存在与结晶的式(1)所示的噻吩并三唑并二氮杂萘化合物有关的衍射线。

[0178] 在一个实施方案中,本发明的药物组合物包含结晶形式的式(1)所示的噻吩并三唑并二氮杂萘化合物或其药学可接受的盐、溶剂化物(包括水合物)、消旋物、对映异构体、异构体或同位素标记形式与药学可接受的聚合物的固体分散体。在一个实施方案中,药学可接受的聚合物为醋酸羟丙基甲基纤维素琥珀酸酯。在一个实施方案中,式(1)所示的噻吩并三唑并二氮杂萘化合物与醋酸羟丙基甲基纤维素琥珀酸酯的重量比为1:3至1:1。

[0179] 在一个实施方案中,本发明的药物组合物包含结晶形式的式(1)所示的噻吩并三唑并二氮杂萘化合物或其药学可接受的盐、溶剂化物(包括水合物)、消旋物、对映异构体、异构体或同位素标记形式与药学可接受的聚合物的固体分散体。在一个实施方案中,药学可接受的聚合物为聚乙烯吡咯烷酮。在一个实施方案中,式(1)所示的噻吩并三唑并二氮杂萘化合物与聚乙烯吡咯烷酮的重量比为1:3至1:1。

[0180] 在一些实施方案中,通过喷雾干燥来制备包含固体分散体的药物组合物。

[0181] 在一个实施方案中,本发明的药物组合物包含喷雾干燥的固体分散体,该固体分散体由以下形成:式(1)所示的噻吩并三唑并二氮杂萘化合物或其药学可接受的盐、溶剂化物(包括水合物)、消旋物、对映异构体、异构体或同位素标记形式,和药学可接受的聚合物。在一个实施方案中,药学可接受的聚合物为醋酸羟丙基甲基纤维素琥珀酸酯。在一个实施方案中,化合物(1)与醋酸羟丙基甲基纤维素琥珀酸酯的重量比为1:3至1:1。在一个实施方案中,至少一部分噻吩并三唑并二氮杂萘化合物均匀地分散于整个固体分散体中。在另一个实施方案中,噻吩并三唑并二氮杂萘化合物均匀地分散于整个固体分散体中。在一些实施方案中,固体分散体表现出单一拐点的玻璃化转变温度(T_g)。在一些实施方案中,单一的T_g在130°C至140°C之间出现。在其他这样的实施方案中,单一的T_g在约135°C出现。在一些这样的实施方案中,固体分散体在40°C、相对湿度为75%的环境下暴露至少1个月。在一些实施方案中,在固体分散体的X射线粉末衍射图案中,基本上不存在与结晶的式(1)所示的噻吩并三唑并二氮杂萘化合物有关的衍射线。就本申请的目的而言,“基本上不存在”是指在约21°2θ下,在无定形晕上不存在与结晶的式(1)所示的噻吩并三唑并二氮杂萘化合物有关的衍射线。

[0182] 在一个实施方案中,本发明的药物组合物包含喷雾干燥的固体分散体,该固体分

散体由以下形成：式(1)所示的噻吩并三唑并二氮杂 $\text{[1,2,4]}_{\text{triazolo}}$ 化合物或其药学可接受的盐、溶剂化物(包括水合物)、消旋物、对映异构体、异构体或同位素标记形式和药学可接受的聚合物。在一个实施方案中，药学可接受的聚合物为聚乙烯吡咯烷酮。在一个实施方案中，化合物(1)与聚乙烯吡咯烷酮的重量比为1:3至1:1。在一个实施方案中，至少一部分噻吩并三唑并二氮杂 $\text{[1,2,4]}_{\text{triazolo}}$ 化合物均匀地分散于整个固体分散体中。在另一个实施方案中，噻吩并三唑并二氮杂 $\text{[1,2,4]}_{\text{triazolo}}$ 化合物均匀地分散于整个固体分散体中。在一些实施方案中，固体分散体表现出单一拐点的玻璃化转变温度(Tg)。在一些实施方案中，单一的Tg在175°C至185°C之间出现。在其他这样的实施方案中，单一的Tg在约179°C出现。在一些这样的实施方案中，固体分散体在40°C、相对湿度为75%的环境下暴露至少1个月。在一些实施方案中，在固体分散体的X射线粉末衍射图案中，基本上不存在与结晶的式(1)所示的噻吩并三唑并二氮杂 $\text{[1,2,4]}_{\text{triazolo}}$ 化合物有关的衍射线。就本申请的目的而言，“基本上不存在”是指在约 2θ 下，在无定形晕上不存在与结晶的式(1)所示的噻吩并三唑并二氮杂 $\text{[1,2,4]}_{\text{triazolo}}$ 化合物有关的衍射线。

[0183] 在一个实施方案中，本发明的药物组合物包含喷雾干燥的固体分散体，该固体分散体由以下形成：无定形的式(1)所示的噻吩并三唑并二氮杂 $\text{[1,2,4]}_{\text{triazolo}}$ 化合物或其药学可接受的盐、溶剂化物(包括水合物)、消旋物、对映异构体、异构体或同位素标记形式和药学可接受的聚合物。在一个实施方案中，药学可接受的聚合物为醋酸羟丙基甲基纤维素琥珀酸酯。在一个实施方案中，式(1)所示的噻吩并三唑并二氮杂 $\text{[1,2,4]}_{\text{triazolo}}$ 化合物与醋酸羟丙基甲基纤维素琥珀酸酯的重量比为1:3至1:1。在一个实施方案中，至少一部分噻吩并三唑并二氮杂 $\text{[1,2,4]}_{\text{triazolo}}$ 化合物均匀地分散于整个固体分散体中。在另一个实施方案中，噻吩并三唑并二氮杂 $\text{[1,2,4]}_{\text{triazolo}}$ 化合物均匀地分散于整个固体分散体中。在一些实施方案中，固体分散体表现出单一拐点的玻璃化转变温度(Tg)。在一些实施方案中，单一的Tg在130°C至140°C之间出现。在一些这样的实施方案中，固体分散体在40°C、相对湿度为75%的环境下暴露至少1个月。在其他这样的实施方案中，单一的Tg在约135°C出现。在一些实施方案中，在固体分散体的X射线粉末衍射图案中，基本上不存在与结晶的式(1)所示的噻吩并三唑并二氮杂 $\text{[1,2,4]}_{\text{triazolo}}$ 化合物有关的衍射线。就本申请的目的而言，“基本上不存在”是指在约 2θ 下，在无定形晕上不存在与结晶的式(1)所示的噻吩并三唑并二氮杂 $\text{[1,2,4]}_{\text{triazolo}}$ 化合物有关的衍射线。

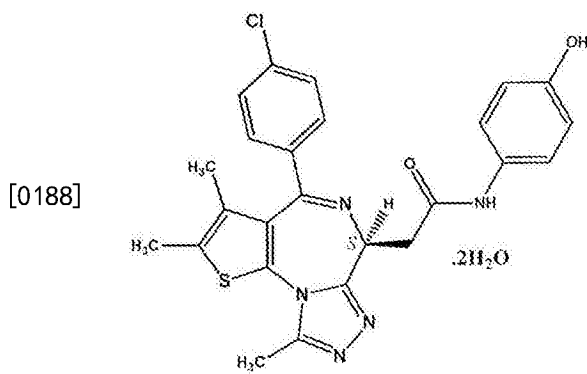
[0184] 在一个实施方案中，本发明的药物组合物包含喷雾干燥的固体分散体，该固体分散体由以下形成：无定形的式(1)所示的噻吩并三唑并二氮杂 $\text{[1,2,4]}_{\text{triazolo}}$ 化合物或其药学可接受的盐、溶剂化物(包括水合物)、消旋物、对映异构体、异构体或同位素标记形式和药学可接受的聚合物。在一个实施方案中，药学可接受的聚合物为聚乙烯吡咯烷酮。在一个实施方案中，式(1)所示的噻吩并三唑并二氮杂 $\text{[1,2,4]}_{\text{triazolo}}$ 化合物与聚乙烯吡咯烷酮的重量比为1:3至1:1。在一个实施方案中，至少一部分噻吩并三唑并二氮杂 $\text{[1,2,4]}_{\text{triazolo}}$ 化合物均匀地分散于整个固体分散体中。在另一个实施方案中，噻吩并三唑并二氮杂 $\text{[1,2,4]}_{\text{triazolo}}$ 化合物均匀地分散于整个固体分散体中。在一些实施方案中，固体分散体表现出单一拐点的玻璃化转变温度(Tg)。在一些实施方案中，单一的Tg在175°C至185°C之间出现。在其他这样的实施方案中，单一的Tg在约179°C出现。在一些这样的实施方案中，固体分散体在40°C、相对湿度为75%的环境下暴露至少1个

月。在一些实施方案中,在固体分散体的X射线粉末衍射图案中,基本上不存在与结晶的式(1)所示的噻吩并三唑并二氮杂萘化合物有关的衍射线。就本申请的目的而言,“基本上不存在”是指在约 $21^{\circ}20$ 下,在无定形晕上不存在与结晶的式(1)所示的噻吩并三唑并二氮杂萘化合物有关的衍射线。

[0185] 在一个实施方案中,本发明的药物组合物包含喷雾干燥的固体分散体,该固体分散体由以下形成:结晶形式的式(1)所示的噻吩并三唑并二氮杂萘化合物或其药学可接受的盐、溶剂化物(包括水合物)、消旋物、对映异构体、异构体或同位素标记形式和药学可接受的聚合物。在一个实施方案中,药学可接受的聚合物为醋酸羟丙基甲基纤维素琥珀酸酯。在一个实施方案中,式(1)所示的噻吩并三唑并二氮杂萘化合物与醋酸羟丙基甲基纤维素琥珀酸酯的重量比为1:3至1:1。

[0186] 在一个实施方案中,本发明的药物组合物包含喷雾干燥的固体分散体,该固体分散体由以下形成:结晶形式的式(1)所示的噻吩并三唑并二氮杂萘化合物或其药学可接受的盐、溶剂化物(包括水合物)、消旋物、对映异构体、异构体或同位素标记形式和药学可接受的聚合物。在一个实施方案中,药学可接受的聚合物为聚乙烯吡咯烷酮。在一个实施方案中,式(1)所示的噻吩并三唑并二氮杂萘化合物与聚乙烯吡咯烷酮的重量比为1:3至1:1。

[0187] 在一个优选的实施方案中,本发明提供了一种药物组合物,其包含固体分散体,该固体分散体由以下形成:2-[(6S)-4-(4-氯代苯基)-2,3,9-三甲基-6H-噻吩并[3,2-f]-[1,2,4]三唑并[4,3-a][1,4]二氮杂萘-6-基]-N-(4-羟苯基)乙酰胺二水合物(化合物(1-1))或其药学可接受的盐、溶剂化物(包括水合物)、消旋物、对映异构体、异构体或同位素标记形式;以及药学可接受的聚合物,其中所述化合物(1-1)如下:



[0189] 在一个实施方案中,药学可接受的聚合物为HPMCAS。在一个实施方案中,分散体中化合物(1-1)和HPMCAS的重量比为1:3至1:1。在一个实施方案中,至少一部分噻吩并三唑并二氮杂萘化合物均匀地分散于整个固体分散体中。在另一个实施方案中,噻吩并三唑并二氮杂萘化合物均匀地分散于整个固体分散体中。在一个实施方案中,固体分散体是喷雾干燥的。在一些实施方案中,固体分散体表现出单一拐点的玻璃化转变温度(T_g)。在一些实施方案中,单一的 T_g 在 130°C 至 140°C 之间出现。在其他这样的实施方案中,单一的 T_g 在约 135°C 出现。在一些这样的实施方案中,固体分散体在 40°C 、相对湿度为75%的环境下暴露至少1个月。在一些实施方案中,在固体分散体的X射线粉末衍射图案中,基本上不存在与结晶的式(1)所示的噻吩并三唑并二氮杂萘化合物有关的衍射线。就本申请的目的而言,“基本上

不存在”是指在约 $21^{\circ}20'$ 下,在无定形晕上不存在与结晶的噻吩并三唑并二氮杂 ䷀ 化合物(1-1)有关的衍射线。

[0190] 在另一个实施方案中,所述药物组合物包含化合物(1-1)或其药学可接受的盐、溶剂化物(包括水合物)、消旋物、对映异构体、异构体或同位素标记形式;以及药学可接受的聚合物的固体分散体。在一个实施方案中,药学可接受的聚合物为PVP。在一个实施方案中,分散体中化合物(1-1)和PVP的重量比为1:3至1:1。在一个实施方案中,至少一部分噻吩并三唑并二氮杂 ䷀ 化合物均匀地分散于整个固体分散体中。在另一个实施方案中,噻吩并三唑并二氮杂 ䷀ 化合物均匀地分散于整个固体分散体中。在一个实施方案中,固体分散体是喷雾干燥的。在一些实施方案中,固体分散体表现出单一拐点的玻璃玻璃化转变温度(Tg)。在一些实施方案中,单一的Tg在 175°C 至 185°C 之间出现。在其他这样的实施方案中,单一的Tg在约 179°C 出现。在一些这样的实施方案中,固体分散体在 40°C 、相对湿度为75%的环境下暴露至少1个月。在一些实施方案中,在固体分散体的X射线粉末衍射图案中,基本上不存在与结晶的式(1)所示的噻吩并三唑并二氮杂 ䷀ 化合物有关的衍射线。就本申请的目的而言,“基本上不存在”是指在约 $21^{\circ}20'$ 下,在无定形晕上不存在与结晶的噻吩并三唑并二氮杂 ䷀ 化合物(1-1)有关的衍射线。

[0191] 在一个实施方案中,本发明的药物组合物包含无定形形式的噻吩并三唑并二氮杂 ䷀ 化合物(1-1)或其药学可接受的盐、溶剂化物(包括水合物)、消旋物、对映异构体、异构体或同位素标记形式;以及药学可接受的聚合物。在一个实施方案中,药学可接受的聚合物为HPMCAS。在一个实施方案中,分散体中化合物(1-1)与HPMCAS的重量比为1:3至1:1。在一个实施方案中,至少一部分噻吩并三唑并二氮杂 ䷀ 化合物均匀地分散于整个固体分散体中。在另一个实施方案中,噻吩并三唑并二氮杂 ䷀ 化合物均匀地分散于整个固体分散体中。在一个实施方案中,固体分散体是喷雾干燥的。在一些实施方案中,固体分散体表现出单一拐点的玻璃化转变温度(Tg)。在一些实施方案中,单一的Tg在 130°C 至 140°C 之间出现。在其他这样的实施方案中,单一的Tg在约 135°C 出现。在一些这样的实施方案中,固体分散体在 40°C 、相对湿度为75%的环境下暴露至少1个月。在一些实施方案中,在固体分散体的X射线粉末衍射图案中,基本上不存在与结晶的式(1)所示的噻吩并三唑并二氮杂 ䷀ 化合物有关的衍射线。就本申请的目的而言,“基本上不存在”是指在约 $21^{\circ}20'$ 下,在无定形晕上不存在与结晶的噻吩并三唑并二氮杂 ䷀ 化合物(1-1)有关的衍射线。

[0192] 在一个实施方案中,本发明的药物组合物包含无定形形式的噻吩并三唑并二氮杂 ䷀ 化合物(1-1)或其药学可接受的盐、溶剂化物(包括水合物)、消旋物、对映异构体、异构体或同位素标记形式与药学可接受的聚合物的固体分散体。在一个实施方案中,药学可接受的聚合物为PVP。在一个实施方案中,分散体中化合物(1-1)与PVP的重量比为1:3至1:1。在一个实施方案中,至少一部分噻吩并三唑并二氮杂 ䷀ 化合物均匀地分散于整个固体分散体中。在另一个实施方案中,噻吩并三唑并二氮杂 ䷀ 化合物均匀地分散于整个固体分散体中。在一个实施方案中,固体分散体是喷雾干燥的。在一些实施方案中,固体分散体表现出单一拐点的玻璃化转变温度(Tg)。在一些实施方案中,单一的Tg在 175°C 至 185°C 之间出现。在其

他这样的实施方案中,单一的T_g在约189°C出现。在一些这样的实施方案中,固体分散体在40°C、相对湿度为75%的环境下暴露至少1个月。在一些实施方案中,在固体分散体的X射线粉末衍射图案中,基本上不存在与结晶的式(1)所示的噻吩并三唑并二氮杂萘化合物有关的衍射线。就本申请的目的而言,“基本上不存在”是指在约21°20下,在无定形晕上不存在与结晶的噻吩并三唑并二氮杂萘化合物(1-1)有关的衍射线。

[0193] 在一个实施方案中,本发明的药物组合物包含结晶形式的噻吩并三唑并二氮杂萘化合物(1-1)或其药学可接受的盐、溶剂化物(包括水合物)、消旋物、对映异构体、异构体或同位素标记形式与药学可接受的聚合物的固体分散体。在一个实施方案中,药学可接受的聚合物为HPMCAS。在一个实施方案中,分散体中化合物(1-1)与HPMCAS的重量比为1:3至1:1。在一个实施方案中,固体分散体是喷雾干燥的。

[0194] 在一个实施方案中,本发明的药物组合物包含结晶形式的噻吩并三唑并二氮杂萘化合物(1-1)或其药学可接受的盐、溶剂化物(包括水合物)、消旋物、对映异构体、异构体或同位素标记形式与药学可接受的聚合物的固体分散体。在一个实施方案中,药学可接受的聚合物为PVP。在一个实施方案中,分散体中化合物(1-1)与PVP的重量比为1:3至1:1。在一个实施方案中,固体分散体是喷雾干燥的。

[0195] 当经口施用本发明所述的固体分散体时,其表现出特别有利的性质。当在动物或人类的标准生物利用度试验中施用,所述固体分散体的有利性质的例子包括但不限于一致的且高水平的生物利用度。本发明的固体分散体可以包括含有式(1)所示的噻吩并三唑并二氮杂萘化合物、聚合物以及添加剂的固体分散体。在一些实施方案中,固体分散体可以实现使式(1)所示的噻吩并三唑并二氮杂萘化合物吸收入血流中,而这是不可能通过仅仅将式(1)所示的噻吩并三唑并二氮杂萘化合物与添加剂混合而获得的,这是因为式(1)所示的噻吩并三唑并二氮杂萘化合物药物在水和大多数水性介质中的溶解度可忽略不计。可以使用多种体外和/或体内研究来测量式(1)所示的噻吩并三唑并二氮杂萘化合物或者噻吩并三唑并二氮杂萘化合物(1-1)的生物利用度。体内研究可以使用例如大鼠、狗或人类来进行。

[0196] 可以通过沿着相对于横坐标(X轴)的时间的纵坐标(Y轴),绘制式(1)所示的噻吩并三唑并二氮杂萘化合物或者噻吩并三唑并二氮杂萘化合物(1-1)的血清或血浆浓度,从而获得曲线下面积(AUC)值,由此测量生物利用度。然后,将所述固体分散体中的式(1)所示的噻吩并三唑并二氮杂萘化合物或者噻吩并三唑并二氮杂萘化合物(1-1)的AUC值与等价浓度的不包含聚合物的结晶的式(1)所示的噻吩并三唑并二氮杂萘化合物或结晶性的噻吩并三唑并二氮杂萘化合物(1-1)的AUC值比较。在一些实施方案中,当将所述固体分散体经口施用给狗时,该固体分散体的曲线下面积(AUC)值选自:由静脉施用给狗的对照组合物的相应AUC值的至少0.4倍、0.5倍、0.6倍、0.8倍、1.0倍,其中所述对照组合物包含等价量的结晶的式(1)所示的噻吩并三唑并二氮杂萘化合物。

[0197] 可以通过模拟胃环境和肠环境的pH值的体外测试来测量生物利用度。可以通过以

下方法进行测量:将式(1)所示的噻吩并三唑并二氮杂萘化合物或噻吩并三唑并二氮杂萘化合物(1-1)的固体分散体悬浮在pH为1.0至2.0之间的水性体外测试介质中,随后将对照体外测试介质的pH值调节为5.0至7.0。可以在pH值调节后的最初2个小时中的任何时间来测量无定形的式(1)所示的噻吩并三唑并二氮杂萘化合物或无定形噻吩并三唑并二氮杂萘化合物(1-1)的浓度。在一些实施方案中,在pH值为5.0至7.0之间的水性体外测试介质中,与不包含聚合物的结晶的式(1)所示的噻吩并三唑并二氮杂萘化合物或者结晶的噻吩并三唑并二氮杂萘化合物(1-1)的浓度相比,固体分散体使无定形的式(1)所示的噻吩并三唑并二氮杂萘化合物或者无定形的噻吩并三唑并二氮杂萘化合物(1-1)的浓度高至少5倍、至少6倍、至少7倍、至少8倍、至少9倍或者至少10倍。

[0198] 在其他的实施方案中,在pH值为1.0至2.0的水性体外测试介质中,与不包含聚合物的结晶的式(1)所示的噻吩并三唑并二氮杂萘化合物的浓度相比,固体分散体中无定形的式(1)所示的噻吩并三唑并二氮杂萘化合物或无定形噻吩并三唑并二氮杂萘化合物(1-1)的浓度高至少40%、至少50%、至少60%、至少70%、至少80%。在一些这样的实施方案中,固体分散体的聚合物为HPMCAS。在一些这样的实施方案中,固体分散体的聚合物为PVP。

[0199] 在其他的实施方案中,所述固体分散体中的无定形的式(1)所示的噻吩并三唑并二氮杂萘化合物或者无定形噻吩并三唑并二氮杂萘化合物(1-1)的浓度是式(1)所示的噻吩并三唑并二氮杂萘化合物和药学可接受的聚合物的固体分散体中的式(1)所示的噻吩并三唑并二氮杂萘化合物的浓度的至少40%、至少50%以上、至少60%、至少70%、至少80%,其中所述药学可接受的聚合物选自以下物质组成的组中:羟丙基甲基纤维素邻苯二甲酸酯和丙烯酸乙酯-甲基丙烯酸甲酯-三甲基铵乙基甲基丙烯酸酯氯化物共聚物,其中各固体分散体被放置在pH值为1.0至2.0的水性体外测试介质中。在一些这样的实施方案中,固体分散体的聚合物为HPMCAS。在一些这样的实施方案中,固体分散体的聚合物为PVP。

[0200] 在一些实施方案中,当在一定的湿度和温度下暴露一段时间时,本发明所述的固体分散体表现出抵抗式(1)所示的噻吩并三唑并二氮杂萘化合物或噻吩并三唑并二氮杂萘化合物(1-1)的重结晶的稳定性。在一个实施方案中,无定形的式(1)所示的噻吩并三唑并二氮杂萘化合物或噻吩并三唑并二氮杂萘化合物(1-1)的保持无定形的浓度选自:至少90%、至少91%、至少92%、至少93%、至少94%、至少95%、至少96%、至少97%、至少98%和至少99%。

[0201] V. 剂型:

[0202] 可以用于本发明的固体分散体的合适的剂型包括但不限于胶囊、片剂、小型片剂、珠、微囊剂(beadlet)、丸剂、小颗粒(granule)、粒剂(granulate)和粉末。可以使用例如肠溶包衣来包裹合适的剂型。合适的包衣可以包括但不限于邻苯二甲酸乙酸钠纤维素、羟丙基甲基纤维素(HPMC)、羟丙基甲基纤维素邻苯二甲酸酯、聚甲基丙烯酸共聚物、或醋酸羟丙基甲基纤维素琥珀酸酯(HPMCAS)。在一些实施方案中,可存在某些组合,例如,在同一样品中,本发明的噻吩并三唑并二氮杂萘的一些分子可以成簇存在,而一些分子则以分子形式分散于载体中。

[0203] 在一些实施方案中,本发明的固体分散体可以配制成片剂、囊片或胶囊。在一些实施方案中,本发明的固体分散体可以配制成小型片剂或倒入口中 (pour-into-mouth) 的小颗粒、或者成分 (constitution) 的口服粉末。在一些实施方案中,本发明的固体分散体与其他的赋形剂 (例如,抑制重结晶/沉淀的聚合物、掩味成分等) 组合并分散于合适的稀释剂中,从而提供即用型的悬浮制剂。在一些实施方案中,本发明的固体分散体可以配制用于儿科治疗。

[0204] 在一个实施方案中,本发明的药物组合物被配制用于口服给药。在一个实施方案中,所述的药物组合物包含根据本发明所述的多个实施方案的固体分散体,其包含:式(1)所示的噻吩并三唑并二氮杂萘化合物、或其药学可接受的盐、溶剂化物(包括水合物)、消旋物、对映异构体、异构体或同位素标记的形式;以及聚合物载体。在一个实施方案中,所述的药物组合物还包含一种或多种添加剂,例如崩解剂、润滑剂、助流剂、粘结剂和填料。

[0205] 用于所述的药物组合物含义合适的药学可接受的润滑剂和药学可接受的助流剂的实例包括但不限于胶态氧化硅、三硅酸镁、淀粉、滑石、三碱式磷酸钙、硬脂酸镁、硬脂酸铝、硬脂酸钙、碳酸镁、氧化镁、聚乙二醇、粉末状纤维素、甘油二十二烷酸酯、硬脂酸、氢化蓖麻油、单硬脂酸甘油酯和硬脂酰富马酸钠。

[0206] 用于所述的药物组合物的合适的药学可接受的粘结剂的实例包括但不限于:淀粉、纤维素及其衍生物,例如微晶纤维素(例如AVICEL PH,得自FMC公司)、羟丙基纤维素、羟乙基纤维素和羟丙基甲基纤维素(HPMC,例如METHOCEL,得自Dow Chemical公司);蔗糖、右旋糖、玉米糖浆;多糖和明胶。

[0207] 用于所述的药物组合物的合适的药学可接受的填料和药学可接受的稀释剂的实例包括但不限于:糖果制造商的糖、可压缩糖、葡萄糖结合剂、糊精、右旋糖、乳糖、甘露醇、微晶纤维素(MCC)、粉末状纤维素、山梨醇、蔗糖和滑石。

[0208] 在一些实施方案中,在所述的药物组合物中,赋形剂可以发挥多于一种的功能。例如,填料或粘结剂还可以为崩解剂、助流剂、抗粘附剂、润滑剂、甜味剂等。

[0209] 在一些实施方案中,本发明的药物组合物可以还包含添加剂或配料,例如抗氧化剂(例如抗坏血酸棕榈酸酯、丁基化羟基茴香醚(BHA)、二丁基化羟基甲苯(BHT)、 α -生育酚、丙基没食子酸盐和富马酸)、抗微生物剂、酶抑制剂、稳定剂(例如丙二酸)和/或防腐剂。

[0210] 通常,本发明的药物组合物可以配制成任何合适的固体剂型。在一些实施方案中,本发明的固体分散体混合在单位剂型中,例如作为胶囊或片剂、或者多微粒系统(例如小颗粒或粒剂、或者粉末),以用于给药。

[0211] 在一个实施方案中,药物组合物包含:根据本发明所述的固体分散体的多个实施方案的式(1)所示的噻吩并三唑并二氮杂萘化合物和醋酸羟丙基甲基纤维素琥珀酸酯(HPMCAS)的固体分散体,其中所述噻吩并三唑并二氮杂萘化合物在固体分散体中是无定形的,并且噻吩并三唑并二氮杂萘化合物与醋酸羟丙基甲基纤维素琥珀酸酯(HPMCAS)的重量比为1:3至1:1;45重量%至50重量%的乳糖一水合物;35重量%至40重量%的微晶纤维素;4重量%至6重量%的交联羧甲基纤维素钠;0.8重量%至1.5重量%的胶体二氧化硅;和0.8重量%至1.5重量%硬脂酸镁。

[0212] VI. 剂量:

[0213] 在一个实施方案中,本发明提供了可以配制成任何合适的固体剂型的药物组合物。在一个实施方案中,根据本发明的药物组合物包含本发明所述式(1)所示的噻吩并三唑并二氮杂萘化合物的多种实施方案中的一种或多种,其中所述式(1)所示的噻吩并三唑并二氮杂萘的剂量为约10mg至约100mg。在一个实施方案中,本发明的药物组合物包含本发明所述式(1)所示的噻吩并三唑并二氮杂萘的多种实施方案中的一种或多种,其中所述式(1)所示的噻吩并三唑并二氮杂萘的剂量选自由如下剂量组成的组:约10mg至约100mg、约10mg至约90mg、约10mg至约80mg、约10mg至约70mg、约10mg至约60mg、约10mg至约50mg、约10mg至约40mg、约10mg至约30mg和约10mg至约20mg。在一个实施方案中,本发明的药物组合物包含本发明所述式(1)所示的噻吩并三唑并二氮杂萘的多种实施方案中的一种或多种,其中所述式(1)所示的噻吩并三唑并二氮杂萘的剂量选自由约10mg、约50mg、约75mg、约100mg构成的组。

[0214] 在一个实施方案中,本发明的药物组合物包括向有需要的受试者施用本发明所述多种实施方案中的一种或多种的式(1)所示的噻吩并三唑并二氮杂萘,其剂量选自由如下剂量组成的组:约1mg、约2mg、约2.5mg、约3mg、约4mg、约5mg、约7.5mg、约10mg、约15mg、约20mg、约25mg、约30mg、约35mg、约40mg、约45mg、约50mg、约55mg、约60mg、约65mg、约70mg、约75mg、约80mg、约85mg、约90mg、约95mg、约100mg、约110mg、约120mg、约130mg、约140mg和约150mg;其剂型选自由以下组成的组:每周一次、每六天一次、每五天一次、每四天一次、每三天一次、每隔一天一次、每天一次、每天两次、每天三次、每天四次、每天五次。在另一个实施方案中,任意前述剂量或剂型可以定期减少或增加。

[0215] 在一个实施方案中,本发明的药物组合物包括向有需要的受试者施用选自由以下化合物构成的组中的噻吩并三唑并二氮杂萘;化合物(1-1)、(1-2)、(1-3)、(1-4)、(1-5)、(1-6)、(1-7)、(1-8)、(1-9)、(1-10)、(1-11)、(1-12)、(1-13)、(1-14)、(1-15)、(1-16)、(1-17)和(1-18);所述噻吩并三唑并二氮杂萘的施用剂量选自由以下剂量构成的组:约1mg、约2mg、约2.5mg、约3mg、约4mg、约5mg、约7.5mg、约10mg、约15mg、约20mg、约25mg、约30mg、约35mg、约40mg、约45mg、约50mg、约55mg、约60mg、约65mg、约70mg、约75mg、约80mg、约85mg、约90mg、约95mg、约100mg、约110mg、约120mg、约130mg、约140mg和约150mg;其剂型选自由以下组成的组:每周一次、每六天一次、每五天一次、每四天一次、每三天一次、每隔一天一次、每天一次、每天两次、每天三次、每天四次以及每天五次。在另一个实施方案中,任意前述剂量或剂型可以定期减少或增加。

[0216] 根据特定的治疗目的、治疗阶段等,所述单位剂型适合每日给药1至5次。在一个实施方案中,有需要的受试者可以至少连续两天每日至少1次施用该剂型。在一个实施方案中,有需要的受试者可以至少隔日并每日至少1次施用该剂型。在一个实施方案中,有需要的受试者可以至少每周施用该剂型,并且将该剂型分成相等的和/或不等的剂量。在一个实施方案中,有需要的受试者可以每周施用该剂型,每隔3天和/或每周6次施用。在一个实施方案中,有需要的受试者可以每隔1天、每3天、每4天、每5天、每6天和/或每周以分剂量施用该剂型。在一个实施方案中,有需要的受试者可以每个月服用该剂型的2个或多个等分剂量或非等分剂量。

[0217] 可以使用例如肠溶包衣来包裹所用的剂型(例如胶囊、片剂、小型片剂、珠、微囊剂、丸剂、小颗粒、粒剂或粉末)。合适的包衣可以包括但不限于邻苯二甲酸乙纤维素、羟丙基甲基纤维素(HPMC)、羟丙基甲基纤维素邻苯二甲酸酯、聚甲基丙烯酸共聚物、或醋酸羟丙基甲基纤维素琥珀酸酯(HPMCAS)。

[0218] VII. 工艺:

[0219] 本发明所公开的噻吩并三唑并二氮杂^{1,2,4}三唑化合物可以以游离碱或酸加成盐的形式存在,其可以根据美国专利申请公开No.2010/0286127(其全部内容以引用方式并入本文或本申请中)中所述的工序来获得。本发明的噻吩并三唑并二氮杂^{1,2,4}三唑化合物的各对映异构体和非对映异构体可以由包含不对称中心或立体异构中心的市售可得的起始材料以合成方式制备,或者通过制备外消旋的混合物、然后通过本领域普通技术人员公知的拆分方法来制备。这些拆分方法例如有:(1)使对映异构体的混合物附着在手性助剂上,通过重结晶或色谱法分离所得的非对映异构体的混合物,并从助剂上释放光学纯产物;(2)使用光学活性拆分剂形成盐;(3)在手性液相色谱柱上直接分离光学对映异构体的混合物;或者(4)使用立体选择性化学试剂或酶试剂进行动力学拆分。此外,外消旋的混合物还可以通过公知的方法(例如手性相色谱法或使化合物在手性溶剂中结晶)而拆分成它们的构成成分的对映异构体。

[0220] 如果需要,本发明所公开的噻吩并三唑并二氮杂^{1,2,4}三唑化合物的特定对映异构体可以通过不对称合成或者通过使用手性助剂诱导来制备,其中所得的非对映异构体的混合物被分离并且辅助基团被切割,从而提供所需的纯的对映异构体。可选地,在所述分子包含碱性官能团(例如氨基)或酸性官能团(例如羧基)的情况下,非对映异构体的盐是通过以下过程形成的:使用合适的光学活性的酸或碱,然后对非对映异构体(通过本领域公知的分级结晶或色谱手段而由此形成)进行拆分,并在随后回收纯的对映异构体。可使用本领域公知的多种方法来制备式(1)的噻吩并三唑并二氮杂^{1,2,4}三唑化合物,其中对映异构体的过量百分比通常超过约80%。有利的是,优选的对映异构体的过量百分比大于80%,优选大于90%,更优选大于95%,并且最优选为99%以上。

[0221] 本发明的固体分散体可以通过多种方法来制备,包括熔融和溶剂蒸发方法。本发明的固体分散体还可以根据如下文中所描述的工序制备:Chiou WL,Riegelman S:“Pharmaceutical applications of solid dispersion systems”,J.Pharm.Sci.1971;60:1281-1302;Serajuddin ATM:“Solid dispersion of poorly water-soluble drugs: early promises,subsequent problems,and recent breakthroughs”,J.Pharm.Sci.1999;88:1058-1066;Leuner C,Dressman J:“Improving drug solubility for oral delivery using solid dispersions”,Eur.J.Pharm.Biopharm.2000;50:47-60;以及Vasconcelos T,Sarmiento B,Costa P:“Solid dispersions as strategy to improve oral bioavailability of poor water soluble drugs”,Drug Discovery Today 2007;12:1068-1075,所有这些文献均以引用的方式将其全文并入本文中。

[0222] 在一个实施方案中,本发明的固体分散体是通过熔融工艺制备的。在一个实施方案中,熔融工艺包括在载体中将式(1)的噻吩并三唑并二氮杂^{1,2,4}三唑的多个实施方案的一个或多个熔融。在一个实施方案中,熔融工艺包括使本发明的熔融化合物和载体冷却。在一个实

施方案中,熔融工艺包括将熔融的化合物和载体粉碎。在一个实施方案中,在冷却步骤之后将本发明的熔融的化合物和载体粉碎。

[0223] 在一些实施方案中,式(1)的噻吩并三唑并二氮杂 䟽 或者其药学可接受的盐、溶剂化物(包括水合物)、外消旋物、对映异构体、异构体或同位素标记的形式与载体间不相容,在这种情况下,可以在熔融步骤中加入表面活性剂,从而防止在加热的混合物中形成两个液相或悬液。在一些实施方案中,式(1)的噻吩并三唑并二氮杂 䟽 的多个实施方案中的一个或多个实施方案悬浮于之前熔融的载体中,而并未使用熔融状态的药品和载体,由此降低了工艺的温度。在一个实施方案中,在冰浴搅拌下使熔融的药品和载体的混合物冷却。在一个实施方案中,通过喷雾冷却(可选的通过喷雾冷凝)使熔融的药品和载体混合物冷却并固化。

[0224] 在一个实施方案中,通过将熔融物喷雾至冷却室(使环境温度或冷却温度的低温空气通过该冷却室)中以将熔融物形成颗粒,从而使熔融的药品和载体的混合物冷却或固化。在一个实施方案中,通过在合适的流化床处理器中使熔融分散体雾化和再固化,从而使熔融的药品和载体混合物冷却和固化。在一个实施方案中,通过在可加热的高剪切混合器中进行熔融制粒,从而使熔融的药品和载体的混合物冷却并固化。

[0225] 在一些实施方案中,可以采用热阶段挤出(hot-stage extrusion)或熔融团聚物来避免药物的熔融局限。热阶段挤出包括如下过程:在熔融温度下将预先混合的药品和载体以高转速在短时间内挤出;在室温下冷却后收集所得的产物并研磨。

[0226] 在一个实施方案中,将式(1)的噻吩并三唑并二氮杂 䟽 的多个实施方案中的一个或多个实施方案在较低的温度下加工,从而避免任何热不稳定的化合物发生降解。在一个实施方案中,通过将热阶段挤出与暂时性增塑剂(例如二氧化碳)结合而实现较低的处理温度。在一个实施方案中,在根据本发明的固体分散体的制备中,在常规的高剪切混合器或旋转处理器中使用了熔融团聚物。在一个实施方案中,通过将包含根据本发明的噻吩并三唑并二氮杂 䟽 化合物的熔融载体加入至加热的赋形剂中,从而制备根据本发明的固体分散体。在一个实施方案中,通过将包含根据本发明的噻吩并三唑并二氮杂 䟽 化合物、载体和一种或多种赋形剂的混合物加热至载体的熔融范围内或以上的温度,从而制备根据本发明的固体分散体。

[0227] 在一些实施方案中,通过溶剂蒸发方法来制备根据式(1)的噻吩并三唑并二氮杂 䟽 的制剂的多个实施方案中的一个或多个实施方案。在一个实施方案中,溶剂蒸发方法包括使根据式(1)的噻吩并三唑并二氮杂 䟽 和载体溶解于挥发性溶剂中,然后使挥发性溶剂蒸发。在一个实施方案中,挥发性溶剂可以为一种或多种赋形剂。在一个实施方案中,一种或多种赋形剂包括但不限于抗粘剂、惰性填料、表面润湿剂、pH调节剂和添加剂。在一个实施方案中,赋形剂可以溶解于挥发性溶剂中,或者在挥发性溶剂中呈悬浮或膨胀状态。

[0228] 在一个实施方案中,根据本发明的固体分散体的制备包括使悬浮于挥发性溶剂中的一种或多种赋形剂干燥。在一个实施方案中,所述的干燥包括真空干燥、使挥发性溶剂在低温下缓慢蒸发、使用旋转蒸发器、喷雾干燥、喷雾制粒、冷冻干燥或使用超临界流体。

[0229] 在一个实施方案中,使用了喷雾干燥制备根据式(1)的噻吩并三唑并二氮杂 䟽 组

合物的制剂,其包括使所述的组合物的悬液或溶液雾化成小滴,然后快速除去制剂中的溶剂。在一个实施方案中,根据本发明的制剂的制备涉及喷雾制粒,其中将位于溶液中的组合物的溶液或悬液喷雾至合适的化学惰性和/或物理惰性填料上,例如乳糖或甘露醇。在一个实施方案中,通过双通或三通喷嘴对所述的组合物的溶液或悬液进行喷雾制粒。

[0230] 在一些实施方案中,根据本发明的固体分散体的制备包括使用超临界流体。术语“超临界流体”是指在临界温度和临界压力以上以单一液相存在的物质。在一个实施方案中,根据本发明的制剂的制备包括使用超临界二氧化碳流体。在一个实施方案中,利用超临界流体技术制备根据本发明的制剂,其包括:将根据式(1)的噻吩并三唑并二氮杂萘组合物和载体溶解于常见溶剂中,该溶剂通过喷嘴与二氧化碳同时被引入至颗粒形成容器中;以及将所述溶液喷雾,从而使溶剂被超临界流体快速萃取,由此使得固体分散体颗粒沉淀在容器的壁上。

[0231] 在一些实施方案中,根据本发明的固体分散体的制备包括使用共沉淀方法。在一个实施方案中,在持续搅拌下将非溶剂滴加至根据式(1)的噻吩并三唑并二氮杂萘组合物和载体溶液中。在一个实施方案中,在添加非溶剂的过程中,使根据式(1)的噻吩并三唑并二氮杂萘组合物和载体进行共沉淀,从而形成微颗粒。在一个实施方案中,过滤并干燥所得的微颗粒,从而提供所需的固体分散体。

[0232] 对于式(1)的化合物与聚合物载体(一种或多种)的混合比例没有特别限定,只要其可以改善式(1)的化合物的生物利用率即可,并且该比例根据聚合物的种类而改变。

[0233] 通过以下非限定性实施例来说明本发明。

[0234] VIII. 例子:

[0235] 通过以下非限定性实施例来说明本发明。

[0236] 实施例1:化合物(1-1)的固体分散体的体外筛选

[0237] 使用化合物(1-1)以及五种聚合物中的一种来制备十种固体分散体,其中所述聚合物包括醋酸羟丙基甲基纤维素琥珀酸酯(HPMCAS-M)、羟丙基甲基纤维素邻苯二甲酸酯(HPMCP-HP55)、聚乙烯吡咯烷酮(PVP)、PVP-乙酸乙烯酯(PVP-VA)和Eudragit L100-55,并且对于每种聚合物,化合物(1-1)的负载率为25%和50%。使用喷雾干燥,然后在低温对流烘箱中进行二次干燥,从而通过溶剂蒸发法来制备固体分散体。通过非沉降溶解性能测试(non-sink dissolution performance test)来评估各固体分散体的性能,所述测试测量药物的总量和随着时间溶液中所存在的游离药物的量。选择非沉降溶解是由于其能够最好地代表低溶解度化合物在体内的情况。该测试包括在分散体被引入至测试介质后约30分钟至40分钟,分散体由胃pH(0.1N NaCl, pH 1.0)至肠pH(FaFSSIF, pH 6.5)的“胃转移”,从而模拟了体内的情况。[FaFSSIF为禁食状态的人工肠液,其由3mM的牛黄胆酸钠、0.75mM的卵磷脂、0.174g NaOH颗粒、1.977g NaH₂PO₄·H₂O、3.093g NaCl和适量纯净水500mL组成]。使用高效液相色谱(HPLC)法和Agilent 1100串联HPLC来定量溶解药物的量。制剂的溶解情况(图1A-1J)表明:相对于在相同介质中的未经配制的化合物而言,在所有的分散体候选物中,药物的溶解度均大幅升高。在所有的固体分散体中,基于在肠pH下释放的游离药物的水平较高这一发现可知,与未经配制的化合物相比,25%化合物(1-1)在PVP中的分散体、25%化合物(1-1)在HPMCAS-M中的分散体、以及50%化合物(1-1)在HPMCAS-M中的分散体提供了

增强的经口吸收。

[0238] 实施例2: 化合物(1-1)的固体分散体的体内筛选

[0239] 以更大的规模制备化合物(1-1)的固体分散体,即25%化合物(1-1)在PVP中的分散体、25%化合物(1-1)在HPMCAS-MG中的分散体、以及50%化合物(1-1)在HPMCAS-M中的分散体,以用于体内研究。各制剂均经过了实施例1所述的体外溶解测试的评估。为了确保这些分散体是无定形且均质的,通过X射线粉末衍射法(PXRD)和修正的差示扫描量热法(mDSC)来评估各分散体。X射线衍射计为Bruker D-2Phaser。另外,为了了解水对各种分散体的玻璃化转变温度(Tg)的影响,对首先在设定的相对湿度(即,25%、50%和75%RH)下平衡至少18小时的样品进行mDSC。[水可以用作固体分散体的增塑剂,并且由活性化合物或聚合物导致的体系的吸湿性可以影响被这些体系吸收的水的量]。

[0240] 非沉降溶解结果(图2A-2C)与实施例1中分散体的结果相当。PXRD结果(图3)显示没有证据表明任意一种分散体中存在结晶化合物,并且mDSC结果(图4A-4C)显示各分散体均存在单一的玻璃化转变温度(Tg),这表明各分散体是均匀的。对于各分散体,观察到Tg与相对湿度之间逆相关(图5)。值得注意的是,对于在75%RH下平衡的25%化合物(1-1)在PVP中的固体分散体,出现了两个Tg,这表明发生了相分离,并且该分散体还显示出在75%RH下发生了熔化,这表明在RH平衡过程中发生了结晶(图6)。该发现表明25%化合物(1-1)在PVP中的分散体的稳定性弱于HPMCAS-M分散体。

[0241] 为了评估这三种分散体的生物利用度,向多组雄性猎兔犬(每组3只)给予剂量为3mg/kg的化合物(1-1)的固体分散体的水性悬液(通过口服填喂法给药),或者给予剂量为3mg/kg的溶解于水:乙醇:聚乙二醇(PEG)400(60:20:20)中的化合物(1-1)(并以静脉推注给药至头静脉中)。在静脉给药后的0分钟(服药之前)、5分钟、15分钟和30分钟、和1小时、2小时、4小时、8小时、12小时和24小时,以及在口服填喂给药后的0分钟(服药之前)、15分钟和30分钟、和1小时、2小时、4小时、8小时、12小时和24小时由各动物的颈静脉收集血液样品。使用合格的LC-MS/MS法检测各样品中存在的化合物(1-1)的量,并且量化下限为0.5ng/mL。通过使用线性梯形法则(直至最终可测的浓度,而未将终末消除相外推至无穷大)来测定血浆浓度-时间曲线的曲线下面积(AUC)。通过对对数浓度-时间曲线的终末线性部分进行最小二乘回归分析来计算消除半衰期($t_{1/2}$)。由血浆浓度数据直接得到最大血浆浓度(C_{max})和达到 C_{max} 的时间(t_{max})。通过用口服给药后的剂量归一化的AUC除以静脉给药后的剂量归一化的AUC来计算口服生物利用度(F),并以百分数(%)形式报告。下表1中总结的结果给出了25%化合物(1-1)在PVP中的固体分散体、25%化合物(1-1)在HPMCAS-M中的固体分散体和50%化合物(1-1)在HPMCAS-M中的固体分散体的平均口服生物利用度,分别为58%、49%和74%。

[0242] 表1:狗口服(po)和静脉(iv)给药后的化合物(1-1)的药物动力学参数(数值为3只狗的平均值)

[0243]

化合物(1-1)的制剂	剂量和途径	C _{max} (ng/L)	t _{max} (hr)	AUC (ng•min/mL)	t _{1/2} (hr)	F (%)
水:乙醇:PEG400 (60:20:20)中的溶液	1 mg/kg IV	769	0.083	53,312	1.5	----
25%化合物(1-1)/PVP 固 体分散体的水性悬液	3 mg/kg PO	487	1.0	93,271	1.6	58
25%化合物 (1-1)/HPMCAS-M 固体 分散体的水性悬液	3 mg/kg PO	228	0.5	78,595	2.0	49
50%化合物 (1-1)/HPMCAS-M 固体 分散体的水性悬液	3 mg/kg PO	371	1.0	118,174	1.5	74

[0244] AUC: 血浆浓度-时间曲线下的面积; C_{max}: 最大血浆浓度; F: 生物利用度; HPMCAS: 醋酸羟丙基甲基纤维素钠; IV: 静脉内; PEG: 聚乙二醇; PO: 经口, 口服; PVP: 聚乙烯吡咯烷酮; t_{max}: 达到C_{max}的时间; t_{1/2}: 血浆消除半衰期

[0245] 实施例3: 包含化合物(1-1)的固体分散体的胶囊的制备和临床应用

[0246] 制备10mg强度的明胶胶囊, 在患有恶性血液病的患者中进行初步的临床研究。基于实施例1和2中所述的化合物(1-1)的固体分散体的体外和体内测试结果, 选择50%化合物(1-1)在HPMCAS-M中的固体分散体用于胶囊的研发。以3号尺寸的硬明胶胶囊, 190mg的填充量为目标来开始胶囊的研发, 因为这样的构造可以通过填充更大尺寸的胶囊而潜在地增加胶囊的强度, 同时保持药物组合物。根据经验, 设计了4种胶囊制剂, 其中具有不同量的崩解剂并且具有或不具有润湿剂。由于所有4种制剂都显示出相似的崩解测试和溶解测试结果, 所以选择最简单的制剂(不具有润湿剂, 并具有最少量的崩解剂)用于制造。进行制造工艺的研发和规模扩大的研究, 以确定固体分散体的喷雾干燥工艺和干燥后的时间; 共混的参数; 为获得约0.60g/cc的目标堆密度的共混物的辊压和研磨; 以及胶囊填充的条件。

[0247] 将结晶化合物(1-1)和聚合物醋酸羟丙基甲基纤维素琥珀酸酯(HPMCAS-M)溶解于丙酮中, 并喷雾干燥, 从而生产包含50%化合物(1-1)载量的固体分散体中间体(SDI)颗粒。PXRD分析显示SDI是无定形的, mDSC分析显示SDI是均匀的(即在环境条件下具有单一的T_g)。在V型搅拌机的多个段中将50%化合物(1-1)在HPMCAS-M中的固体分散体(1000g)和赋形剂(包括微晶纤维素填料-粘结剂(4428g)、交联羧甲基纤维素钠崩解剂(636g)、胶体二氧化硅分散剂/润滑剂(156g)、硬脂酸镁分散剂/润滑剂(156g)和乳糖一水合物填料(5364g))共混。然后将混合物压制并制粒, 从而得到约0.6g/mL的堆密度。使用自动化的填充机将混合物分配至3号尺寸的硬明胶胶囊(目标填充量: 190mg)中, 并使用胶囊抛光机将制得的胶囊抛光。

[0248] 在口服给药10mg胶囊(包含50%化合物(1-1)在HPMCAS中的固体分散体)后进行药物动力学的评估, 并将结果与对健康志愿者口服给药4x10mg胶囊(具包含化合物(1-1)的Eudragit固体分散体)后进行的药物动力学评估加以对比。

[0249] 在下表2A和2B中提供了这两种药物组合物的比较。之前的Eudragit制剂在2009年1月8日公开的美国专利申请2009/0012064 A1中的实施例5中有所描述。该申请记载: 通过在水和乙醇的混合物中溶解和/或分散式(A)所示的噻吩并三唑并二氮杂萘和包裹用赋形剂(包含氨溶甲基丙烯酸酯共聚物B型(Eudragit RS)、甲基丙烯酸共聚物C型(Eudragit

L100-55)、滑石和硅酸铝镁)来制备Eudragit固体分散体制剂。然后,使用离心流化床制粒机将上述的非均匀混合物施加在微晶纤维素球(Nonpareil 101,Freund)上,从而生产分配至2号尺寸的羟丙基甲基纤维素胶囊中的颗粒。

[0250] 在这两个临床研究中,使用经验证的LC-MS/MS方法来测定化合物(1-1)的血液水平,并根据在胶囊给药后24小时内各时间点测量的化合物(1-1)的血浆浓度来进行药动力学分析。下表3中总结的结果显示,根据AUC(924*4/1140,由于给药剂量的差异而改变),HPMCAS-M固体分散体制剂在人的生物利用度比Eudragit固体分散体制剂高3倍以上。此外,根据观察到的 T_{max} ,HPMCAS制剂的吸收速度快于Eudragit制剂(T_{max} 为1小时vs 4-6小时)。HPMCAS-M固体分散体制剂的在系统暴露方面的明显改善是意料之外的。

[0251] 表2A:用于临床应用的化合物(1-1)的固体分散体胶囊

[0252] 包含化合物(1-1)的50%HPMCAS固体分散体的药物组合物:10mg强度,3号尺寸的硬明胶胶囊

[0253]

组分	功能	胶囊含量	
		mg	重量 %
式(II)所示的化合物	活性剂	10.0*	5.56
醋酸羟丙基甲基纤维素琥珀酸酯(HPMCAS-M)	固体分散体的载体	10.0	5.56
乳糖一水合物	填料	85.0	47.22
微晶纤维素	填料-粘结剂	70.0	38.89
交联羧甲基纤维素钠	崩解剂	10.0	5.56
胶体二氧化硅	分散剂/润滑剂	2.5	1.39
硬脂酸镁	分散剂/润滑剂		
	总计	190.0	100.0

[0254] 表2B:包含化合物(1-1)的Eudragit L100-55固体分散体的药物组合物:10mg强度,2号尺寸的硬明胶胶囊

[0255]

组分	功能	胶囊含量	
		mg	Wt %
化合物(1-1)	活性剂	10.0*	3.8
芯:			
微晶纤维素球(Nonpareil 101, Freund 公	媒介物	100.0	38.5

[0256]

司)			
化合物/聚合物层:			
氨溶甲基丙烯酸酯共聚物 B 型(NF, PhEur)(Eudragit RS, Evonik)	包衣剂	10.8	4.2
甲基丙烯酸共聚物 C 型(NF)/甲基丙烯酸-丙烯酸乙酯共聚物(1:1)A 型(PhEur) (Eudragit L100-55, Evonik)	包衣剂	25.2	9.7
滑石	包衣剂	88.2	33.9
硅酸铝镁(Neuslin, Fuji Chemical)	包衣剂	20.0	7.7
柠檬酸三乙酯	增塑剂	5.0	1.9
二氧化硅	流化剂	0.8	0.3
		260.0	100.0

[0257] *为无水形式

[0258] 表3:在将化合物(1-1)的固体分散体经口施用给人后的药物动力学参数

[0259]

化合物(1-1)制剂	# 患者	剂量和途径	C _{max} (ng/mL)	T _{max} (hr)	AUC _{0-24h} (ng·h/mL)
Eudragit 固体分散体制剂	7	40 mg PO	83	4 至 6	1140
50% HPMCAS-M 固体分散体制剂	7	10 mg PO	286	1	925

[0260] AUC_{0-24h}:24小时内OTX015血浆浓度对时间曲线下的面积[0261] C_{max}:最大血浆浓度

[0262] hr:小时

[0263] HPMCAS:醋酸羟内基甲基纤维素琥珀酸酯

[0264] mL:毫升

[0265] ng:纳克

[0266] PO:经口,口服

[0267] T_{max}:达到C_{max}的时间

[0268] 实施例4:在大鼠中的口服暴露

[0269] 在大鼠中测定化合物(1-1)的固体分散体的3种制剂的口服生物利用度。所选的3种分散体为25%化合物(1-1)在PVP中的分散体、25%化合物(1-1)在HPMCAS-MG中的分散体和50%化合物(1-1)在HPMCAS-MG中的分散体。在该研究中使用的动物为得自土尔库大学(芬兰)的中央动物实验室(Central Animal Laboratory)的无特定病体(SPF)的Hsd:Sprague Dawley大鼠。大鼠最初购自位于荷兰的Harlan。大鼠为雌性,并且为10周龄,12只大鼠用于该研究中。在聚碳酸酯Makrolon II笼中饲养动物(每个笼中3只),动物室温为21±3℃,动物室内的相对湿度为55±15%,并且动物室内照明为人工照明,而且为12小时明暗周期的循环(暗周期为18:00至06:00之间)。白杨木屑(Tapvei Oy, Estonia)用于垫料,

并且每周至少更换1次垫料。在对动物定量给药之前提供食物和水,但是在定量给药后最初的2个小时中移除食物和水。

[0270] 将预先计算的量的注射用无菌水加入至装有采用合适的量的分散体的容器中,获得化合物(1-1)的浓度为0.75mg/mL,由此制备包含25%化合物(1-1)在PVP中的分散体的口服定量给药溶液、包含25%化合物(1-1)在HPMCAS-MG中的分散体的口服定量给药溶液和包含50%化合物(1-1)在HPMCAS-MG中的分散体的口服定量给药溶液。在每次给药之前,将口服定量给药溶液进行涡旋混合20秒。用于静脉给药的定量给药溶液包含0.25mg/mL的化合物(1-1),该定量给药溶液是通过将5mg的化合物(1-1)溶解于这样的混合物中来制备的,所述混合物包含4mL的平均分子量为400Da的聚乙二醇(PEG400)、4mL的乙醇(96%纯度)和12mL的注射用无菌水。在加入水后的30分钟之内使用含有25%化合物(1-1)在PVP中的分散体的定量给药溶液。在加入水后的60分钟之内使用含有25%化合物(1-1)在HPMCAS-MG中的分散体的定量给药溶液和含有50%化合物(1-1)在HPMCAS-MG中的分散体的定量给药溶液。使用4mL/kg定量给药量,从而使化合物(1-1)的静脉给药的给药水平为1mg/kg,口服给药的给药水平为3mg/kg。定量给药方案在表4中给出。

[0271] 表4. 用于大鼠口服暴露研究的定量给药方案

大鼠	重量	剂量(mL)	测试项目	途径	
[0272]	1	236.5	0.95	化合物(1-1)	静脉
	2	221	0.88	化合物(1-1)	静脉
	3	237.5	0.95	化合物(1-1)	静脉
	4	255.5	1.02	25%化合物(1-1)在 PVP 中的分散体	口服
	5	224.2	0.90	25%化合物(1-1)在 PVP 中的分散体	口服
	6	219.2	0.88	25%化合物(1-1)在 PVP 中的分散体	口服
[0273]	7	251.6	1.01	25%化合物(1-1)在 HPMCAS-MG 中的分散体	口服
	8	240.4	0.96	25%化合物(1-1)在 HPMCAS-MG 中的分散体	口服
	9	238	0.95	25%化合物(1-1)在 HPMCAS-MG 中的分散体	口服
	10	226.6	0.91	50%化合物(1-1)在 HPMCAS-MG 中的分散体	口服
	11	228.4	0.91	50%化合物(1-1)在 HPMCAS-MG 中的分散体	口服
	12	228.5	0.91	50%化合物(1-1)在 HPMCAS-MG 中的分散体	口服

[0274] 在定量给药后的0.25小时、0.5小时、1小时、2小时、4小时、8小时、12小时和24小时的时间点,将约50 μ L的血液样品收集至包含5 μ L乙二胺四乙酸(EDTA)溶液的Eppendorf管中,并且每个样品都是在距所述时间点5分钟时间窗内收集的。由各样品获得20 μ L血浆并储存在干冰温度下以用于分析。使用经验证的液相色谱串联质谱(LC-MS/MS)法对各样品中化合物(1-1)的浓度进行分析,其定量下限为0.5ng/mL。

[0275] 使用Phoenix WinNonlin软件包(6.2.1版,Pharsight Corp公司,CA,USA),采用标

准的非房室模型方法来计算药物动力学参数。通过对对数浓度-时间曲线的终末线性部分进行最小二乘回归分析来计算消除半衰期 ($t_{1/2}$)。通过使用线性梯形法则直至最终可测的浓度,此后将终末消除相外推至无穷大来测定血浆浓度-时间曲线的曲线下面积 (AUC)。通过将药物浓度曲线外推至无穷大来计算平均保留时间 (MRT),其代表了化合物在房室或系统中保留的平均时间量。由血浆浓度数据直接得到最大血浆浓度 (C_{max}) 和达到 C_{max} 的时间 (t_{max})。通过用口服给药后的剂量归一化的AUC除以静脉给药后的剂量归一化的AUC来计算试验性口服生物利用度 (F),即 $F = (AUC(\text{口服}) / \text{剂量}(\text{口服})) / (AUC(\text{静脉}) / \text{剂量}(\text{静脉}))$,并以百分数 (%) 形式报告。

[0276] 药物动力学参数在表5中给出,血浆浓度对时间的图示于图7和8中。

[0277] 表5.口服和静脉给药后的化合物(1-1)的药物动力学参数。值为得自3只动物的平均值。

[0278]

化合物	参数	1 mg/kg 静脉	3 mg/kg 口服	F(%)
化合物(1-1) 水:乙醇:PEG 400 (60:20:20)	AUC (min*ng/ml) C_{max} (ng/ml) T_{max} (hr) $t_{1/2}$ (hr) 8.5 Cl/F (ml/min/kg) MRT (hr)	74698 730 0.25 8.5 13.4 7.4		
25% 化合物(1-1) 在 PVP 中的分散 体	AUC (min*ng/ml) C_{max} (ng/ml) T_{max} (hr) $t_{1/2}$ (hr) 8.5 Cl/F (ml/min/kg) MRT (hr)		39920 77.9 1 13.8 75.2 18.0	18
25% 化合物(1-1) 在 HPMCAS-MG 中的分散体	AUC (min*ng/ml) C_{max} (ng/ml) T_{max} (hr) $t_{1/2}$ (hr) 8.5 Cl/F (ml/min/kg) MRT (hr)		35306 48.3 0.5 11.0 85.0 17.1	16
50% 化合物(1-1) 在 HPMCAS-MG 中的分散体	AUC (min*ng/ml) C_{max} (ng/ml) T_{max} (hr) $t_{1/2}$ (hr) 8.5 Cl/F (ml/min/kg) MRT (hr)		40238 67.0 2 9.5 74.6 12.8	18

[0279] 实施例5.喷雾干燥分散体的制备

[0280] 使用五种所选的聚合物来制备化合物(1-1)的喷雾干燥的分散体,这5种聚合物为:HPMCAS-MG (Shin Etsu Chemical公司)、HPMCP-HP55 (Shin Etsu Chemical公司)、PVP (ISP,Ashland公司的部门)、PVP-VA (BASF公司)和Eudragit L100-55 (Evonik Industries AG)。使用每种聚合物以25%和50%制备所有的喷雾干燥溶液。除了PVP溶液以外,所有的溶液都是在丙酮中制备的,PVP溶液是在乙醇中制备的。对于各溶液而言,在10g溶剂中制备1.0g固体(聚合物和化合物(1-1))。使用具有1.5mm喷嘴的Büchi B-290,PE-024喷雾干燥器和Büchi B-295,P-002冷凝器将溶液喷雾干燥。将喷雾干燥器的喷嘴压力设定为80psi,目标出口温度设定为40℃,冷却器的温度设定至-20℃,泵速设定为100%,并且抽吸器设定为100%。在喷雾干燥后,收集固体分散体,并在低温对流烘箱中过夜干燥,从而除去残余的溶剂。

[0281] 实施例6:湿度和温度的稳定性

[0282]

表 6

测试	过程	接受标准	T=0 (初始)	T-1 月 (储存在 40°C/75%RH)	T-2 月 (储存在 40°C/75%RH)	T= 3 月 (储存在 40°C/75%RH)
外观	AM-0002	白色至灰白色粉末	测试日期/Ref: 09Aug2012/02-41-2 白色粉末	测试日期/Ref: 24Sep2012/02-41-59 白色粉末	测试日期/Ref: 24Oct2012/02-37-106 白色粉末	测试日期/Ref: 17Dec2012/02-37-119 白色粉末
效力 (HPLC)	AM-0028	45.0 - 55.0 wt%	测试日期/Ref: 25Jul2012/02-37-21 50.0	测试日期/Ref: 25Sep2012/02-4H10 49.4	测试日期/Ref: 24Oct2012/02-37-105 49.8	测试日期/Ref: 29Nov2012/02-34-107 49.2
单个相关物质 (HPLC)	AM-0029	报告结果	测试日期/Ref: 25Jul2012/02-34-49 RRT %面积 无可报告的相关物质	测试日期/Ref: 26Sep2012/02-41-64 RRT %面积 无可报告的相关物质	测试日期/Ref: 24Oct2012/02-37-105 RRT %面积 0.88 0.06 0.77 0.06	测试日期/Ref: 29Nov2012/02-34-107 RRT %面积 0.68 0.07 0.77 0.09
总体相关物质 (HPLC)	AM-0029	报告结果	测试日期/Ref: 25Jul2012/02-34-49 无可报告的相关物质	测试日期/Ref: 26Sep2012/02-41-64 无可报告的相关物质	测试日期/Ref: 24Oct2012/02-37-105 0.12%	测试日期/Ref: 29Nov2012/02-34-107 0.16%
含水量 (KF)	AM-0030 USP <921>	报告结果 (wt%)	测试日期/Ref: 02Aug2012/02-41-1 1.52	测试日期/Ref: 27Sep2012/02-37-99 2.53	测试日期/Ref: 25Oct2012/02-37-110 2.70	测试日期/Ref: 29Nov2012/02-37-116 3.43
X射线粉末衍射 (XRPD)	USP <941>	符合无定形形式	测试日期/Ref: 24Jul2012/02-24-131 符合无定形形式。参见图 9	测试日期/Ref: 01Oct2012/02-41-73 符合无定形形式。参见图 10	测试日期/Ref: 24Oct2012/02-37-107 符合无定形形式。参见图 11	测试日期/Ref: 17Dec2012/02-37-120 符合无定形形式。参见图 12
修正的差示扫描量热法 (mDSC)	USP <891> (n = 2 个重复)	报告单独的玻璃化转变温度 (T _g , °C)	测试日期/Ref: 24Jul2012/02-24-130 重复 1 = 134.30°C, 重复 2 = 134.23°C, 重复 3 = 135.28°C, 平均 = 134.60°C	测试日期/Ref: 26Sep2012/02-37-98 重复 1 = 134.65°C, 重复 2 = 134.43°C, 平均 = 134.54°C	测试日期/Ref: 24Oct2012/02-37-108 重复 1 = 135.35°C, 重复 2 = 134.93°C, 平均 = 135.14°C	测试日期/Ref: 17Dec2012/02-37-121 重复 1 = 134.36°C, 重复 2 = 137.16°C, 平均 = 135.76°C

[0283] 通过在高温下暴露于水分来评估化合物(1-1)在HPMCAS-MG中的喷雾干燥分散体的稳定性。通过在75%相对湿度和40°C下放置1、2和3个月,来测定作为相对湿度的函数的玻璃化转变温度(T_g)。在HDPE瓶中将喷雾干燥的分散体储存在LDPE袋内,从而模拟散装物品包装。结果总结于表6中。在时间0时,T_g为134°C,在1个月时T_g为134°C,在2个月时T_g为135°C,在3个月时T_g为134°C,并且在各测量中仅观测到单一的拐点。对每种样品还获得了X射线衍射图谱。图9示出了在稳定性测试的时间0时,化合物(1-1)在HPMCAS-MG中的固体分散体的X射线粉末衍射图谱。图10、11和12示出了分别在暴露于40°C和75%相对湿度1个月、2个月和3个月后,化合物(1-1)在HPMCAS-MG中的固体分散体的X射线粉末衍射图谱。图案未显示与化合物(1-1)有关的任何衍射线。

[0284] 本领域技术人员应该理解的是,在不脱离本发明的宽泛的发明构思的条件下可以对上文所示的并描述的示例性实施方案进行修改。因此,应该理解的是本发明不限于所示的并描述的示例性实施方案,其旨在涵盖在权利要求书所限定的本发明的精神和范围内的修改。例如,示例性实施方案的特定特征可以为所要求保护的发明的一部分或不是其一部分,并且所公开的实施方案的特征可以结合。除非本发明作出具体说明,术语“一个”、“一种”和“所述”不限于一个元素,而是应该理解为“至少一个”。

[0285] 应该理解的是,本发明的至少一些特征和描述被简化为集中于与清楚地理解本发明有关的元素,同时为了清晰起见,除去了本领域普通技术人员将理解的其他元素(也可以包含本发明的一部分)。但是由于此类元素是本领域公知的,并且由于它们不一定会更有利于更好地理解本发明,所以在本发明中未提供此类元素的描述。

[0286] 此外,所述的方法并非依赖于本发明列出的步骤的特定顺序,就此而言,步骤的特定顺序不应该解释为对权利要求的限定。涉及本发明的方法的权利要求不应该限于书写顺序的步骤的性能,并且本领域的技术人员可以容易理解这些步骤可以改变,并且仍然保持在本发明的精神和范围内。

25% 式(1-1)/EUDRAGIT L100-55 固体分散体

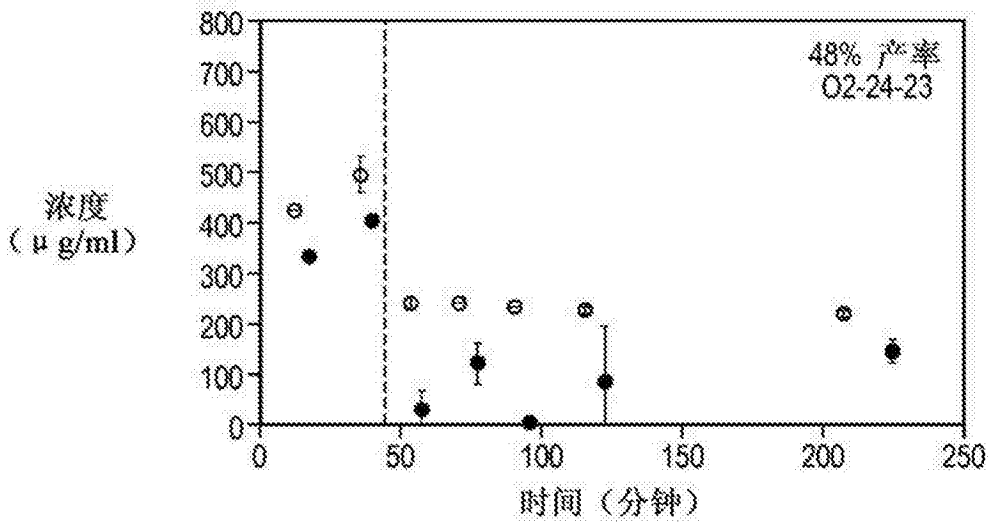


图1A

50% 式(1-1)/EUDRAGIT L100-55 固体分散体

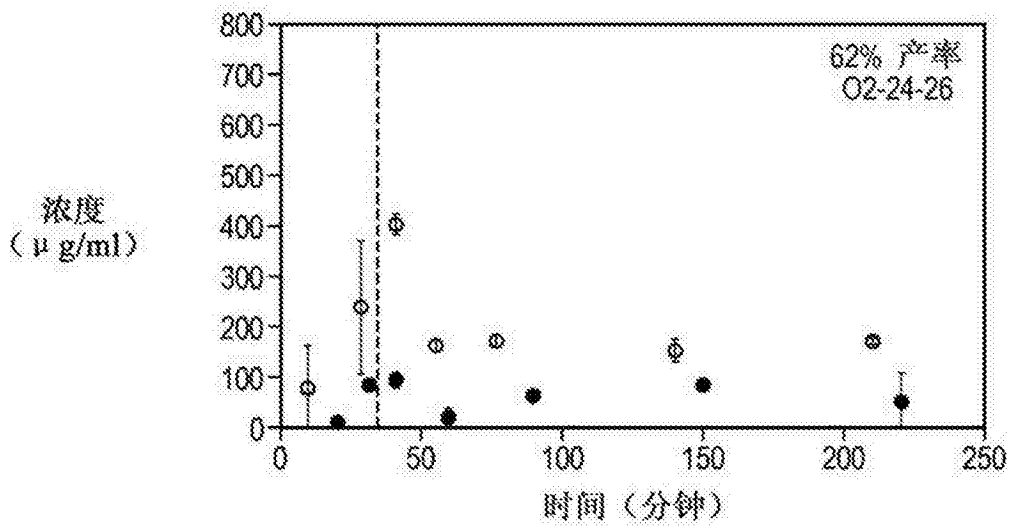


图1B

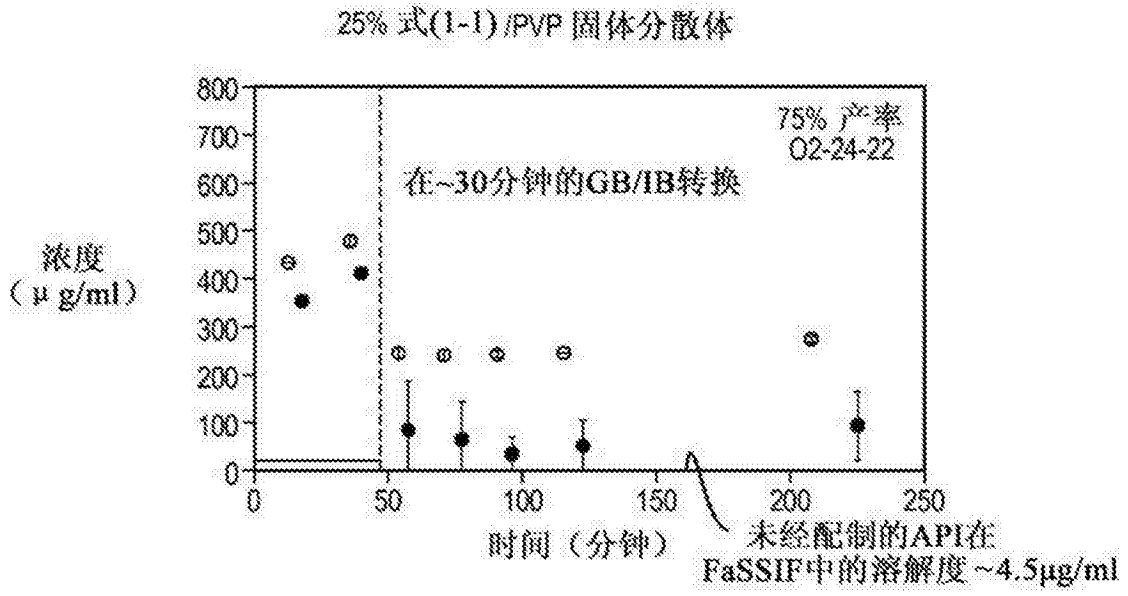


图1C

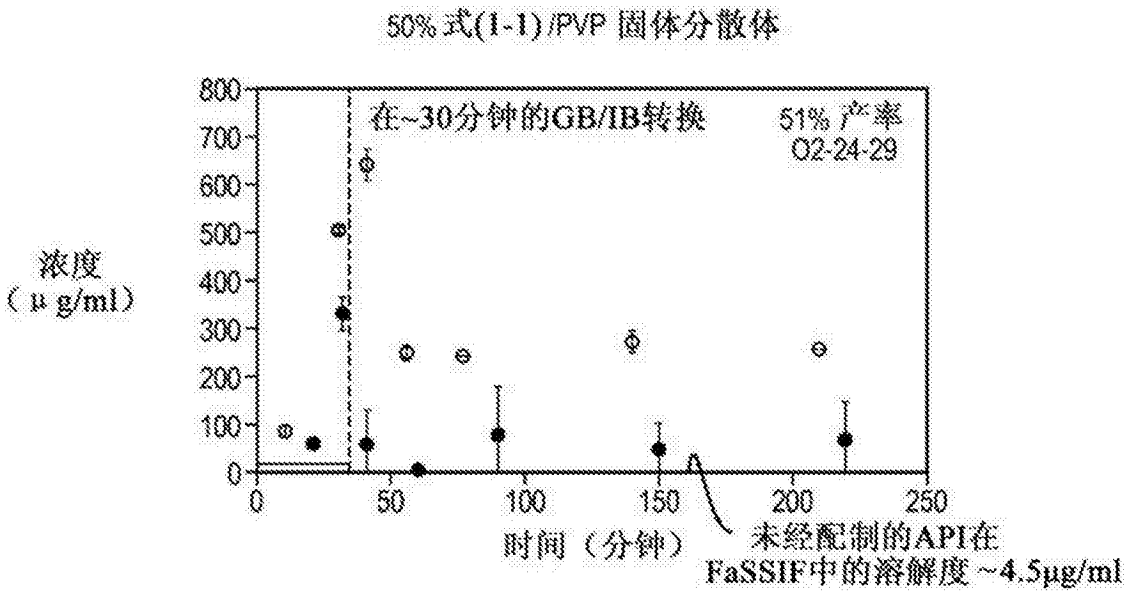


图1D

25% 式(1-1)/PVP-VA 固体分散体

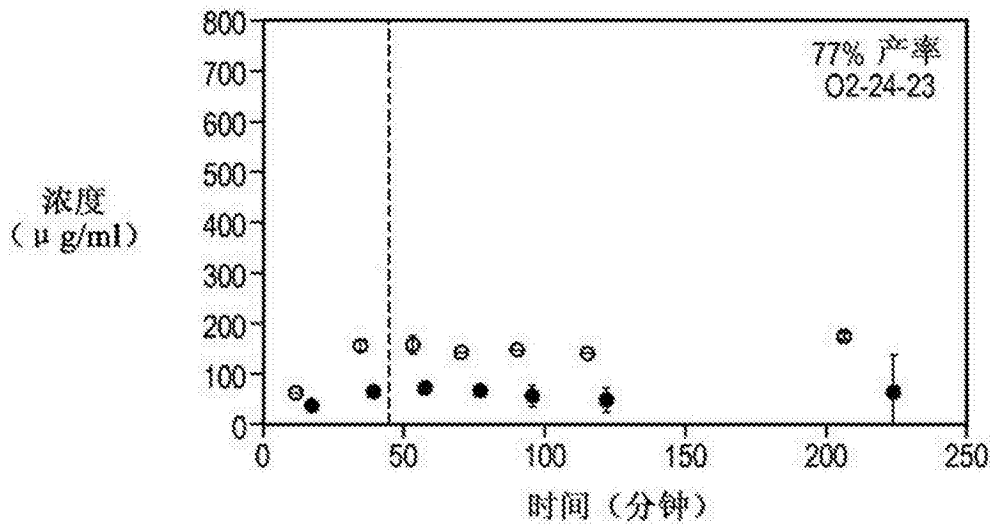


图1E

50% 式(1-1) /PVP-VA 固体分散体

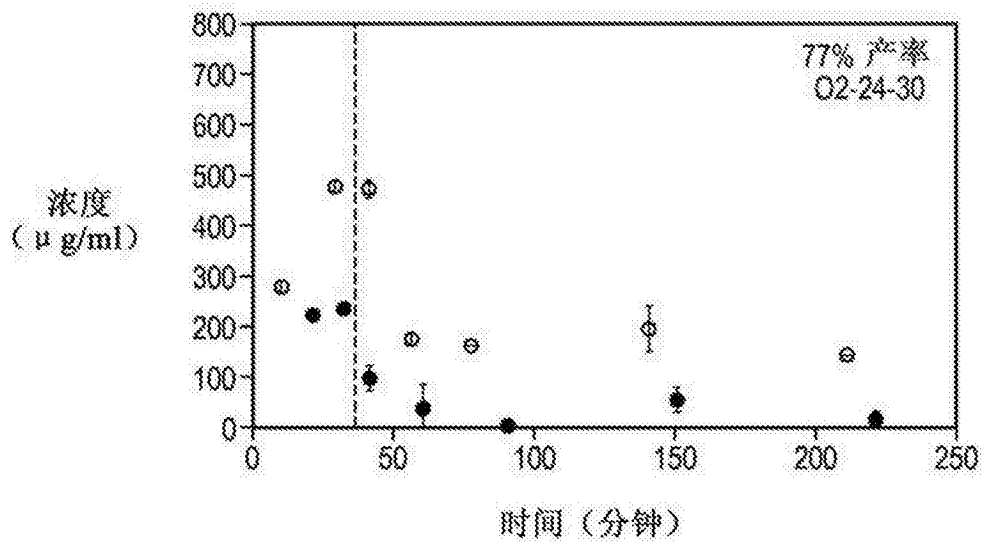


图1F

25% 式(1-1)/HPMCAS-M 固体分散体

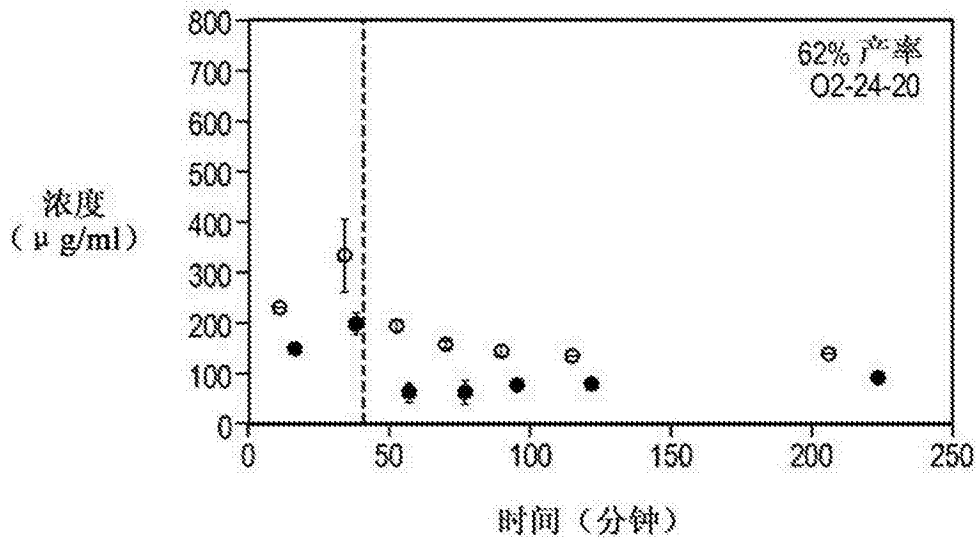


图1G

50% 式(1-1)/HPMCAS-M 固体分散体

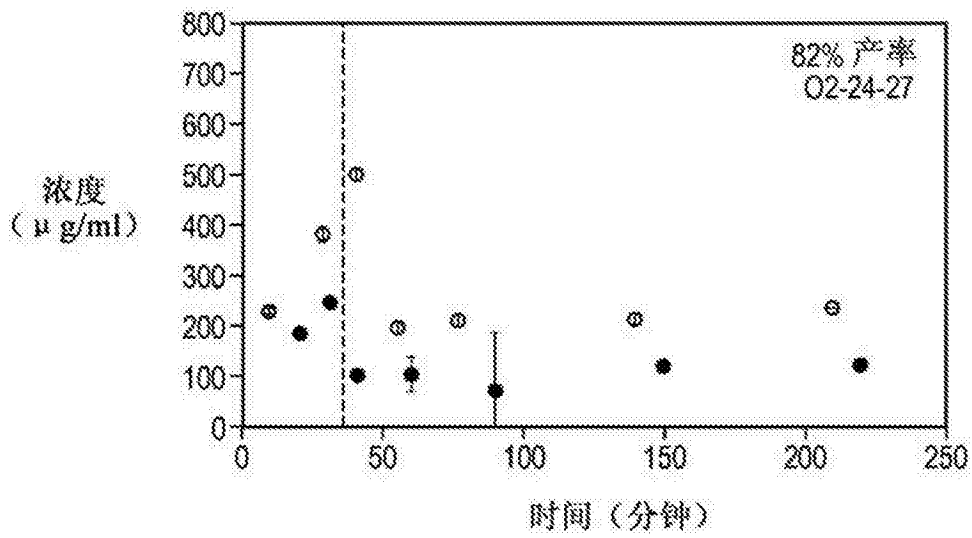


图1H

25% 式(1-1)/HPMCP-HP55 固体分散体

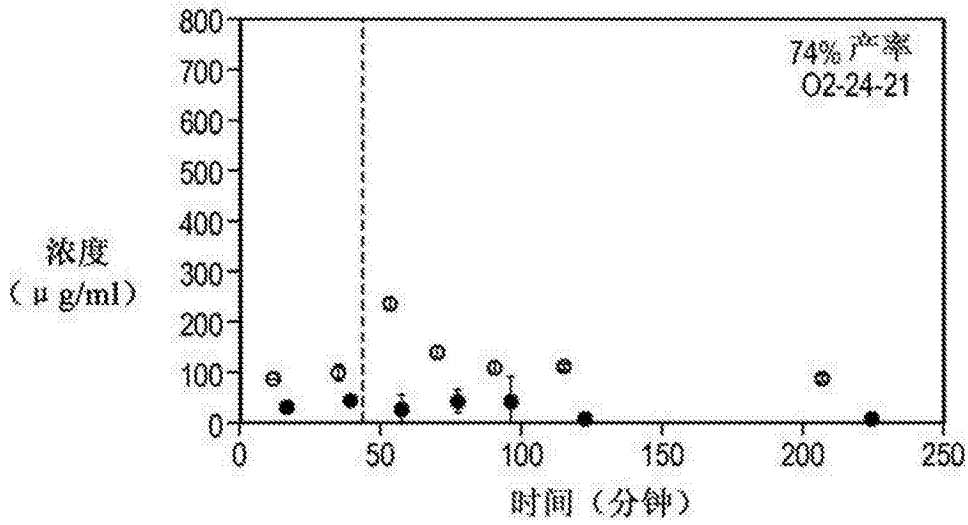


图1I

50% 式(1-1)/HPMCP-HP55 固体分散体

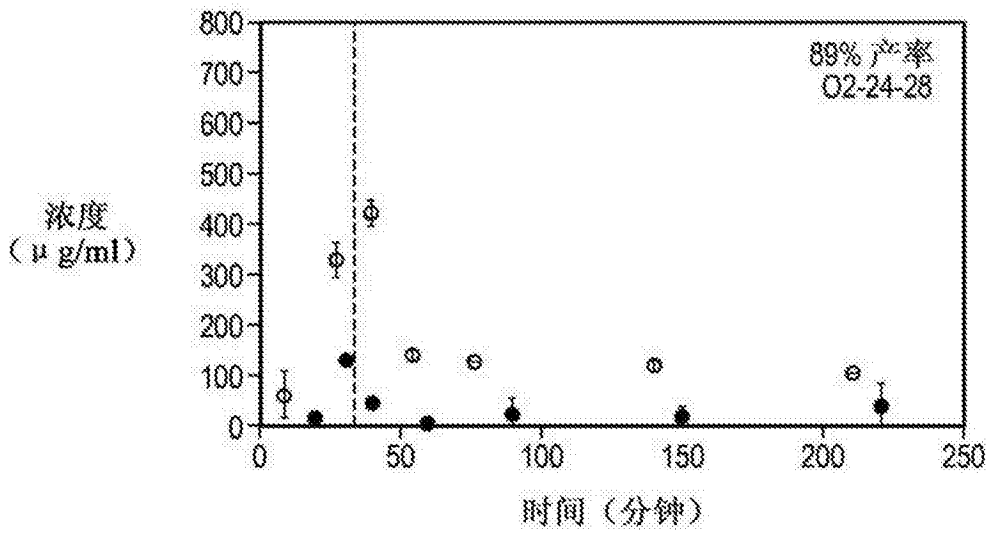


图1J

25% 式(1-1)/PVP 固体分散体

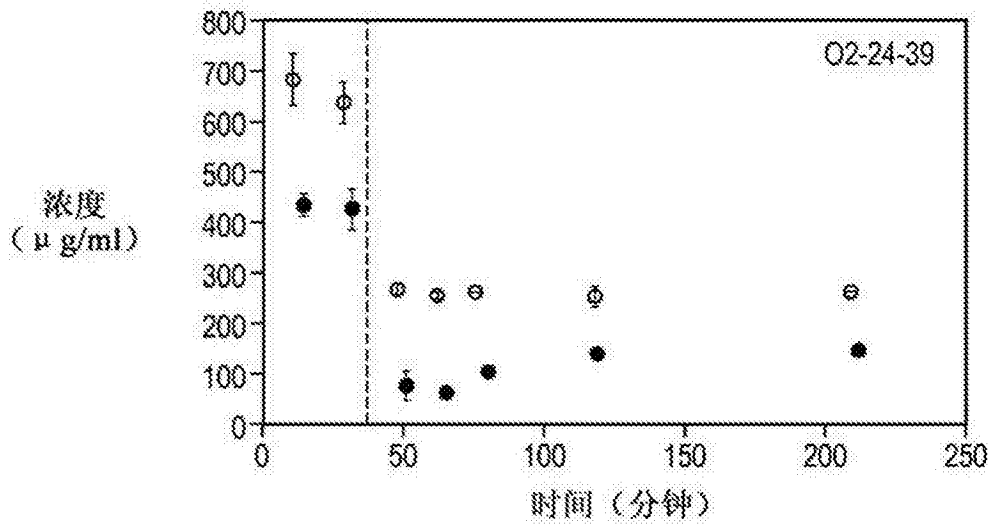


图2A

25% 式(1-1)/HMPCAD-M 固体分散体

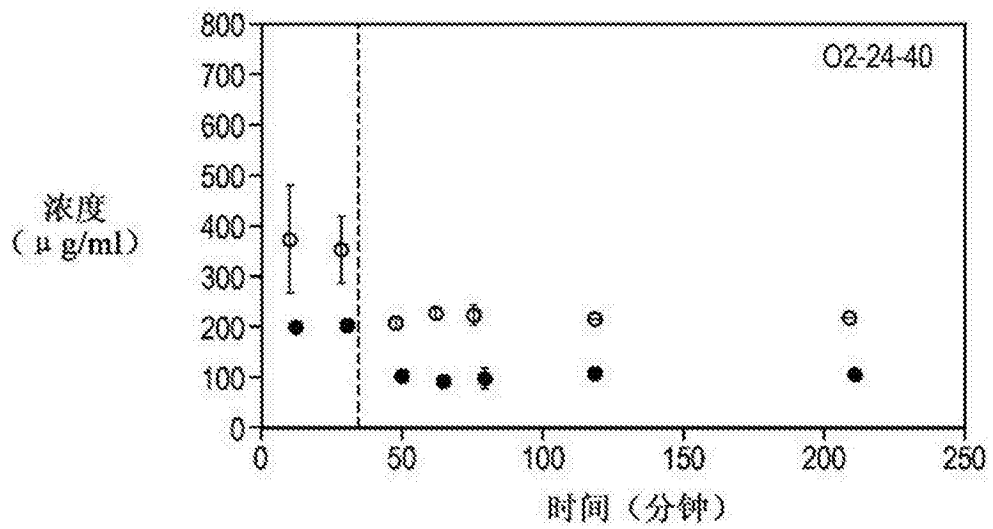


图2B

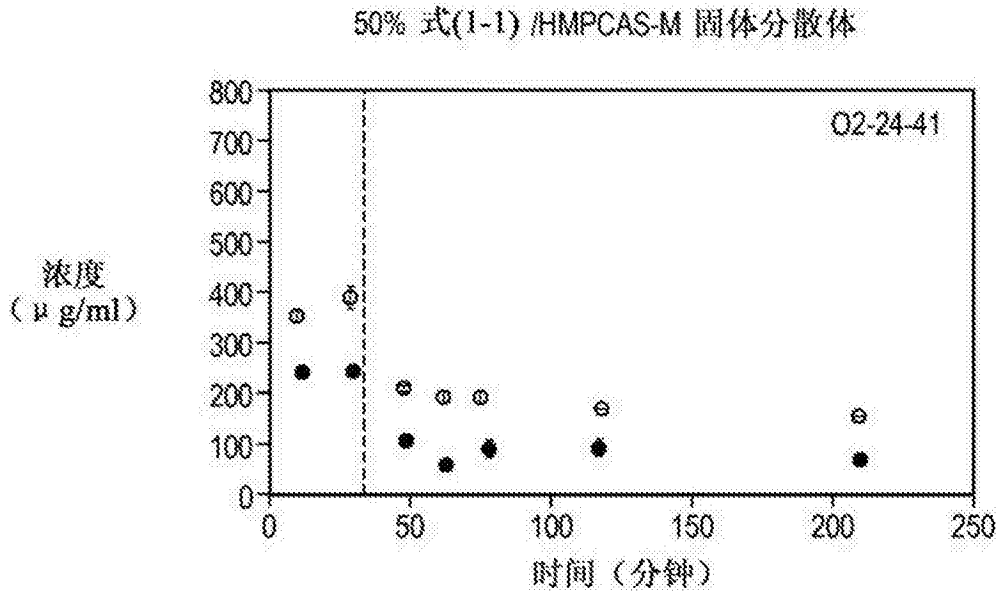


图2C

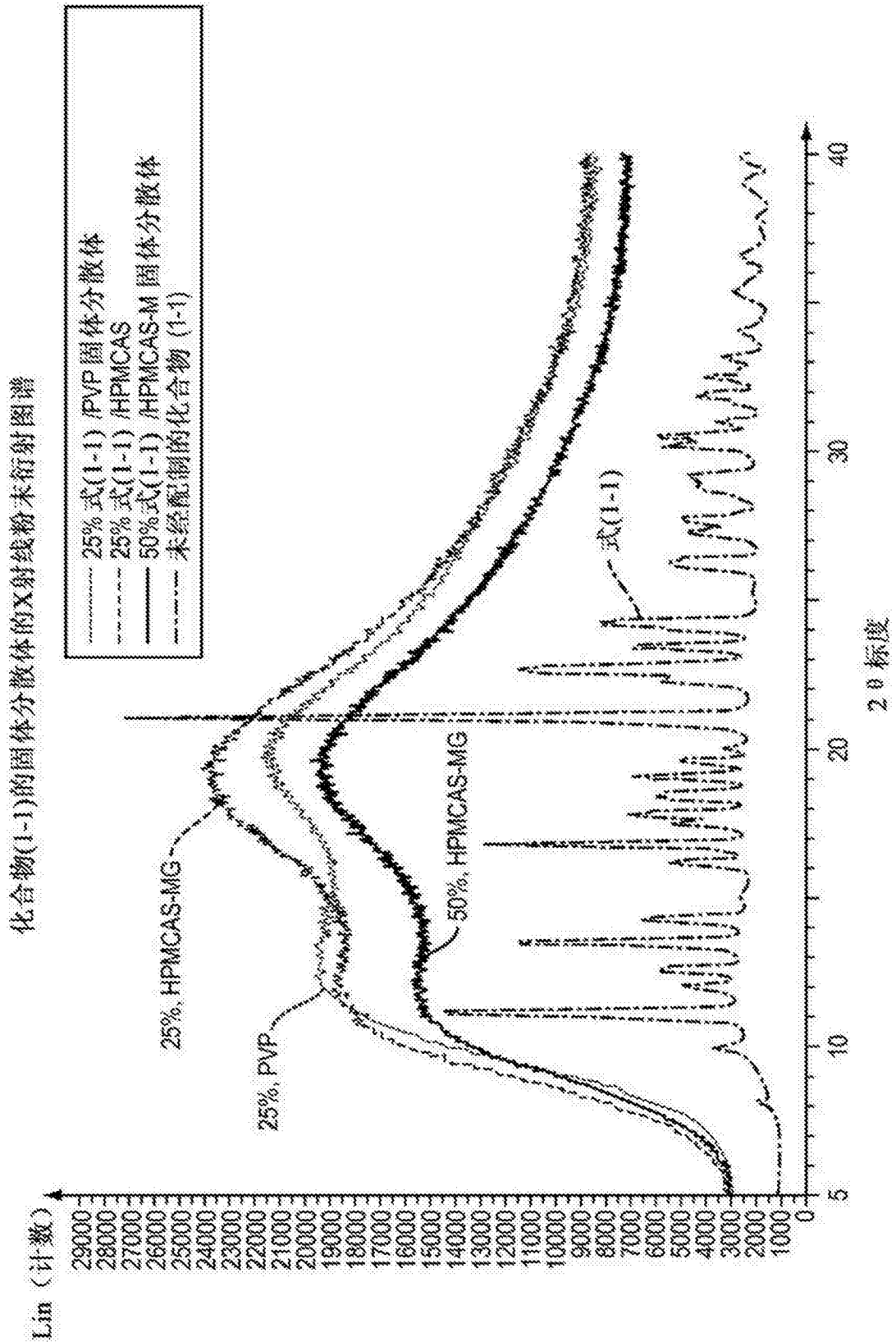


图3

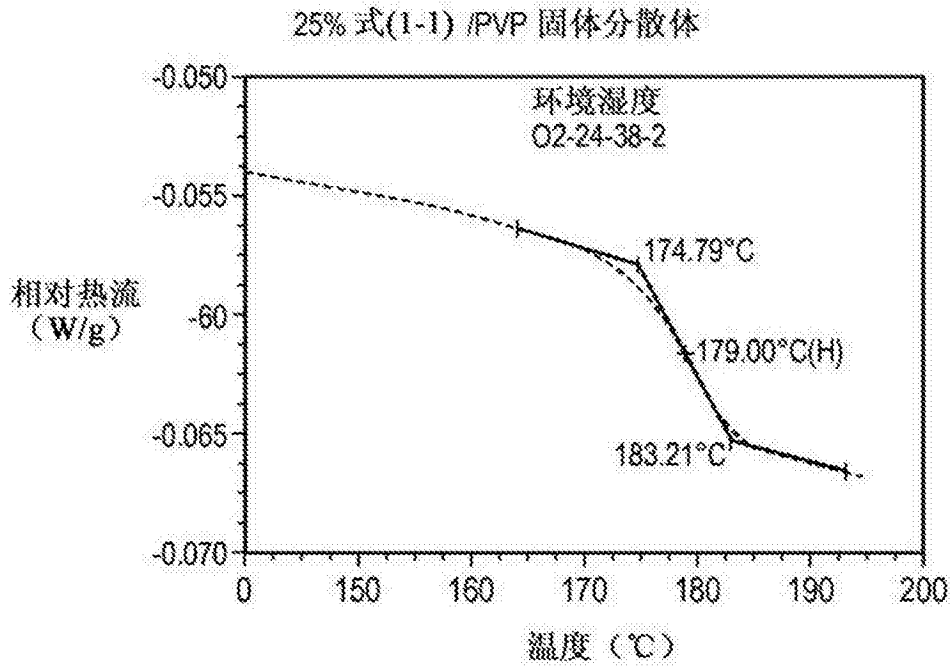


图4A

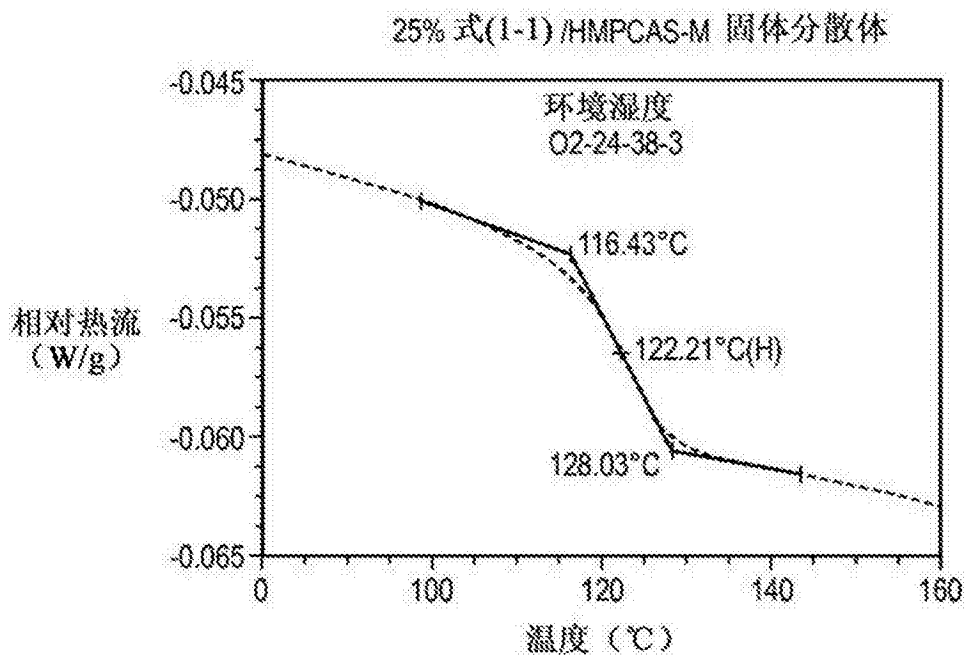


图4B

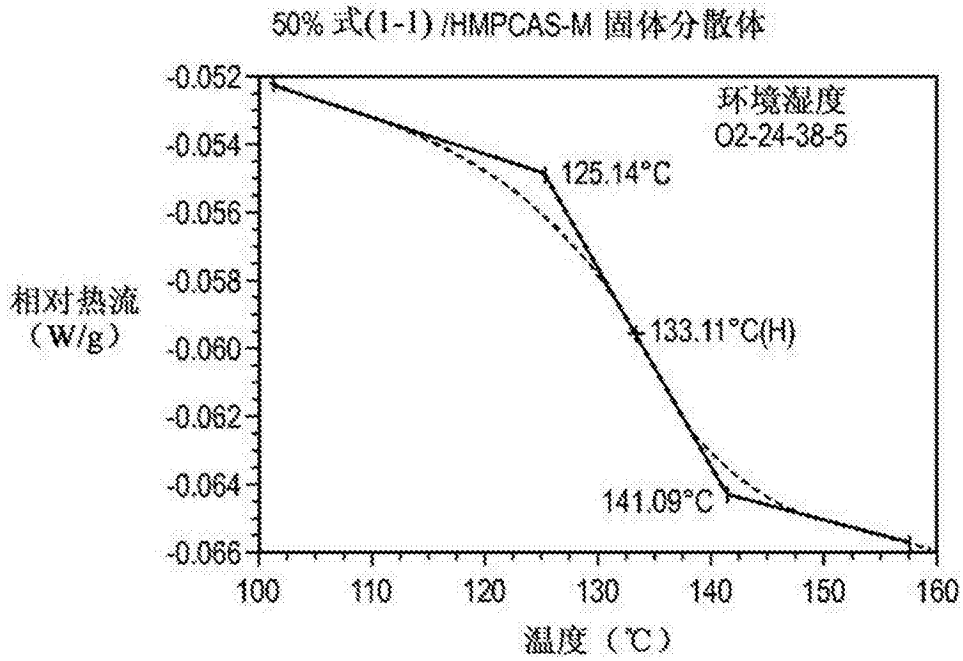


图4C

化合物(1-1)的固体分散体的玻璃化转变温度 (T_g)
对相对湿度 (RH) 的图

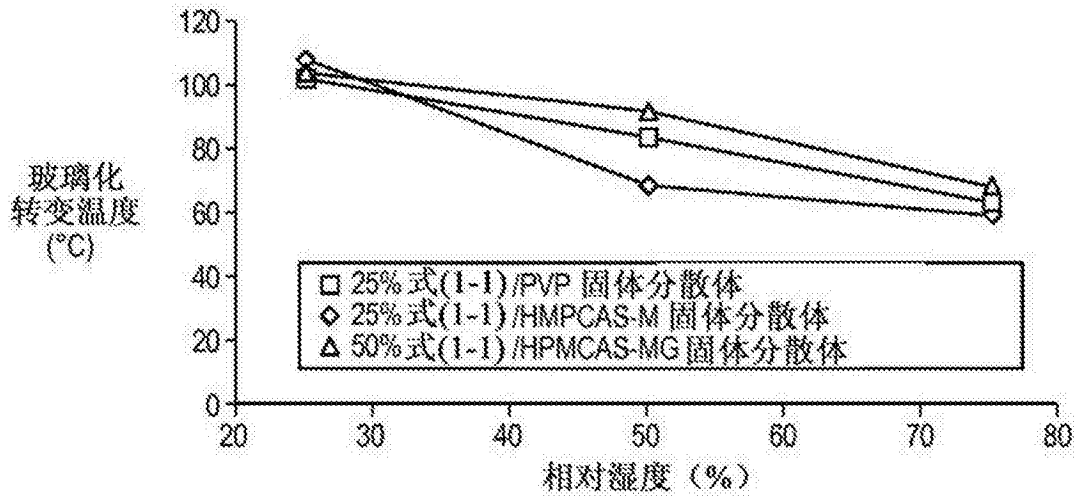


图5

在75%的相对湿度下平衡
的化合物(1-1)的25%式(1-1)/PVP固体分散体的修正的
差示扫描量热曲线

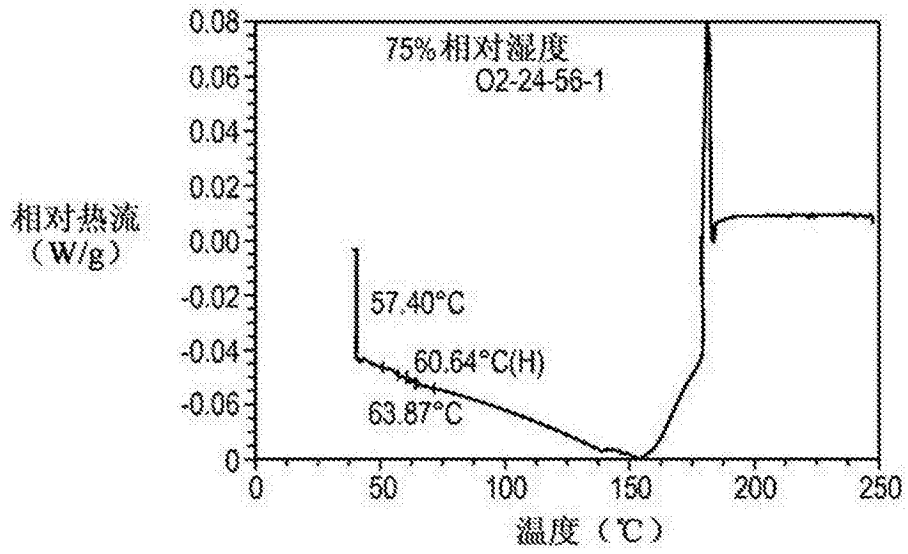


图6

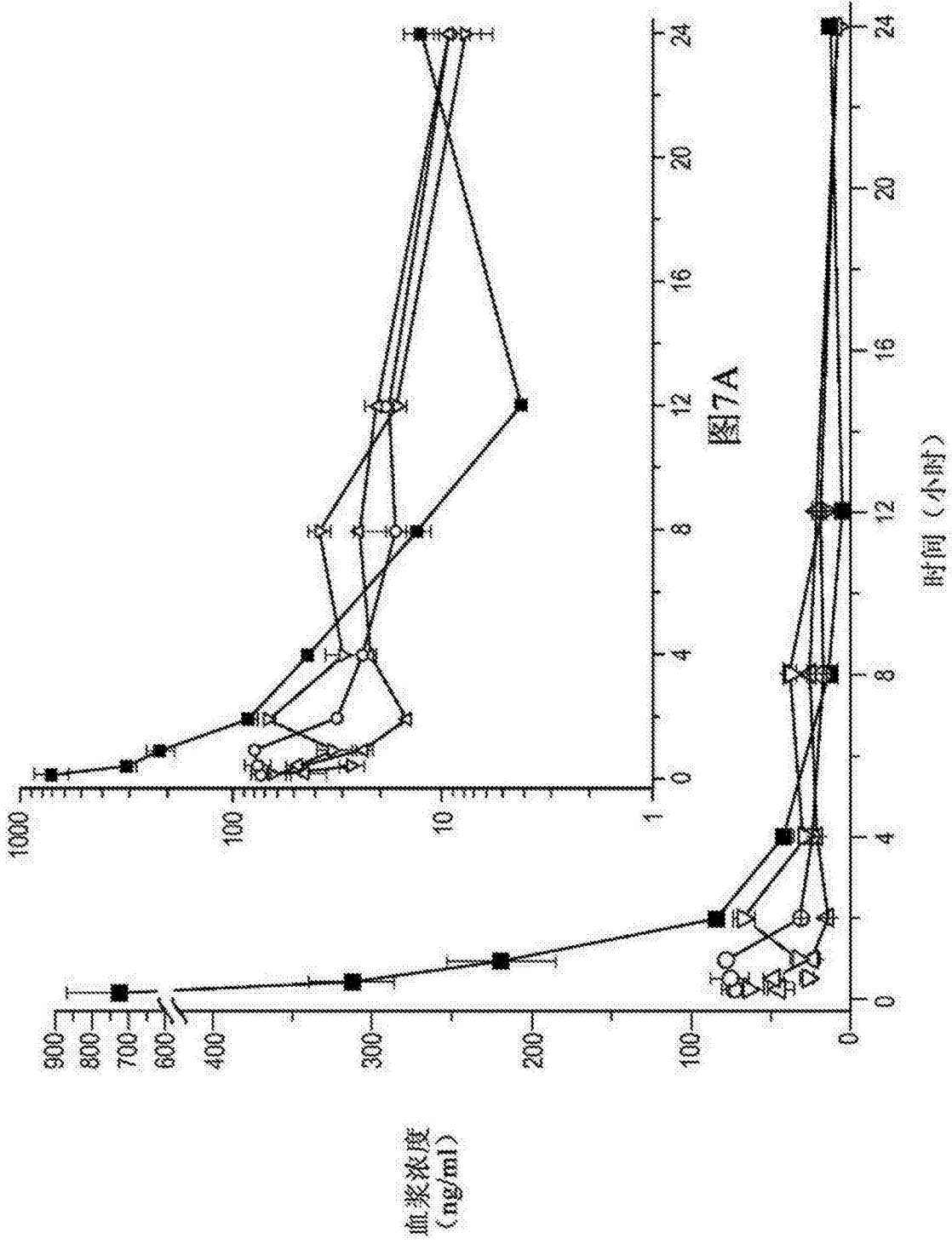


图7A

图7B

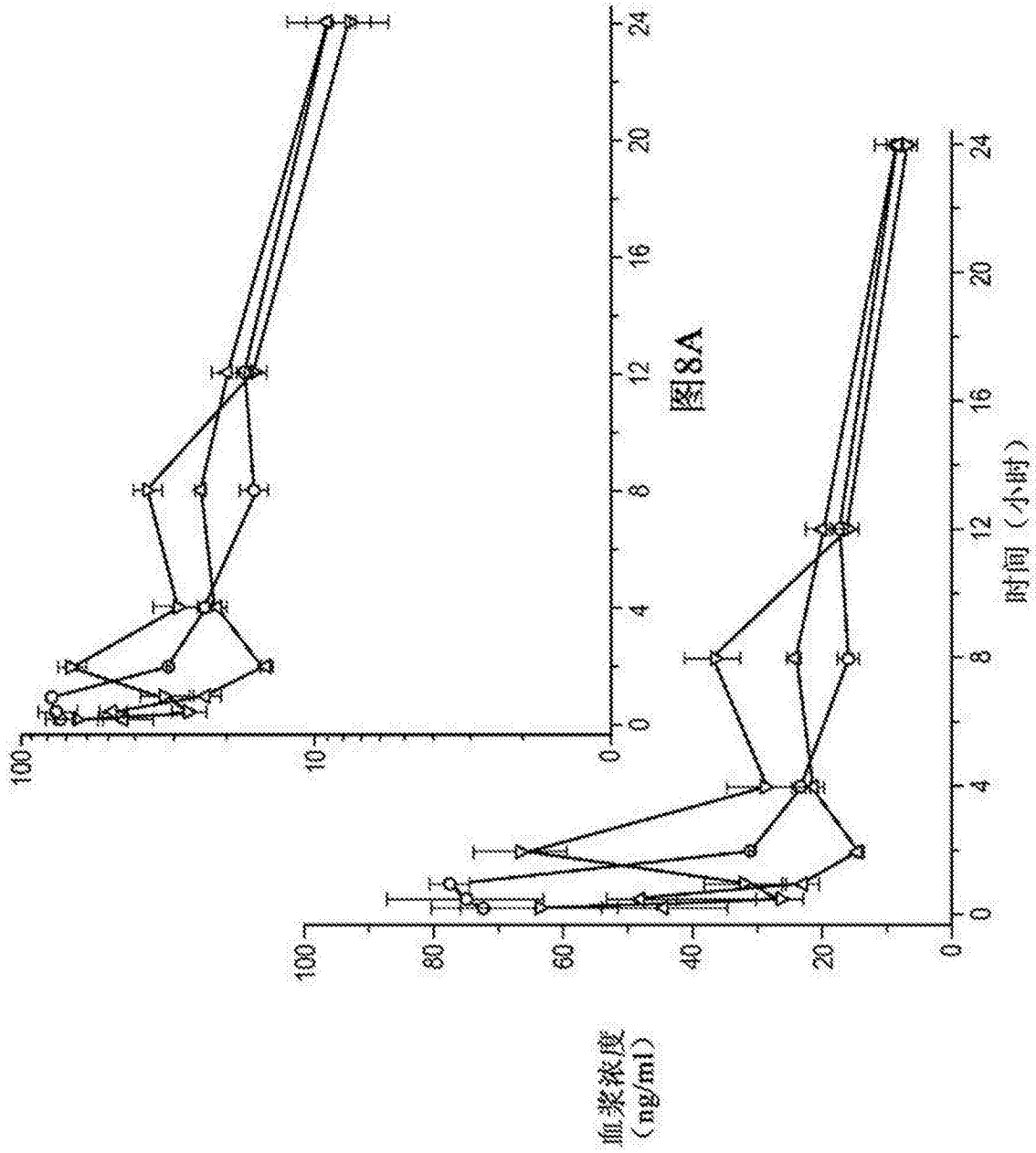


图8A

图8B

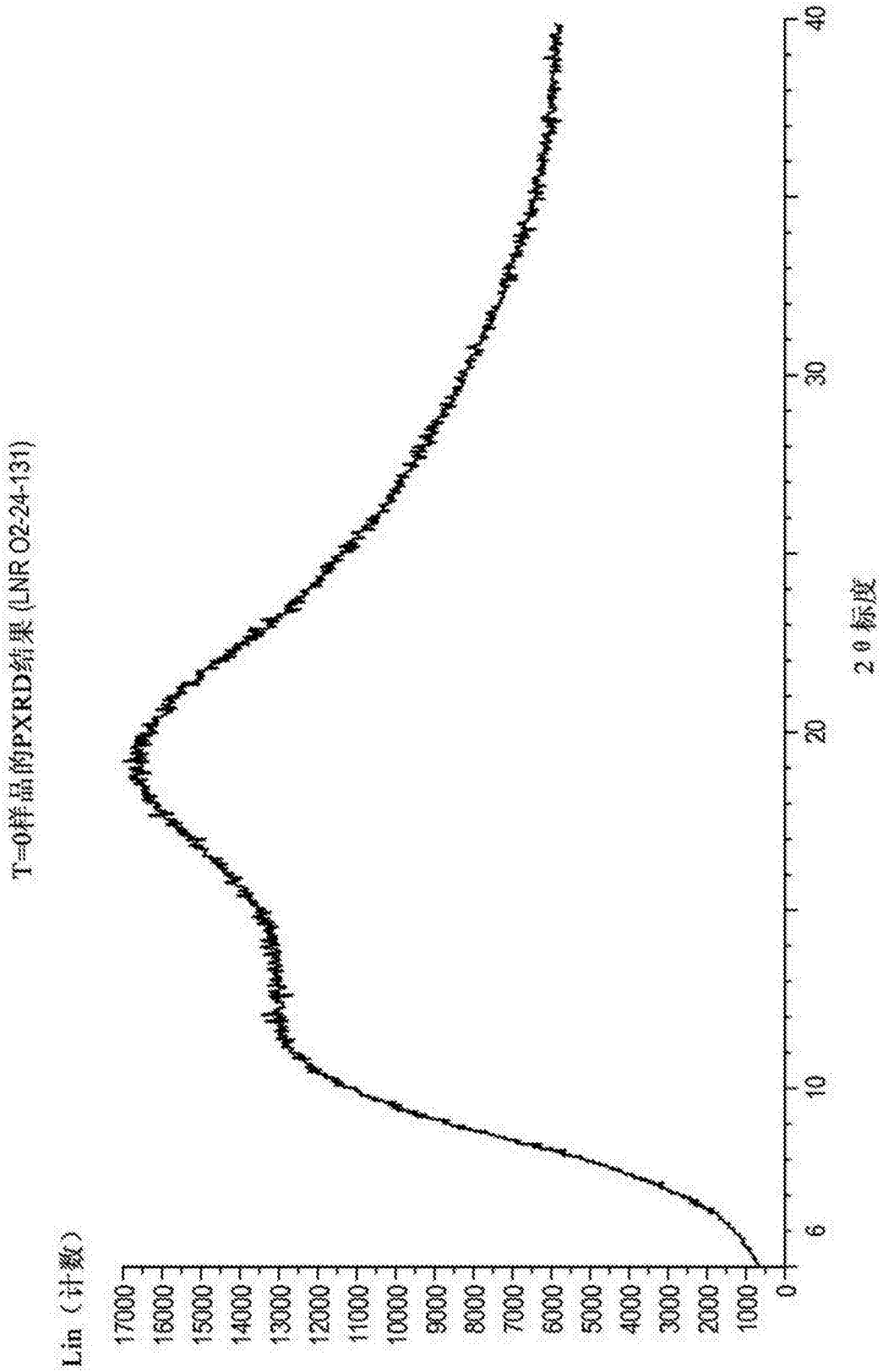


图9

1个月稳定性样品的PXR D结果 (LNR O2-41-73)

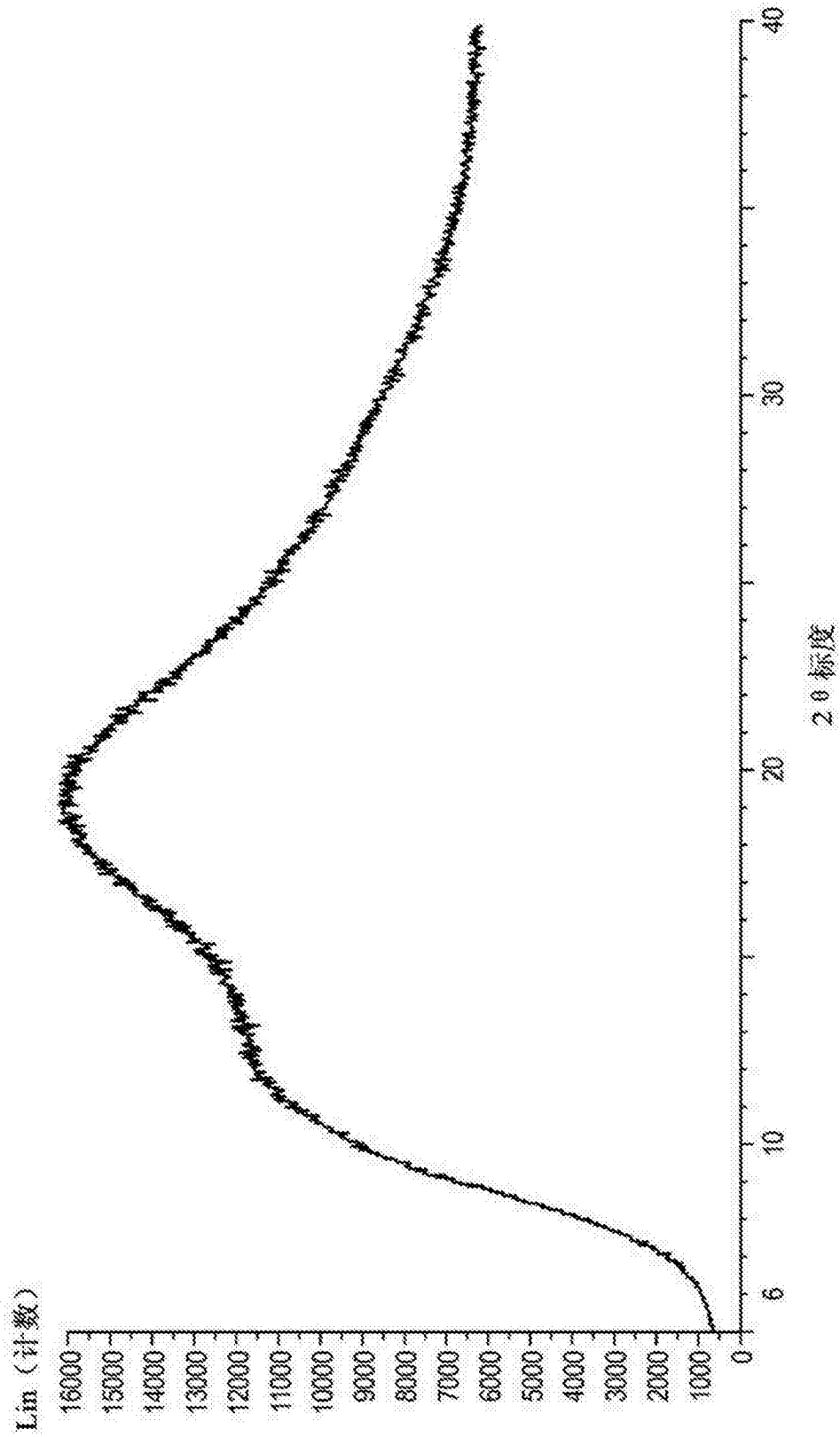


图10

2个月稳定性样品的PXRD结果 (LNR 02-37-107)

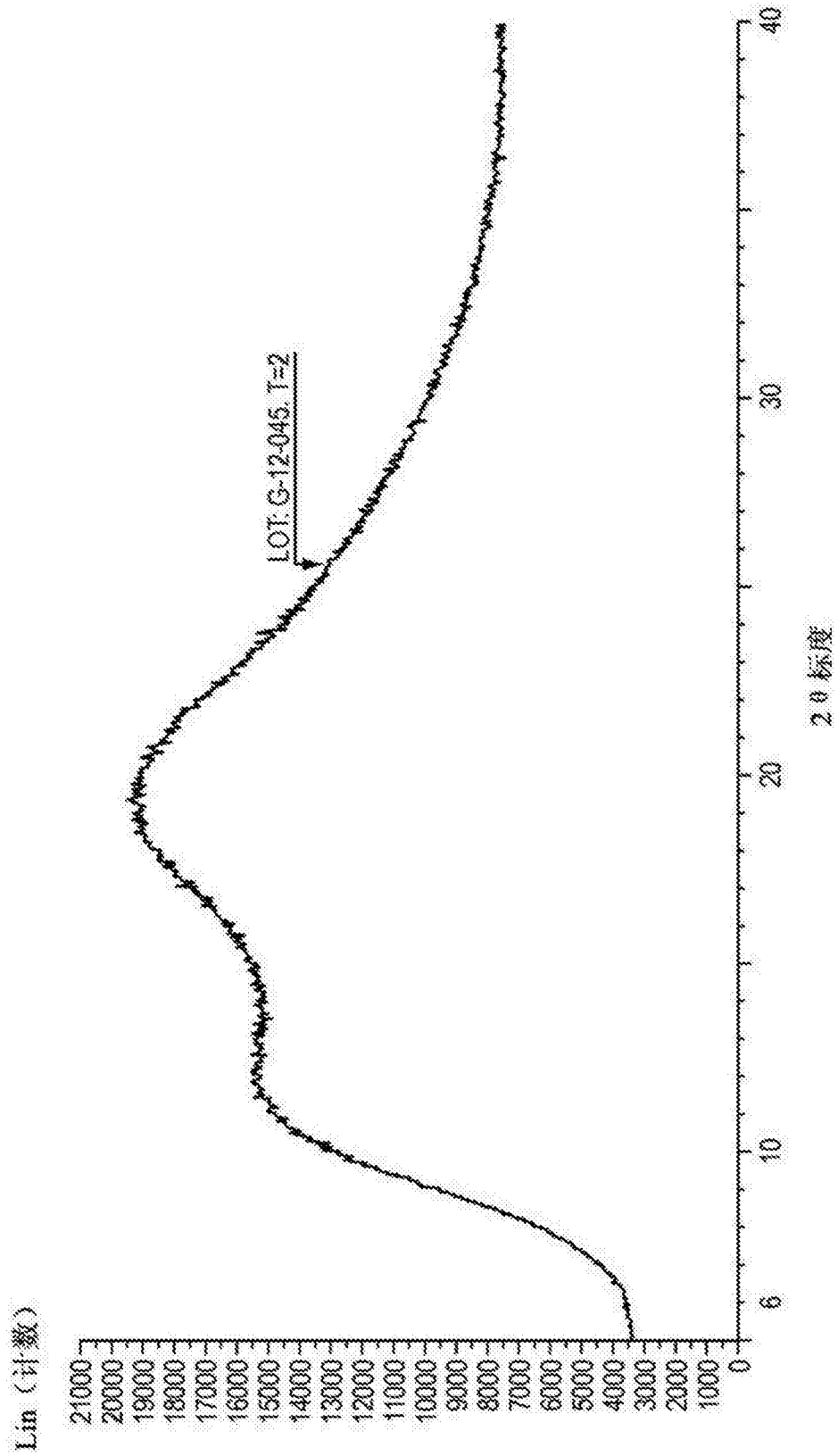


图11

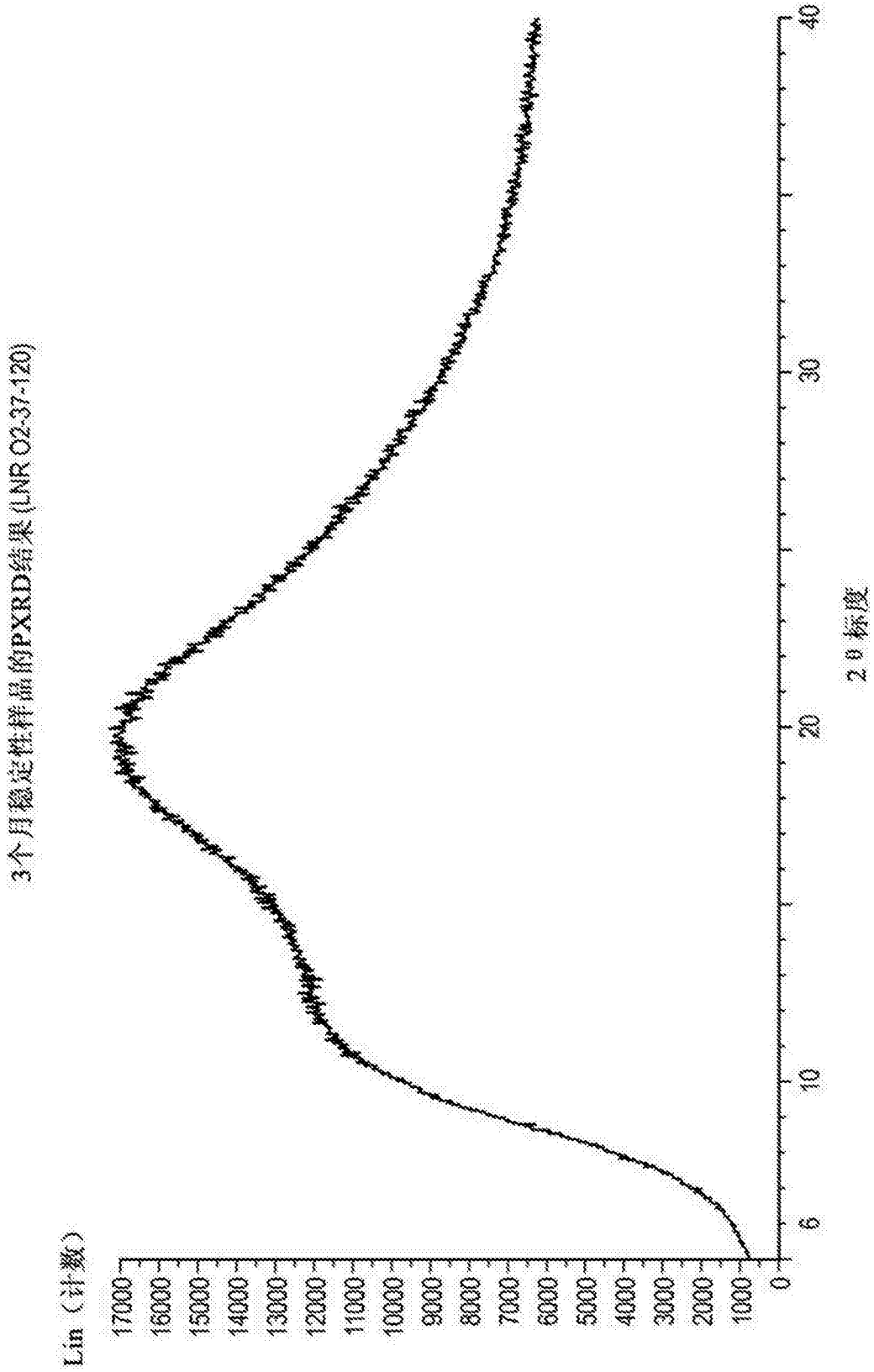


图12